

Б.М. 01  
Т-11

С. ТИМОШЕНКО.

# ОБЪ УСТОЙЧИВОСТИ

ПЛОСКОЙ ФОРМЫ ИЗГИБА

# ДВУТАВРОВОЙ БАЛКИ.

Отдѣльный оттискъ  
изъ «Извѣстій С.-Петербургскаго Политехническаго Института»  
за 1905 и 1906 г.г. Томы IV и V.

770

С.-ПЕТЕРБУРГЪ.

1906.

1801

624.07  
T-41

С. ТИМОШЕНКО.

# ОБЪ УСТОЙЧИВОСТИ

ПЛОСКОЙ ФОРМЫ ИЗГИБА

# ДВУТАВРОВОЙ БАЛКИ.

Отдѣльный оттискъ  
изъ «Извѣстій С.-Петербургскаго Политехническаго Института»  
за 1905 и 1906 г.г. Томы IV и V.

-1801-  
Литературно-художественный институт в Ленинграде

ср

проверено  
1966 г.

И О С.-ПЕТЕРБУРГЪ.  
1906.



# Объ устойчивости плоской формы изгиба двутавровой балки подъ вліаніемъ силъ, дѣйствующихъ въ плоскости ея наибольшей жесткости.

С. Тимошенко.

## Введеніе.

§ 1. При проектированіи инженерныхъ сооружений три условія должны быть выполнены: 1) условіе прочности, 2) условіе жесткости, 3) условіе устойчивости. Назначая размѣры инженерныхъ сооружений такимъ образомъ, чтобы напряженія матеріала нигдѣ не превосходили нѣкоторыхъ опредѣленныхъ значеній, мы всегда можемъ удовлетворить условію первому. Второе условіе требуетъ такихъ соотношеній между размѣрами проектируемыхъ частей, при которыхъ измѣненія формы констукцій подъ дѣйствіемъ внѣшнихъ силъ не превосходили бы нѣкоторыхъ опредѣленныхъ нормъ. Не всегда бываетъ достаточно удовлетворить только этимъ двумъ условіямъ и приходится изслѣдовать также вопросъ объ устойчивости тѣхъ формъ равновѣсія проектируемыхъ частей, которыя положены въ основаніе расчетовъ.

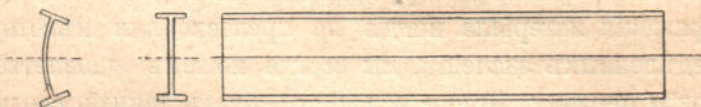
Возьмемъ, напримѣръ, случай сжатія цилиндрическаго стержня силами, дѣйствующими по оси его. Не всегда является достаточнымъ произвести повѣрку на сжатіе. Какъ извѣстно, при значительной длинѣ прямолинейная форма деформированнаго стержня можетъ оказаться неустойчивой, стержень можетъ изогнуться. Въ силу этого размѣры сжимаемыхъ по оси стержней приходится назначать не по величинѣ допускаемыхъ на сжатіе напряженій, а по величинѣ

тѣхъ критическихъ нагрузокъ, при которыхъ прямолинейная форма равновѣсія перестаетъ быть устойчивой.

Тотъ же вопросъ объ устойчивости деформаци, приходится задавать себѣ и въ случаѣ тонкихъ пластинокъ, подверженныхъ дѣйствию системы внѣшнихъ силъ, лежащихъ въ срединной плоскости пластинки. За нѣкоторыми предѣлами плоская форма перестаетъ быть устойчивой, и пластинка можетъ выпучиться.

Настоящая работа посвящена изслѣдованію вопроса объ устойчивости плоской формы изгиба двутавровыхъ балокъ. Что двутавровыя высокія балки съ тонкой вертикальной стѣнкой подъ вліяніемъ силъ, дѣйствующихъ въ плоскости наибольшей жесткости, могутъ оказаться неустойчивыми—это фактъ общеизвѣстный. Мы будемъ различать два рода искривленныхъ формъ равновѣсія.

Въ первомъ случаѣ выпучивается вертикальная стѣнка балки, и первоначально двутавровое сѣченіе получаетъ видъ, представленный на черт. 1.

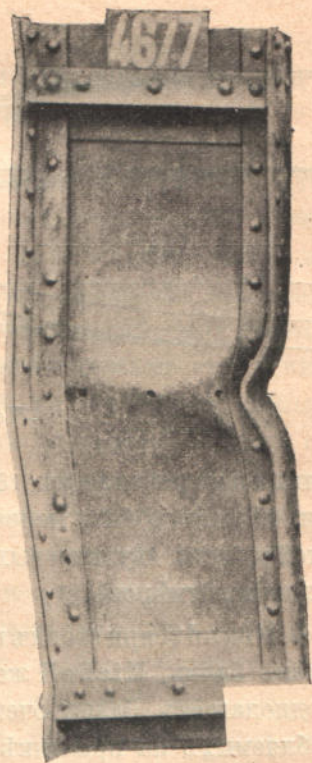


Черт. 1.

Насколько намъ извѣстно, теоретически этотъ случай нигдѣ не разработанъ. Практически, для обезпеченія устойчивости въ этомъ направленіи, задача рѣшается тѣмъ, что къ балкѣ приклепываютъ рядъ такъ называемыхъ уголковъ жесткости. Размѣры этихъ уголковъ и разстоянія между ними опредѣляются на основаніи совершенно произвольныхъ допущеній. Обыкновенно этихъ уголковъ вполне достаточно, чтобы устранить возможность выпучиванія вертикальной стѣнки, но они не обезпечиваютъ устойчивости плоской формы изгиба, такъ какъ вполне возможны искривленныя формы равновѣсія, при которыхъ не происходитъ выпучиванія вертикальной стѣнки, и изгибъ балки сопровождается скручиваньемъ ея, какъ это показано на фиг. 3.

Возможность подобной формы равновѣсія можетъ иногда наступить раньше, нежели формы (фиг. 1), и уголки жесткости нисколько не мѣняютъ сущности этого явленія.

До сихъ поръ нѣтъ экспериментальныхъ изслѣдованій, которыя могли бы дать эмпирическія формулы для опредѣленія величины тѣхъ критическихъ нагрузокъ, при которыхъ подобныя формы равновѣсія становятся возможными. Единственные <sup>1)</sup> извѣстные намъ опыты, произведенные надъ изгибомъ высокихъ двутавровыхъ балокъ, принадлежатъ Тетмайеру. Способъ applicaціи вѣшной силы при производствѣ этихъ опытовъ устранялъ возможность свободнаго вращенія поперечныхъ сѣченій балки относительно ея оси <sup>2)</sup>, влѣдствіе чего получался видъ разрушенія показанный на черт. 2 Если бы крученіе балокъ при этихъ опытахъ не было затруднено, то для нѣкоторыхъ изъ нихъ (самыхъ высокихъ) плоская форма изгиба была бы неустойчива при напряженіяхъ ниже предѣла упругости желѣза.

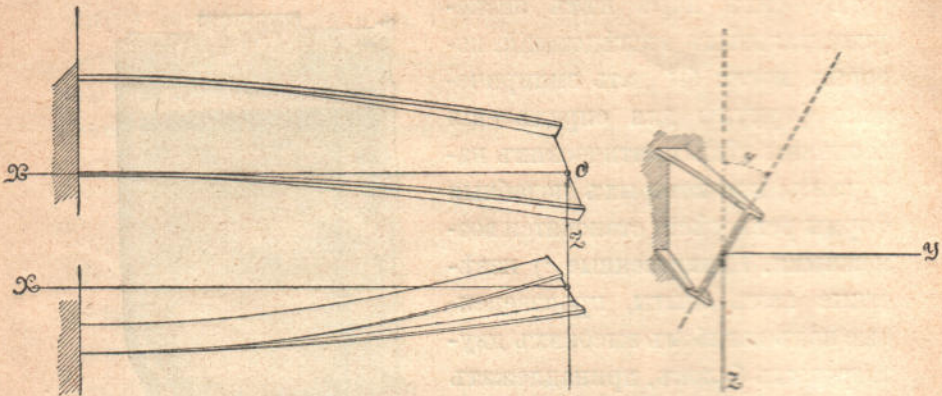


Черт. 2.

<sup>1)</sup> Уже по окончаніи настоящей работы я ознакомился съ изслѣдованіемъ А. Е. Guy: „The flexure of beams“. Къ сожалѣнію авторъ не даетъ вовсе никакого теоретическаго освѣщенія изслѣдуемому явленію. Для опытовъ онъ пользовался деревянными балками и перѣдко загрузалъ ихъ далеко за предѣлы упругости, такъ что полученными имъ результатами никакъ нельзя воспользоваться для провѣрки теоретическихъ выводовъ.

<sup>2)</sup> Опытъ производились на машинѣ Werder'a, подробности можно найти въ Communications d. laborat. d'essais de l'Ecole Polytechnique fédérale.

Что касается теоретическаго изслѣдованія интересующаго насъ вопроса, то здѣсь намъ извѣстны двѣ работы, принадлежащія L. Prandtl'ю <sup>1)</sup> и A. G. Michell'ю <sup>2)</sup> и появившіяся



Черт. 3 (а и б).

почти одновременно въ 1899 году. Результаты, полученные ими, не могутъ быть непосредственно приложены къ повѣркѣ устойчивости двутавровыхъ балокъ употребительныхъ въ технику размѣровъ.

L. Prandtl при своихъ выводахъ пренебрегаетъ жесткостью полокъ балки, Michell же, чтобы устранить вліяніе полокъ, предполагаетъ балки очень длинными. Такъ какъ въ употребляемыхъ на практикѣ балкахъ нельзя считать длину ихъ очень большой по сравненію съ высотой, то пренебрегать вліяніемъ жесткости полокъ никакъ нельзя.

Въ настоящей работѣ мы поставили себѣ задачу ввести при опредѣленіи величины критическихъ нагрузокъ вліяніе жесткости полокъ и такимъ образомъ получить формулы, по которымъ можно было бы производить провѣрку устойчивости балокъ въ конкретныхъ случаяхъ, напримѣръ при расчетѣ продольныхъ и поперечныхъ балокъ мостовъ или длинныхъ двутавровыхъ балокъ мостовыхъ катучихъ крановъ.

<sup>1)</sup> Ludwig Prandtl, „Kipp-Erscheinungen“, November, 1899 г.

<sup>2)</sup> A. G. Michell, „Elastic Stability of long Beams under Transverse Forces“, Philosophical Mag. II 1899.



Такъ какъ въ разсматриваемыхъ формахъ равновѣсія существенную роль играетъ крученіе, то нашу работу придется начать съ задачи о крученіи двутавровыхъ балокъ.

### Скручиваніе двутавровой балки, одинъ конецъ которой задѣланъ неподвижно.

§ 2. Подъ скручиваніемъ стержней подразумѣваютъ такой видъ деформаціи, при которомъ въ поперечныхъ сѣченіяхъ стержня будутъ имѣть мѣсто только сдвигающія напряжения. При этомъ только въ случаѣ кругового и кольцевого поперечнаго сѣченія, сѣченія эти и послѣ скручиванья остаются плоскими; во всѣхъ другихъ случаяхъ отдѣльныя частицы, лежащія въ одномъ и томъ же сѣченіи, перемѣщаются при скручиваніи не только въ плоскости сѣченія, но и по направленію оси стержня, при чемъ это послѣднее перемѣщеніе различно для различныхъ точекъ поперечнаго сѣченія.

Если мы скручиваемый стержень подчинимъ тому условію, чтобы одно или нѣсколько поперечныхъ сѣченій оставались плоскими и послѣ деформаціи, то ясно, что это повлечетъ за собой перераспредѣленіе напряженій по поперечнымъ сѣченіямъ. Кромѣ напряженій сдвигающихъ должны будутъ появиться также и нормальныя. Въ такихъ случаяхъ уже нельзя будетъ, вообще говоря, пользоваться для опредѣленія угла закручиванья обыкновенными формулами сопротивленія матеріаловъ, не оцѣнивъ предварительно, насколько сильно вліяніе закрѣпленій отдѣльныхъ поперечныхъ сѣченій.

Если мы назовемъ черезъ  $M$  — скручивающій моментъ,

$\varphi$  — уголъ закручиванія,

$C$  — жесткость при крученіи (Torsional rigidity) <sup>1)</sup>,

то для опредѣленія угла закручиванія стержней со свободными концами или стержней, поперечные размѣры которыхъ малы по

<sup>1)</sup> Love, т. II, стр. 66.

сравненію съ длиною, мы можемъ пользоваться извѣстной формулой строительной механики

$$M = C \cdot \varphi' \quad (1)$$

Въ случаѣ балки двутавроваго поперечнаго сѣченія вліяніе закрѣпленія значительно; оно сильно возрастаетъ съ увеличеніемъ ширины полокъ. Непосредственно пользоваться формулой (1) въ этомъ случаѣ нельзя, и мы постараемся ввести еще добавочный членъ съ такимъ расчетомъ, чтобы хотя приблизительно было учтено вліяніе жесткости полокъ.

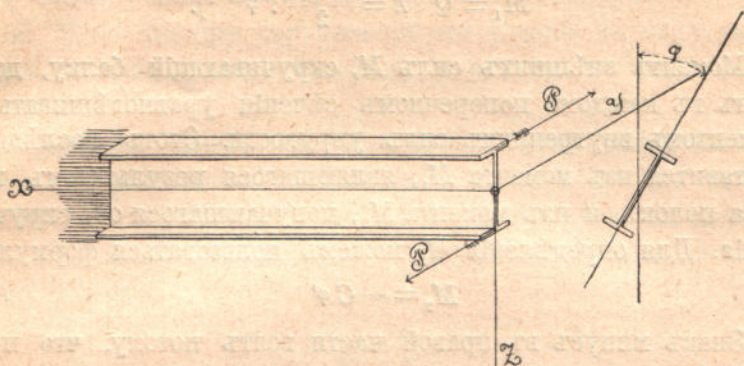
Для опредѣленія этого добавочнаго члена мы займемся наиболѣе простымъ случаемъ: балка однимъ концомъ закрѣплена неподвижно, а къ другому концу приложенъ скручивающій моментъ.

Введемъ обозначенія, которыми мы будемъ пользоваться въ дальнѣйшемъ нашемъ изложеніи. Обозначимъ черезъ  $B_1$  и  $B_2$  величины  $EJ_1$  и  $EJ_2$  (principal flexural rigidities), гдѣ  $E$  модуль упругости матеріала, а  $J_1$  и  $J_2$  наибольшій и наименьшій моменты инерціи поперечнаго сѣченія балки, черезъ  $D$  величину  $EJ_3$ , гдѣ  $J_3$  наибольшій моментъ инерціи поперечнаго сѣченія одной полки.

Начало координатъ помѣстимъ въ центрѣ тяжести поперечнаго сѣченія, соответствующаго свободному концу балки, ось  $X$ -овъ направимъ по оси балки, расположенной горизонтально, ось  $Z$ -овъ вертикально внизъ, а ось  $Y$ -овъ перпендикулярно къ плоскости  $XZ$  въ направленіи указанномъ на чертежѣ 4. Въ такомъ случаѣ система координатныхъ осей  $XYZ$  будетъ составлять правовинтовую систему.

Пусть скручиванье осуществляется парой силъ, направленіе которой уазано на чертежѣ. Подъ дѣйствіемъ этой пары отдѣльныя поперечныя сѣченія балки повернутся на нѣкоторый переменный уголъ  $\varphi$ . Такъ какъ другой конецъ балки предполагается задѣланнымъ, то скручиванье сопровождается изгибомъ полокъ. При малыхъ углахъ закручиванія  $\varphi$  (на практикѣ это всегда имѣетъ мѣсто) изгибъ полокъ въ плоскости  $XZ$  малъ по сравненію съ изгибомъ ихъ

въ плоскости  $XU$  и потому въ дальнѣйшемъ будемъ принимать въ расчетъ только этотъ послѣдній.



Черт. 4.

Прогибы срединной линіи каждой полки очень просто выражаются черезъ уголъ закручиванія и высоту балки. Изъ чертежа 4 видно, что

$$y = \frac{h}{2} \cdot \sin \varphi$$

или при малыхъ углахъ  $\varphi$  можемъ  $\sin$  замѣнить дугой, тогда будемъ имѣть

$$y = \frac{h}{2} \cdot \varphi.$$

Изгибу полокъ соотвѣтствуетъ появленіе сдвигающихъ напряженій въ плоскостяхъ поперечныхъ сѣченій полокъ. Для опредѣленія равнодѣйствующей  $Q$  всѣхъ сдвигающихъ напряженій въ какомъ либо поперечномъ сѣченіи полки будемъ имѣть на основаніи теоремы Шведлера

$$Q = \frac{dM}{dx} = D \frac{d^2y}{dx^2}$$

или, подставляя вмѣсто  $y$  его выраженіе черезъ  $\varphi$ , получимъ

$$Q = \frac{hD}{2} \cdot \varphi'''$$

Перерѣзывающія силы  $Q$  дадутъ пару, моментъ которой очевидно будетъ

$$M_1 = Q \cdot h = \frac{h^2 \cdot D}{2} \cdot \varphi''' \quad (2)$$

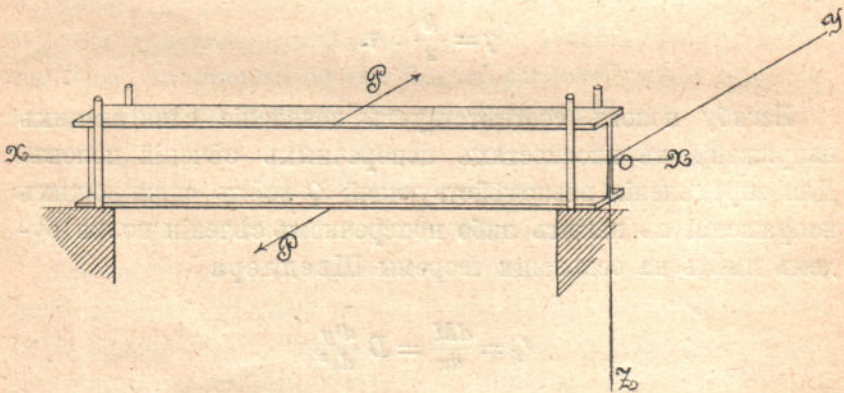
Моментъ внѣшнихъ силъ  $M$ , скручивающій балку, долженъ въ каждомъ поперечномъ сѣченіи уравновѣшиваться моментомъ внутреннихъ силъ упругости. Этотъ послѣдній составитъ изъ момента  $M_1$ , являющагося результатомъ изгиба полокъ, и изъ момента  $M_2$ , получающагося отъ скручивания. Для опредѣленія  $M_2$  можемъ пользоваться формулой

$$M_2 = -C \varphi' \quad (1')$$

Знакъ минусъ въ правой части взять потому, что при нашемъ расположеніи координатныхъ осей съ возрастаніемъ  $x$  убываетъ уголъ  $\varphi$ . На основаніи формулъ (1)' и (2) для момента внѣшнихъ силъ  $M$  будемъ имѣть

$$M = -[C \cdot \varphi' + \frac{D \cdot h^2}{2} \cdot \varphi'''] \quad (3)$$

Полученная формула (3) будетъ положена въ основаніе дальнѣйшихъ выводовъ. Насколько точно она учитываетъ вліяніе жесткости полокъ можно будетъ сказать только на основаніи опытовъ. Для осуществленія задѣлки поперечнаго сѣченія балки я при производствѣ опытовъ пользуюсь располо-



Черт. 5.

<sup>1)</sup> Точнѣе нужно было бы написать  $M_1 = Q(h - \delta)$ , гдѣ  $\delta$  толщина полки, но такъ какъ практически  $\delta$  мало по сравненію съ  $h$ , то мы можемъ имъ пренебречь.

женіемъ указаннымъ на чертежѣ 5. Концы балки  $A$  и  $B$  не имѣютъ возможности вращаться вокругъ горизонт. оси, на ра силу прикладывается къ срединному поперечному сѣченію. Ясно что при скручиваніи это сѣченіе въ силу симметріи должно остаться плоскимъ и его можно считать задѣланнымъ.

Перейдемъ теперь къ опредѣленію угла закручиванія балки при расположеніи указанномъ на черт. 4. Для этого придется интегрировать ур-іе (3). Мы для упрощенія выкладокъ введемъ одно обозначеніе, которымъ будемъ и дальше пользоваться, именно положимъ

$$\frac{2C}{D \cdot h^2} = \frac{1}{a^2}.$$

Не трудно видѣть, что  $a$  имѣетъ измѣреніе длины.

Уравненіе (3) переписется такъ

$$\varphi''' - \frac{1}{a^2} \cdot \varphi' - \frac{2M}{D \cdot h^2} = 0. \quad (3)'$$

Рѣшеніе соответствующаго уравненія безъ послѣдняго члена очевидно будетъ

$$\varphi = Q \cdot \sin h \cdot \frac{x}{a} + N \cos h \cdot \frac{x}{a} + P,$$

гдѣ  $Q, N, P$  — произвольныя постоянныя.

Частное рѣшеніе уравненія (3)' будетъ

$$\varphi = -\frac{M}{C} \cdot x.$$

На основаніи этого получимъ полный интеграль ур-ія (3)'

$$\varphi = Q \cdot \sin h \cdot \frac{x}{a} + N \cos h \cdot \frac{x}{a} - \frac{M}{C} \cdot x + P \quad (4)$$

Произвольныя постоянныя могутъ быть опредѣлены на основаніи слѣдующихъ условій закрѣпленія концовъ:

1) При  $x = l$ ;  $\varphi = 0$ , такъ какъ сѣченіе, соответствующее плоскости задѣлки, не можетъ повернуться.

2) При  $x = l$ ;  $\varphi' = 0$ . Такъ какъ полки изгибаются такъ, что касательныя къ ихъ срединнымъ линіямъ въ плоскости задѣлки параллельны оси  $X$ -овъ, то слѣдовательно

$$y' = \frac{h}{2} \cdot \varphi' = 0.$$

3) При  $x=0$ ;  $\varphi''=0$ . Это можно написать на основаніи того, что на свободномъ концѣ балки приложены силы, лежащія въ плоскости поперечнаго сѣченія и нѣтъ силъ нормальныхъ къ этому сѣченію, слѣдовательно

$$\frac{d^2y}{dx^2} = \frac{h}{2} \cdot \varphi'' = 0.$$

Изъ общаго интеграла (4) дифференцированіемъ находимъ

$$\varphi' = \frac{Q}{a} \cdot \cos h \cdot \frac{x}{a} + \frac{N}{a} \cdot \sin h \cdot \frac{x}{a} - \frac{M}{C} \quad (5)$$

$$\varphi'' = \frac{Q}{a^2} \cdot \sin h \cdot \frac{x}{a} + \frac{N}{a^2} \cdot \cos h \cdot \frac{x}{a} \quad (6)$$

$$\varphi''' = \frac{Q}{a^3} \cdot \cos h \cdot \frac{x}{a} + \frac{N}{a^3} \cdot \sin h \cdot \frac{x}{a} \quad (7)$$

Изъ выраженія (6) на основаніи третьяго условія заключаемъ, что

$$N = 0.$$

Постоянную  $Q$  опредѣлимъ изъ выраженія (5) на основаніи условія (2)

$$Q = \frac{a \cdot M}{C} \frac{1}{\cos h \frac{l}{a}}.$$

Подставляя найденныя для  $Q$  и  $N$  значенія въ выраженіе (4), мы, на основаніи перваго условія, будемъ имѣть для величины  $P$  значеніе

$$P = \frac{M}{C} \cdot l - \frac{aM}{C} \cdot \operatorname{tgh} h \left( \frac{l}{a} \right)$$

Опредѣливъ такимъ образомъ значенія всѣхъ произвольныхъ постоянныхъ, мы для вычисленія угла закручиванія въ любомъ сѣченіи будемъ имѣть формулу

$$\varphi = \frac{M}{C} \left[ l - x + \frac{a}{\cos h \left( \frac{l}{a} \right)} \cdot \sin h \left( \frac{x}{a} \right) - a \operatorname{tgh} h \cdot \left( \frac{l}{a} \right) \right] \quad (8)$$

Выписываемъ здѣсь же значенія производныхъ отъ  $\varphi$

$$\varphi' = \frac{M}{C} \left( \frac{\cosh \left( \frac{x}{a} \right)}{\cosh \left( \frac{l}{a} \right)} - 1 \right) \quad (9)$$

$$\varphi'' = \frac{M}{C \cdot a^2} \cdot \frac{\cosh \left( \frac{x}{a} \right)}{\cosh \left( \frac{l}{a} \right)}.$$

При  $x = 0$ , т. е. для сѣченія, соотвѣтствующаго свободному концу балки, уголъ закручиванья  $\varphi$  будетъ имѣть значеніе

$$\varphi_0 = \frac{M}{C} \left[ l - a \operatorname{tg} h \left( \frac{l}{a} \right) \right] \quad (10)$$

Если бы мы не приняли во вниманіе жесткости полокъ, то на основаніи формулы (1) имѣли бы для угла закручиванія значеніе

$$\varphi_0 = \frac{M \cdot l}{C}.$$

Добавочный членъ въ правой части формулы (10) даетъ намъ величину уменьшенія угла закручиванія и эта величина тѣмъ больше, чѣмъ больше  $D$ —жесткость при изгибѣ каждой полки.

Всякое увеличеніе ширины полокъ увеличиваетъ  $D$  и слѣдовательно уменьшаетъ уголъ закручиванія, что и нужно было ожидать заранее. Въ тѣхъ случаяхъ, когда отношеніе  $\frac{l}{a}$  въ нѣсколько разъ больше единицы,  $\operatorname{tg} h \left( \frac{l}{a} \right)$  можно съ достаточной точностью положить равнымъ единицѣ и тогда формула (10) переписется такъ

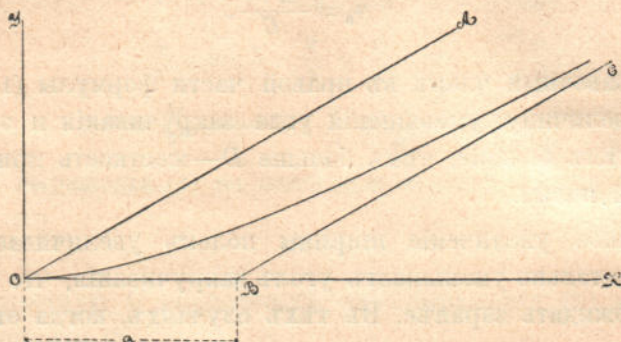
$$\varphi_0 = \frac{M}{C} (l - a) \quad (10')$$

т. е. уголъ закручиванія балки съ однимъ задѣланнымъ концомъ равняется углу закручиванія балки со свободными концами, но меньшей длины. Это уменьшеніе длины  $a$  мѣняется съ измѣненіемъ жесткости полокъ.

Въ тѣхъ случаяхъ, когда  $l$  мало по сравненію съ  $a$ , т. е. когда разсматриваются сѣченія близкія къ задѣланному концу, мы можемъ  $\operatorname{tg} h$  разложить въ рядъ по возрастающимъ степенямъ  $\frac{l}{a}$  и для вычисленія угла  $\varphi$  будемъ имѣть

$$\begin{aligned} \varphi &= \frac{M \cdot l}{C} \left[ 1 - \frac{\frac{l}{a} - \frac{1}{3} \left( \frac{l}{a} \right)^3 + \frac{2}{15} \left( \frac{l}{a} \right)^5 - \dots}{\frac{l}{a}} \right] = \\ &= \frac{M \cdot l}{C} \left[ \frac{1}{3} \left( \frac{l}{a} \right)^2 - \frac{2}{15} \left( \frac{l}{a} \right)^4 + \dots \right]. \end{aligned}$$

Чтобы наглядно представить, какъ при заданномъ поперечномъ сѣченіи балки и заданномъ скручивающемъ моментѣ, мѣняется уголъ закручиванія въ зависимости отъ длины, можно воспользоваться графическимъ построениемъ. Для этого по оси  $X$ -овъ будемъ откладывать длины  $l$ , а по оси ординатъ соответствующіе углы закручиванія  $\varphi$ . Пока оба конца балки свободны, діаграмма представится въ видѣ наклонной прямой  $OA$ , проходящей черезъ начало координатъ; см. черт. 6.



Черт. 6.

Въ случаѣ одного задѣланнаго конца мы вмѣсто прямой получимъ нѣкоторую кривую линію, касательную къ оси  $X$ -овъ въ началѣ координатъ и асимптотически приближающуюся къ прямой  $BC$ . Относительно построения этой прямой замѣтимъ, что она параллельна  $OA$  и пересѣкаетъ ось  $X$ -овъ въ точкѣ  $B$  такъ, что

$$OB = a.$$

Уравненіе прямой слѣдовательно будетъ:

$$y = \frac{M}{C} (x - a),$$

что соответствуетъ полученной нами выше формулѣ (10).

При производствѣ опытовъ, а также и въ дальнѣйшемъ нашемъ изложеніи понадобятся нѣкоторыя численныя значенія множителя  $\left(1 - \frac{a}{l} \operatorname{tg} h \frac{l}{a}\right)$  при различныхъ значеніяхъ  $\frac{l}{a}$  и потому мы приводимъ ихъ здѣсь въ отдѣльной таблицѣ



$\frac{l^2}{a^2}$	$1 - \frac{a}{l} \operatorname{tg} h \frac{l}{a}$	$\frac{l^2}{a^2}$	$1 - \frac{a}{l} \operatorname{tg} h \frac{l}{a}$
1	0,288	12	0,711
2	0,372	16	0,750
4	0,518	24	0,796
8	0,648	32	0,823
		40	0,842

Разсмотримъ теперь, какъ мѣняется крученіе  $\varphi'$  по длинѣ балки. Пока оба конца свободны,  $\varphi'$  — величина постоянная, равная  $-\frac{M}{C}$ . Въ случаѣ закрѣпленнаго конца  $\varphi'$  переменное, какъ это видно изъ выше полученной нами формулы (9). Наибольшее значеніе  $\varphi'$  получаетъ у свободного конца, гдѣ на основаніи (9)

$$\varphi' = \frac{M}{C} \left( \frac{1}{\cosh\left(\frac{l}{a}\right)} - 1 \right)$$

Гиперболическій косинусъ очень быстро растетъ съ величиной  $\frac{l}{a}$ , и потому при значительныхъ длинахъ и при маломъ  $a$ ,  $\varphi'$  очень близко къ величинѣ  $-\frac{M}{C}$ ; т. е. задѣлка мало вліяетъ на величину крученія и свободного конца. Если мы будемъ брать сѣченія близкія къ задѣланному концу, то  $\varphi'$  на основаніи той же формулы (9) приближается къ нулю и слѣдовательно силы упругости, дѣйствующія въ этихъ сѣченіяхъ и уравновѣшивающія моментъ внѣшнихъ силъ, являются слѣдствіемъ изгиба полокъ, а не крученія.

Этимъ мы закончимъ общее разсмотрѣніе вопроса о крученіи двутавровыхъ балокъ и перейдемъ къ численному опредѣленію величинъ  $C$  и  $a$  по заданнымъ поперечнымъ размѣрамъ балки.

## Вычисленіе величины $C$ .

§ 3. Въ предыдущія формулы, а также и въ выраженія для критическихъ нагрузокъ, которыя нами будутъ ниже получены, входитъ величина  $C$  (Torsional rigidity) жесткость балки при крученіи. Опытнымъ путемъ опредѣлить эту величину съ достаточной точностью не трудно; но при проэктированіи, когда имѣются только геометрическіе размѣры конструкцій, необходимо имѣть способы опредѣлять величину  $C$  аналитически. Теорія упругости въ настоящее время даетъ возможность рѣшить точно эту задачу только для нѣсколькихъ наиболѣе простыхъ видовъ поперечнаго сѣченія, какъ напримѣръ прямоугольникъ, эллипсъ и др. Для двутавроваго сѣченія точнаго рѣшенія пока нѣтъ и придется для вычисленія интересующей насъ величины употребить какой-либо приближенный приѣмъ.

Мы для этого воспользуемся извѣстной гидродинамической аналогіей и дальнѣйшимъ ея развитіемъ, недавно опубликованнымъ профессоромъ Гёттингенскаго университета L. Prandtl'емъ<sup>1)</sup>.

Если черезъ  $t_{xy}$  и  $t_{xz}$  назовемъ составляющія сдвигающихъ напряженій при крученіи и положимъ

$$t_{xy} = -\frac{d\psi}{dz}, \quad t_{xz} = \frac{d\psi}{dy},$$

то задача о крученіи приведетъ къ рѣшенію уравненія.

$$\frac{d^2\psi}{dy^2} + \frac{d^2\psi}{dz^2} = 2 \cdot G \cdot \varphi' \quad (1)$$

гдѣ  $G$  модуль упругости при сдвигѣ, а  $\varphi'$  имѣетъ прежнее значеніе. Prandtl замѣтилъ полную аналогію между этимъ уравненіемъ и уравненіемъ поверхности, по которой прогибается мембрана, натянутая съ нѣкоторымъ постояннымъ напряженіемъ  $S$  и нагруженная постоянной нагрузкой  $p$  на единицу площади.

<sup>1)</sup> „Eine neue Darstellung der Torsionsspannungen, bei prismatischen Stäben von beliebigem Querschnitt“. Jahresbericht d. deut. math. Vereinigung. 13 Bd. 1 Heft.

Если через  $u$  назовем ординаты этой поверхности, то уравнение ея напишется такъ

$$\frac{d^2u}{dy^2} + \frac{d^2u}{dz^2} = \frac{p}{S} \quad (2)$$

Для полнаго совпаденія необходимо положить

$$\psi = k u,$$

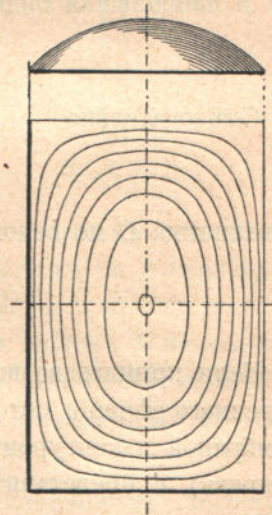
гдѣ

$$k = \frac{2 \cdot G \cdot \psi' \cdot S}{p}.$$

На основаніи этой аналогіи Prandtl вывелъ слѣдующаго рода зависимость между распредѣленіемъ напряженій по поперечному сѣченію и поверхностью образуемой мембраной.

I. Если мембрана, натянутая на контуръ, соотвѣтствующій поперечному сѣченію скручиваемаго стержня, выпучится, благодаря равномерно распредѣленному по ней давленію, то линіи сѣченія полученной такимъ образомъ кривой поверхности плоскостями, параллельными плоскости контура, будутъ представлять собой линіи напряженій, т. е. такія линіи, касательныя къ которымъ въ любой точкѣ дадутъ направленіе напряженія въ соотвѣтствующей точкѣ поперечнаго сѣченія.

Вычертивъ систему такихъ линій можно получить наглядную картину распредѣленія напряженій по сѣченію. На чертежѣ 7 представленъ видъ этихъ линій въ случаѣ прямоугольнаго поперечнаго сѣченія.



Черт. 7.

II. Величина напряженія въ любой точкѣ пропорціональна углу, составляемому линіей наибольшаго ската съ плоскостью контура въ соотвѣтствующей точкѣ кривой поверхности, или, что тоже, пропорціональна густотѣ линій напряженій.

III. Объемъ  $V$ , заключающійся между плоскостью контура и поверхностью мембраны, пропорціоналенъ жесткости стержня  $C$ .

Именно

$$C = \frac{4 \cdot G \cdot S}{p} \cdot V \quad (3)$$

Эти три положенія даютъ возможность экспериментальнымъ путемъ установить законъ распредѣленія напряженій при самыхъ разнообразныхъ контурахъ поперечнаго сѣченія. Въ случаѣ тонкостѣнныхъ балокъ этими положеніями можно воспользоваться для приближеннаго вычисленія жесткости  $C$ . Начнемъ съ простѣйшаго случая, когда поперечное сѣченіе представляетъ собой прямоугольникъ, ширина котораго  $b$  мала по сравненію съ длиною  $h$ . Объемъ  $V$  въ данномъ случаѣ съ достаточной точностью можно замѣнить объемомъ параболическаго цилиндра, площадь основанія котораго будетъ  $b \cdot h$  и наибольшая ордината

$$u = \frac{pb^2}{8S}$$

Слѣдовательно

$$V = \frac{2}{3} \cdot \frac{pb^2}{8S} \cdot h \cdot b,$$

и величина  $C$  на основаніи положенія III будетъ

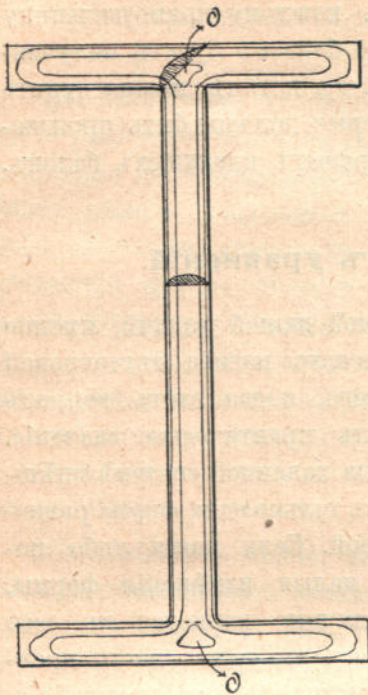
$$C = \frac{1}{3} \cdot h \cdot b^3 \cdot G \quad (4)$$

Если принять во вниманіе вліяніе короткихъ сторонъ поперечнаго сѣченія, которыя слегка уменьшаютъ объемъ между мембраной и контуромъ, то придется въ формулу (4) внести поправку и представить ее въ такомъ видѣ

$$C = \frac{1}{3} \cdot b^3 (h - \alpha b) G \quad (5)$$

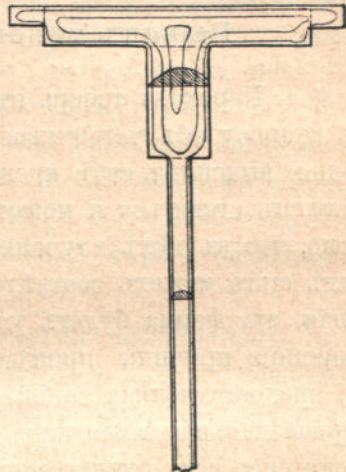
коэффициентъ  $\alpha$  по сравненію съ точной формулой оказывается равнымъ 0,63. Формула (5) показываетъ, что въ тѣхъ случаяхъ, когда  $b$  мало по сравненію съ  $h$ , поправкой можно пренебречь и пользоваться формулой (4).

Переходя къ двутавровому поперечному сѣченію, представленному на черт. 8, замѣтимъ, что и въ этомъ случаѣ



Черт. 8.

кривую поверхность мембраны въ мѣстахъ, удаленныхъ отъ краевъ полки и отъ точекъ  $O, O$ , можно считать за поверхность параболическаго цилиндра.



Черт. 9.

Въ точкахъ  $O, O$ , соответствующихъ мѣстамъ соединенія полкъ со стѣнкой двутавровой балки, ординаты поверхности мембраны имѣютъ наибольшее значеніе, а у краевъ полкъ наименьшее. Пока толщина стѣнки и полкъ  $b$  не велика, мы съ достаточной точностью можемъ вычислить величину  $C$ , примѣняя формулу (4) отдѣльно къ поперечному сѣченію стѣнки и полкъ.

Когда приходится имѣть дѣло съ клепанными двутавровыми балками, то тогда вычисленіе  $C$  возможно съ значительно меньшей точностью. Мы будемъ считать, что треніе между составными частями балки, обусловленное заклепочными соединеніями настолько значительно, что составное сѣченіе можно считать сплошнымъ, какъ то показано на чертѣ 9.

Тогда для приблизительной оцѣнки величины  $C$  можно сѣченіе разбить на рядъ прямоугольниковъ, какъ то пунктиромъ показано на черт. 9, и къ каждому прямоугольнику примѣнить формулу (4). Насколько близокъ будетъ полученный такимъ образомъ результатъ къ истинѣ, можно судить только на основаніи опытовъ, которые должны быть произведены надъ скручиваньемъ двутавровыхъ клепаныхъ балокъ.

### Выводъ основныхъ уравненій.

§ 4. Переходя теперь къ главной нашей задачѣ, именно къ вопросу объ устойчивости плоскаго изгиба двутавровой балки, выяснимъ себѣ прежде всего, когда этотъ вопросъ долженъ ставиться и можетъ имѣть практическое значеніе. Ясно, что въ тѣхъ случаяхъ, когда заданной системѣ внѣшнихъ силъ можетъ соотвѣтствовать только одна форма равновѣсія, эта форма будетъ устойчивой. Если какія либо постороннія причины произведутъ малыя измѣненія формы, то, предоставленная самой себѣ, система вернется въ свое первоначальное положеніе, такъ какъ это положеніе по предположенію есть единственная возможная форма равновѣсія. Иное дѣло, когда одной и той же системѣ внѣшнихъ силъ могутъ соотвѣтствовать нѣсколько формъ равновѣсія. Въ такомъ случаѣ система даже при незначительномъ отклоненіи отъ положенія равновѣсія можетъ къ нему не вернуться, а принять другую возможную форму равновѣсія. Для опредѣленія, какая изъ возможныхъ формъ равновѣсія будетъ устойчивой, нужно только выяснить, которой изъ нихъ соотвѣтствуетъ минимумъ потенциальной энергіи. Этимъ совершенно общимъ принципомъ бываетъ иногда трудно воспользоваться; въ такихъ случаяхъ, при рѣшеніи вопроса объ устойчивости, можно руководствоваться слѣдующимъ признакомъ—если имѣются двѣ возможные формы равновѣсія тѣла, то та изъ нихъ, которая мало отличается отъ формы, соотвѣтствующей ненапряженному состоянію, будетъ неустойчивой<sup>1)</sup>.

<sup>1)</sup> Love, т. II, стр. 291.

Такимъ образомъ неустойчивыми будутъ прямолинейная форма сжимаемаго цилиндрическаго стержня, плоская форма пластинки, сжимаемой силами, дѣйствующими въ ея плоскости и др.

При какихъ же условіяхъ можетъ возникнуть возможность появленія нѣсколькихъ формъ равновѣсія? Пока всѣ измѣренія деформируемаго тѣла суть величины одного порядка, малымъ деформациямъ, которыя только и разсматриваются въ теоріи упругости, будутъ соответствовать малыя измѣненія формы тѣла, а слѣдовательно и малыя перемѣщенія точекъ приложенія внѣшнихъ силъ. Вслѣдствіе этого можно пренебречь разностью между системой силъ до и послѣ деформации и доказать, какъ то сдѣлалъ Кирхгофъ, однозначность рѣшенія уравненій упругости, а слѣдовательно и невозможность появленія нѣсколькихъ формъ равновѣсія въ подобныхъ случаяхъ.

Дѣло обстоитъ иначе, когда малымъ деформациямъ можетъ соответствовать весьма значительное измѣненіе формы, какъ то имѣетъ мѣсто въ случаѣ тонкихъ пластинокъ и стержней. Уравненія равновѣсія напишутся различно въ зависимости отъ того, беремъ ли мы систему внѣшнихъ силъ, соответствующую недеформированному или деформированному состоянію тѣла.

Все то, что сказано относительно тонкихъ пластинокъ, при нѣкоторыхъ условіяхъ можетъ быть отнесено и къ двутавровымъ балкамъ самыхъ употребительныхъ въ технику поперечныхъ сѣченій. Дѣло въ томъ, что стремленіе получить экономію въ вѣсѣ балки заставляеть главную массу матеріала относить возможно дальше отъ оси балки. Получаются балки съ большой высотой вертикальной стѣнки; ширина же полокъ балки по конструктивнымъ соображеніямъ не можетъ быть значительно измѣнена. Вслѣдствіе этого одинъ изъ главныхъ моментовъ инерціи поперечнаго сѣченія во много разъ превосходитъ по величинѣ другой. Если мы сохранимъ прежнія наши обозначенія  $B_1$  и  $B_2$  для главныхъ жесткостей балки при изгибѣ и  $C$  для жесткости при кру-

ченіи, то въ случаѣ мостовыхъ балокъ нерѣдко, напримѣръ, бываетъ что

$$\frac{B_2}{B_1} < \frac{1}{100} \text{ и } \frac{C}{B_1} < \frac{1}{3000}.$$

При такихъ условіяхъ прогибъ балки въ направленіи перпендикулярномъ къ плоскости вертикальной стѣнки при однихъ и тѣхъ же напряженіяхъ можетъ во много разъ превосходить прогибъ въ плоскости стѣнки, и слѣдовательно имѣются на лицо тѣ условія, при которыхъ становится возможнымъ появленіе нѣсколькихъ формъ равновѣсія. Замѣчу здѣсь, что даже въ томъ случаѣ, когда  $B_1$  и  $B_2$  величины одного порядка, возможна неустойчивость плоской формы изгиба, если только  $C$  мало по сравненію съ  $B_1$  и  $B_2$  (Это возможно было бы осуществить, придавъ полкамъ балки значительную ширину при малой толщинѣ какъ полокъ, такъ и вертикальной стѣнки).

Переходя теперь къ опредѣленію возможныхъ формъ равновѣсія двутавровой балки, изгибаемой силами дѣйствующими въ плоскости вертикальной стѣнки, замѣтимъ, что одна изъ этихъ формъ для насъ извѣстна вполне — это форма плоскаго изгиба. Такъ какъ длина балки не очень велика по сравненію съ высотой (на практикѣ  $\frac{h}{l} = \frac{1}{5} - \frac{1}{12}$ ), то эта извѣстная намъ форма равновѣсія будетъ при малыхъ деформацияхъ весьма мало отличаться отъ первоначальной формы балки въ ея ненапряженномъ состояніи и, слѣдовательно, на основаніи вышеприведеннаго признака, будетъ формой неустойчивой. Каковы возможныя искривленныя формы изгиба намъ пока неизвѣстно, но во всякомъ случаѣ онѣ могутъ весьма значительно отличаться отъ первоначальной ненапряженной формы балки. Опредѣлить ихъ мы постараемся, исходя изъ того общаго положенія, что возможность появленія нѣсколькихъ формъ равновѣсія наступаетъ только при вполне опредѣленной зависимости между размѣрами балки и величинами дѣйствующихъ силъ.

Пусть  $\alpha$  опредѣляетъ эту зависимость, и пока  $\alpha$  меньше неизвѣстнаго намъ еще предѣла  $\alpha_0$ , плоская форма изгиба



есть единственная и потому устойчивая форма равновѣсія. Въ тѣхъ же случаяхъ когда  $\alpha > \alpha_0$ , возможны по крайней мѣрѣ двѣ формы равновѣсія, плоскій изгибъ и искривленная форма изгиба, сопровождаемая крученіемъ. Первая изъ нихъ неустойчива, а вторая устойчива. Величину  $\alpha_0$  мы найдемъ изъ слѣдующихъ соображеній. При  $\alpha > \alpha_0$  возможно существованіе искривленной формы изгиба, и въ уравненія, опредѣляющія эту форму, величина  $\alpha$  войдетъ, какъ параметръ. Непрерывно мѣняя эту величину, мы будемъ непрерывно измѣнять и видъ искривленной формы изгиба балки. Чѣмъ ближе будетъ  $\alpha$  къ  $\alpha_0$ , тѣмъ меньше отличается искривленная форма отъ плоской и въ предѣлѣ эти двѣ формы сливаются въ одну критическую форму. Если наше предположеніе относительно возможности появленія искривленной формы изгиба вѣрно, то для величины  $\alpha_0$  мы должны изъ уравненій, опредѣляющихъ искривленную форму, получить вполне определенное рѣшеніе.

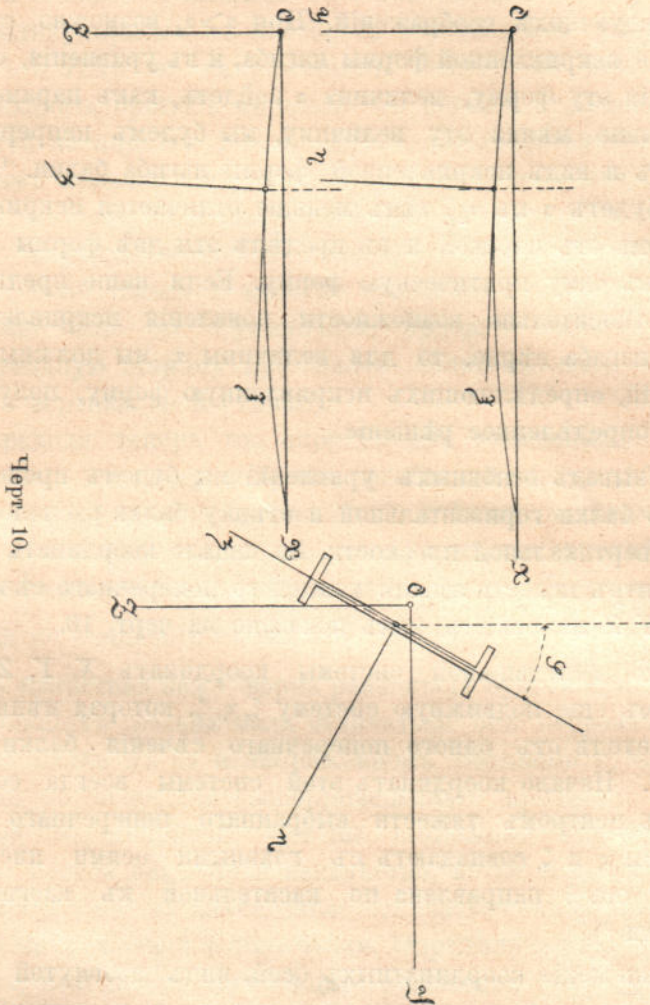
При выводѣ основныхъ уравненій мы будемъ предполагать ось балки горизонтальной и стѣнку балки расположенной въ вертикальной плоскости. За начало координатъ примемъ центръ тяжести лѣваго концевое поперечнаго сѣченія. Оси  $X, Y, Z$  направимъ, какъ показано на черт. 10.

Кромѣ неподвижной системы координатъ  $X, Y, Z$  мы построимъ еще подвижную систему  $\xi, \eta, \zeta$ , которая мѣняется при переходѣ отъ одного поперечнаго сѣченія балки къ другому. Начало координатъ этой системы всегда совпадаетъ съ центромъ тяжести выбраннаго поперечнаго сѣченія, оси  $\eta$  и  $\zeta$  совпадаютъ съ главными осями инерціи сѣченія, ось  $\xi$  направлена по касательной къ изогнутой оси балки <sup>1)</sup>.

Расположеніе координатныхъ осей, видъ изогнутой оси балки (въ случаѣ двухъ опоръ) и одно изъ промежуточныхъ поперечныхъ сѣченій представлено на черт. 10.

<sup>1)</sup> При малыхъ измѣненіяхъ формы можно пренебречь искаженіемъ поперечнаго сѣченія и считать всѣ три направленія взаимно перпендикулярными.

Величина вѣшнихъ силъ всегда можетъ быть подобрана такимъ образомъ, чтобы прогибы балки въ плоскостяхъ  $XU$  и  $XZ$  были малыми величинами одного порядка. Что касается угла поворота поперечныхъ сѣченій  $\varphi$ , то онъ будетъ



также величиной малой, если  $B_2$  и  $C$  малы по сравнению съ  $B_1$ . Если же  $B_2$  не можетъ считаться малымъ по сравнению съ  $B_1$  и только  $C$  мало, то тогда уголъ  $\varphi$  можетъ быть и не малымъ при малыхъ прогибахъ балки.

Въ обоихъ этихъ случаяхъ для кривизны изогнутой оси балки въ плоскостяхъ  $\xi\eta$  и  $\xi\zeta$  можно пользоваться приближенными формулами.

$$k = \frac{d^2\eta}{d\xi^2}; \quad \lambda = \frac{d^2\zeta}{d\xi^2}.$$

Кривизну кривой можно себѣ представить въ видѣ вектора <sup>1)</sup>, отложеннаго по бинормали. Тогда кривизна проэкции кривой на любую плоскость, проходящую черезъ касательную къ кривой, получится какъ проэкция вектора кривизны на нормаль къ этой плоскости.

Если воспользоваться этимъ представлениемъ и пренебречь малымъ угломъ наклоненія между касательной къ изогнутой оси балки и осью  $X$ -овъ, то на основаніи черт. 10 легко можно получить такіа соотношенія:

$$\begin{aligned} \frac{d^2\eta}{d\xi^2} &= \frac{d^2y}{dx^2} + \frac{d^2z}{dx^2} \cdot \varphi \\ \frac{d^2\zeta}{d\xi^2} &= \frac{d^2z}{dx^2} - \frac{d^2y}{dx^2} \cdot \varphi \end{aligned} \quad (1) \quad ^2)$$

Если мы черезъ  $M_\xi$ ,  $M_\eta$ ,  $M_\zeta$  назовемъ моменты внѣшнихъ силъ, дѣйствующихъ на лѣвую отсѣченную часть балки, относительно осей  $\xi$ ,  $\eta$ ,  $\zeta$ , то на основаніи извѣстныхъ формулъ сопротивленія матеріаловъ можемъ написать

$$\begin{aligned} M_\zeta &= B_2 \frac{d^2\eta}{d\xi^2} = B_2 \left( \frac{d^2y}{dx^2} + \frac{d^2z}{dx^2} \cdot \varphi \right) \\ M_\eta &= B_1 \frac{d^2\zeta}{d\xi^2} = B_1 \left( \frac{d^2z}{dx^2} - \frac{d^2y}{dx^2} \cdot \varphi \right) \end{aligned} \quad \dots \dots \dots (2)$$

Выраженіе для момента  $M_\xi$  получимъ на основаніи формулы (3) § 2.

$$M_\xi = C\varphi' - \frac{Dh^3}{2} \cdot \varphi''' \quad \dots \dots \dots (3)$$

Уравненіями (2) и (3) мы будемъ пользоваться при разсмотрѣніи частныхъ случаевъ изгиба.

При составленіи моментовъ  $M_\xi$ ,  $M_\eta$ ,  $M_\zeta$  нужно знать углы, составляемые осями  $\xi$ ,  $\eta$ ,  $\zeta$  съ неподвижными осями  $X$ ,  $Y$ ,  $Z$ .

<sup>1)</sup> См. Love, т. II, стр. 60.

<sup>2)</sup> Въ этихъ выраженіяхъ вмѣсто  $\cos \varphi$  взято 1 и  $\varphi$  вмѣсто  $\sin \varphi$ , что будетъ точно до  $\frac{1}{2}\%$  при углахъ, не превосходящихъ  $\frac{1}{10}$ .

Пока уголъ  $\varphi$  малъ, а мы дальше и будемъ разсматривать только такіе случаи, можно пользоваться слѣдующей таблицей девяти косинусовъ

	$\xi$	$\eta$	$\zeta$
X	1	$-\frac{dy}{dx}$	$-\frac{dz}{dx}$
Y	$\frac{dy}{dx}$	1	$-\varphi$
Z	$\frac{dz}{dx}$	$\varphi$	1

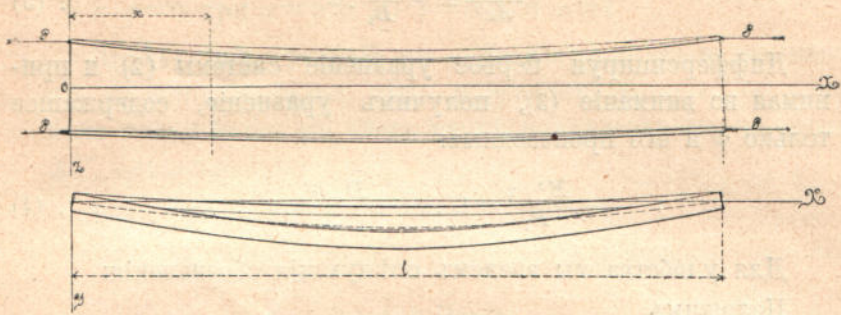
. . . (4)

### Случай изгиба балки парами силъ.

§ 5. Въ томъ случаѣ, когда двутавровая балка изгибается парами силъ, приложенными по концамъ и дѣйствующими въ срединной плоскости вертикальной стѣнки балки, наша задача приводится къ рѣшенію обыкновенныхъ дифференціальныхъ уравненій, линейныхъ и съ постоянными коэффициентами; вслѣдствіе чего на этомъ частномъ примѣрѣ, можетъ быть не имѣющемъ большого практическаго значенія, легче всего познакомиться съ сущностью интересующаго насъ явленія и сдѣлать нѣкоторыя заключенія, которыя въ дальнѣйшемъ помогутъ намъ при разсмотрѣніи случаевъ болѣе сложныхъ и трудно разрѣшимыхъ.

Общее расположеніе представлено на черт. 11. Концы балки предполагаются закрѣпленными такимъ образомъ, что концевыя поперечныя сѣченія не могутъ вращаться вокругъ оси X-овъ. Направленія, въ которыхъ дѣйствуютъ изгибающія пары, показаны на чертежѣ стрѣлками. Подъ дѣйствіемъ означенныхъ паръ балка изгибается въ плоскости ZX. Постепенно увеличивая моментъ  $M$  изгибающихъ паръ, мы можемъ достичь такой величины его  $M_k$ , при которой кромѣ плоской формы изгиба является возможной и другая не плоская форма равновѣсія. Для опредѣленія величины  $M_k$

придется рассмотреть условия равновѣсія искривленной формы изгиба.



Черт. 11.

Возьмемъ произвольное поперечное сѣченіе балки въ разстояніи  $X$  отъ начала координатъ (черт. 11). Моменты  $M_x$ ,  $M_y$ ,  $M_z$  получимъ проектированіемъ линейнаго момента  $M$  пары силъ на оси  $\xi$ ,  $\eta$ ,  $\zeta$ . Если воспользоваться таблицей (4) предыдущаго параграфа, то не трудно получить для этихъ моментовъ слѣдующія значенія

$$\begin{aligned} M &= M \frac{dy}{dx} \\ M_y &= M \dots \dots \dots (1) \\ M_z &= -M\varphi \end{aligned}$$

На основаніи общихъ ур-ій (2) и (3) предыдущаго параграфа мы получимъ, выбравъ надлежащимъ образомъ знаки, систему уравненій, опредѣляющихъ искривленную форму изгиба

$$\begin{aligned} My' &= C\varphi' - \frac{Dh^2}{2} \cdot \varphi''' \\ M\varphi &= -B_2 \left( \frac{d^2y}{dx^2} + \frac{d^2z}{dx^2} \cdot \varphi \right) \dots \dots \dots (2) \\ M &= -B_1 \left( \frac{d^2z}{dx^2} - \frac{d^2y}{dx^2} \cdot \varphi \right) \end{aligned}$$

Въ эти три уравненія входятъ три неизвѣстныхъ  $Y$ ,  $Z$  и  $\varphi$ . Лѣвыя части нашихъ уравненій написаны въ томъ предположеніи, что  $\varphi$  мало и слѣдовательно въ правой части члены

съ  $\varphi$  могутъ быть отброшены <sup>1)</sup>. Тогда второе изъ уравненій (2) даетъ намъ

$$\frac{d^2y}{dx^2} = -\frac{M}{B_2} \cdot \varphi \dots \dots \dots (3)$$

Дифференцируя первое уравненіе системы (2) и принимая во вниманіе (3), получимъ уравненіе, содержащее только  $\varphi$  и его производныя:

$$-\frac{M^2 \cdot \varphi}{B_2} = C \cdot \varphi'' - \frac{D \cdot h^2}{2} \cdot \varphi^{IV} \dots \dots \dots (4)$$

Для удобства мы введемъ слѣдующія обозначенія:

Положимъ

$$\frac{2C}{Dh^2} = \frac{1}{a^2}; \quad \frac{2M^2}{B_2 \cdot D \cdot h^2} = \frac{1}{d^4} \dots \dots \dots (5)$$

Тогда уравненіе (4) переписется такимъ образомъ:

$$\varphi^{IV} - \frac{1}{a^2} \cdot \varphi'' - \frac{1}{d^4} \cdot \varphi = 0 \dots \dots \dots (4')$$

Характеристическое уравненіе соотвѣтствующее (4)' даетъ намъ два дѣйствительныхъ и два мнимыхъ корня. Корни эти будутъ.

$$\alpha i = \pm i \sqrt{-\frac{1}{2a^2} + \sqrt{\frac{1}{4a^4} + \frac{1}{d^4}}};$$

$$\beta = \pm \sqrt{\frac{1}{2a^2} + \sqrt{\frac{1}{4a^4} + \frac{1}{d^4}}}.$$

На основаніи этого общій интегралъ уравненія (4)' напишется такъ:

$$\varphi = A \sin \alpha x + B \cos \alpha x + C e^{\beta x} + D e^{-\beta x} \dots \dots \dots (6)$$

Значенія произвольныхъ постоянныхъ могутъ быть опредѣлены на основаніи условій на концахъ балки. Такъ какъ

<sup>1)</sup> Michell въ своей работѣ (см. § 1) не отбрасываетъ этихъ членовъ и при рѣшеніи ур-ій (2) пренебрегаетъ только членами содержащими  $\varphi^2$ . Такимъ образомъ для  $\varphi$  онъ получаетъ ур-іе:

$$-\frac{M^2 \varphi}{B_2} \left(1 - \frac{B_2}{B_1}\right) = C \cdot \varphi'' - \frac{Dh^2}{2} \cdot \varphi^{IV}.$$

Такъ какъ практическій интересъ имѣютъ только тѣ случаи, гдѣ  $\frac{B_2}{B_1}$  мало, то, пренебрегая этой величиной получимъ, наше ур-іе (4).

концевыя сѣченія не могутъ поворачиваться вокругъ оси  $x$ -овъ то

I)  $\varphi = 0$  при  $x = 0$  и II)  $\varphi = 0$  при  $x = l$ .

Другую пару условій мы найдемъ, принявъ во вниманіе, что на концахъ балки нѣтъ моментовъ, которые бы изгибали полки балки въ плоскостяхъ параллельныхъ плоскости  $XU$ , слѣдовательно

III)  $\varphi'' = 0$  при  $x = 0$  и IV)  $\varphi'' = 0$  при  $x = l$ .

На основаніи условій I) и III) будемъ имѣть

$$\begin{aligned} B + C + D &= 0 \\ B\alpha^2 + C\beta^2 + D\beta^2 &= 0 \end{aligned} \quad (7)$$

Чтобы удовлетворить этимъ уравненіямъ, необходимо положить

$$B = 0; C = -D.$$

На основаніи этого мы можемъ рѣшеніе (6) представить въ такомъ видѣ

$$\varphi = A \sin \alpha x + C_1 \sin h(\beta x)$$

Для опредѣленія  $A$  и  $C_1$  мы воспользуемся условіями II) и IV), которыя намъ дадутъ

$$\begin{aligned} A \cdot \sin \alpha l + C_1 \sin h(\beta l) &= 0 \\ -A \cdot \alpha^2 \sin \alpha l + C_1 \beta^2 \sin h(\beta l) &= 0 \end{aligned} \quad (8)$$

Условіямъ (8) можно удовлетворить положивши

$$A = 0 \text{ и } C_1 = 0.$$

Но тогда всѣ произвольныя постоянныя интеграла (6) будутъ нулями и слѣдовательно

$$\varphi \text{ и } \frac{d^2 y}{dx^2}$$

будутъ равны нулю по всей длинѣ балки, т. е. мы будемъ имѣть случай плоскаго изгиба. Чтобы была возможна другая не плоская форма изгиба необходимо, чтобы уравненія (8) допускали для  $A$  и  $C_1$  рѣшенія отличныя отъ нуля. Для

этого необходимо опредѣлитель уравненій (8) приравнять нулю т. е. положить

$$(\alpha^2 + \beta^2) \sin \alpha l = 0 \dots \dots \dots (9)$$

На основані нашихъ обозначеній мы имѣемъ

$$\alpha^2 + \beta^2 = \frac{1}{a^2} = \frac{2C}{D \cdot h^2}$$

и потому первый множитель (9) не можетъ быть нулемъ, слѣдовательно для возможности появленія искривленной формы изгиба необходимо положить

$$\sin \alpha l = 0.$$

Такимъ образомъ можно найти безконечное множество значеній  $\alpha$ , а слѣдовательно и  $M_k$ , при которыхъ становится возможной не плоская форма изгиба. Для этого нужно только положить

$$\alpha l = n \pi \dots \dots \dots (10)$$

гдѣ  $n$  цѣлое число.

Чтобы представить себѣ, какой видъ имѣютъ различныя формы не плоскаго изгиба, замѣтимъ, что на основаніи (8) и (10) условій  $C_1 = 0$ , слѣдовательно

$$\varphi = A \sin \alpha x \dots \dots \dots (11)$$

Положивши въ условіи (10)  $n$  равнымъ единицѣ получимъ наименьшее значеніе для  $\alpha$ , а слѣдовательно и для  $M$ , при которомъ плоская форма изгиба будетъ неустойчива. Появляющаяся искривленная форма изгиба характеризуется тѣмъ, что уголъ  $\varphi$  по всей длинѣ будетъ одного знака. Максимальнаго значенія онъ достигаетъ при  $x = \frac{l}{2}$

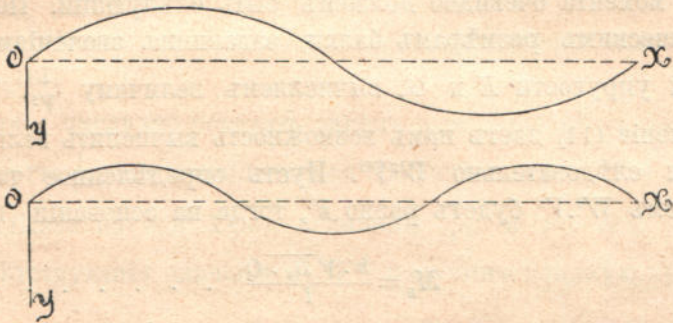
Когда

$$\sin \alpha x = 1.$$

Проекція изогнутой оси балки на плоскость  $XU$  будетъ кривая безъ точекъ перегиба, такъ какъ  $\frac{d^2y}{dx^2}$  сохраняетъ свой знакъ по всей длинѣ балки, что видно изъ уравненія (3). Въ общемъ эта форма изгиба будетъ соответствовать черт. 11, взятому нами при выводѣ уравненій.



Если въ условіи (10) положить  $n=2$ , то тогда  $\varphi$  пере-  
мѣнитъ свой знакъ при  $x = \frac{l}{2}$  и ось балки изогнется, какъ  
показано на черт. 12 фиг. *a*. Фиг. *b* даетъ видъ изгиба при  
 $n=3$  и т. д. Чѣмъ больше  $n$ , тѣмъ больше  $\alpha$  и тѣмъ большій  
нуженъ моментъ, чтобы осуществить соответствующую  
форму изгиба



Черт. 12 (а и б).

Для практическихъ цѣлей особенно важно значеніе  $M_n$ ,  
при которомъ становится возможной первая искривленная  
форма изгиба. Для этого случая должна быть составлена таб-  
лица, которой можно было бы пользоваться такъ, какъ,  
напримѣръ, таблицей проф. Ясинскаго въ случаѣ продоль-  
наго изгиба.

Для сравненія получаемыхъ нами здѣсь результатовъ  
съ результатами другихъ случаевъ нагрузки, мы введемъ  
такія обозначенія:

$$\frac{l^2}{a^2} = \frac{2 \cdot C}{D} \cdot \frac{l^2}{h^2} = \frac{1}{V^2}$$

$$\frac{l^4}{d^4} = \frac{l^4 \cdot 2M^2}{B_2 \cdot D \cdot h^2} = W^2 \quad \dots \dots \dots (12)$$

гдѣ  $W^2$  и  $\frac{1}{V^2}$  суть отвлеченныя числа. Замѣтимъ, что  $\frac{1}{V^2}$  за-  
виситъ только отъ размѣровъ балки, въ выраженіе же для  
 $W^2$  входитъ также и изгибающій моментъ  $M$ .

На основаніи (12) очевидно

$$W^2 V^2 = \frac{l^2 \cdot M^2}{B_2 \cdot C} \quad \dots \dots \dots (13)$$

Величина  $W^2$ , соответствующая заданнымъ размѣрамъ балки, опредѣлится изъ условія (10), которое на основаніи новыхъ обозначеній переписется при  $n=1$  такъ

$$\sqrt{\left(\frac{1}{2V^2}\right)^2 + W^2} - \frac{1}{2V^2} = \pi^2 \dots \dots \dots (14)$$

Ходъ расчета при опредѣленіи критическаго изгибающаго момента очевидно долженъ быть слѣдующій. По геометрическимъ размѣрамъ балки, задавшись значеніями модулей упругости  $E$  и  $G$ , вычисляемъ величину  $\frac{1}{V^2}$ . Тогда уравненіе (14) даетъ намъ возможность вычислить величину  $W^2$  и слѣдовательно  $W^2V^2$ . Пусть опредѣленное такимъ образомъ  $W^2V^2$  будетъ равно  $k^2$ , тогда на основаніи (13)

$$M_k = \frac{k \cdot \sqrt{B_2 \cdot C}}{l} \dots \dots \dots (15)$$

Полученная нами формула имѣетъ сходство съ формулой Эйлера въ случаѣ продольнаго изгиба. Величина множителя  $k$  мѣняется въ зависимости отъ размѣровъ балки и опредѣляетъ собой вліяніе жесткости полокъ. Чѣмъ меньше  $D$  и больше длина балки  $l$ , тѣмъ менѣе сказывается вліяніе изгиба полокъ, тѣмъ меньше величина  $k$ . Въ предѣлѣ, когда  $D=0$  и двутавровая балка состоитъ изъ одной вертикальной стѣнки, мы будемъ имѣть  $V^2=0$ , а на основаніи уравненія (14).

$$W^2V^2 = \pi^2.$$

Слѣдовательно наименьшее значеніе для переменнаго множителя будетъ  $k = \pi$  и на этотъ случай формула (15) переписется такъ:

$$M_k = \frac{\pi \sqrt{B_2 C}}{l} \dots \dots \dots (16)$$

Замѣтимъ, что къ тому же самому результату мы могли бы придти, положивши въ основномъ нашемъ уравненіи (4)  $D=0$ .

Тогда задача приведется къ рѣшенію уравненія второго порядка

$$\varphi'' + \frac{M^2}{B_2 C} \cdot \varphi = 0.$$

Общий интеграл этого уравнения будетъ

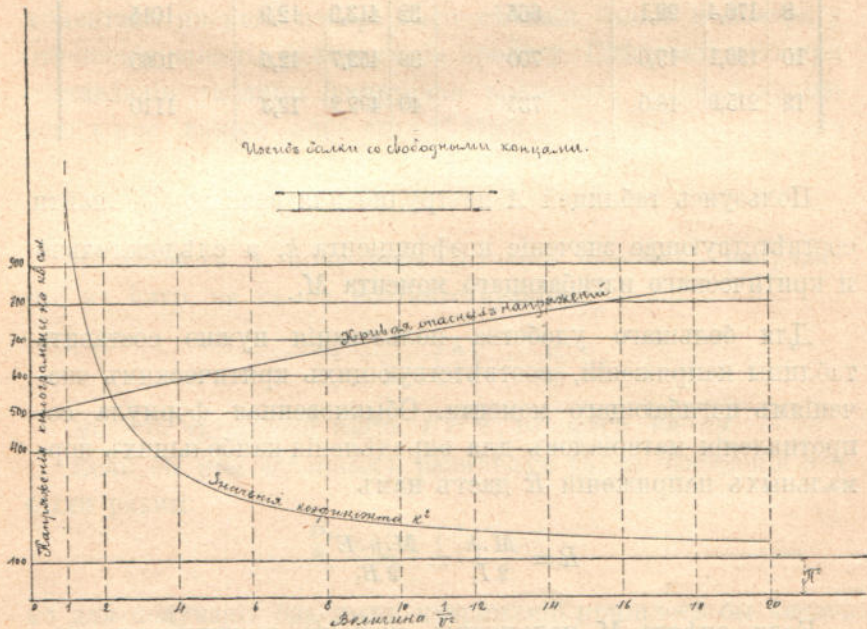
$$\varphi = A \sin \frac{M}{\sqrt{B_2 C}} \cdot x + B \cos \frac{M}{\sqrt{B_2 C}} \cdot x$$

Чтобы удовлетворить условиямъ на концахъ придется положить

$$B = 0 \text{ и } \frac{Ml}{\sqrt{B_2 C}} = n\pi$$

откуда сейчасъ же получается вышеприведенная нами формула (16).

Чтобы наглядно показать законъ измѣненія  $k^2$  въ зависимости отъ  $\frac{1}{V^2}$ , мы воспользуемся графическимъ построениемъ. Откладывая по оси  $X$ -овъ величины  $\frac{1}{V^2}$ , и по оси  $Y$ -овъ соответствующія значенія  $W^2 V^2$ , получимъ искомую кривую



На основаніи уравненія (14) не трудно видѣть, что эта кривая будетъ гиперболою; асимптотами ея будутъ ось  $Y$ -овъ и

прямая параллельная оси X-овъ, проведенная въ разстояніи  $\pi^2$  отъ нея, какъ это показана на черт. (13).

Въ приведенной ниже таблицѣ А мы даемъ рядъ численныхъ значеній  $k^2$

Таблица А.

1 $\sqrt{2}$	$W^2$	$W^2 V^2 = k^2$	Опасная напр. при	1 $\sqrt{2}$	$W^2$	$W^2 V^2 = k^2$	Опасная напр. при
			$\frac{B_2}{B_1} = \frac{1}{100} \frac{h}{l} = \frac{1}{10}$ $E = 2 \cdot 10^6$				$\frac{B_2}{B_1} = \frac{1}{100} \frac{h}{l} = \frac{1}{10}$ $E = 2 \cdot 10^6$
0,1	98,4	984	495	16	255,3	16,0	800
2	117,2	58,6	540	20	294,8	14,7	860
4	136,9	34,2	585	24	334,3	13,9	915
6	156,6	26,1	625	28	373,8	13,4	965
8	176,4	22,1	665	32	413,3	12,9	1015
10	196,1	19,6	700	36	452,7	12,6	1065
12	215,9	18,0	735	40	492,2	12,3	1110

Пользуясь таблицей А не трудно для всякаго  $\frac{1}{\sqrt{2}}$  найти соответствующее значеніе коэффициента  $k$ , а слѣдовательно и критическаго изгибающаго момента  $M_k$ .

Для большаго удобства пользованія нужно составить таблицы напряженій, соответствующихъ критическимъ значеніямъ изгибающаго момента. Обыкновенная формула сопротивленія матеріаловъ для опредѣленія наибольшихъ нормальныхъ напряженій  $R$  даетъ намъ

$$R = \frac{M \cdot h}{2 I_1} = \frac{M \cdot h \cdot E}{2 B_1}$$

Если вмѣсто  $M$  подставимъ значеніе критическаго момента изъ формулы (15), то для величины опаснаго напряженія будемъ имѣть

$$R = \frac{k \sqrt{B_2 C} \cdot E}{2 \cdot B_1} \cdot \frac{h}{l} \cdot \dots \dots \dots (17)$$

Въ формулѣ этой возможны дальнѣйшія упрощенія. Для этого замѣтимъ, что при малой толщинѣ вертикальной стѣнки съ достаточной точностью можно положить

$$D = \frac{B_2}{2}.$$

Тогда на основаніи нашихъ обозначеній (12)

$$C = \frac{B_2}{4} \cdot \frac{1}{V^2} \cdot \frac{h^2}{l^2}.$$

Подставляя это въ формулу (17), окончательно будемъ имѣть

$$R = \frac{1}{4} W \cdot E \cdot \frac{B_2}{B_1} \cdot \left(\frac{h}{l}\right)^2 \dots \dots \dots (18)$$

Какъ видно опасныя напряженія при одномъ и томъ же  $W$  будутъ пропорціональны отношенію между главными моментами инерціи поперечнаго сѣченія балки и квадрату отношенія высоты балки къ ея пролету. Слѣдовательно при составленіи таблицы достаточно вычислить опасныя напряженія для какого либо опредѣленнаго значенія отношенія

$$\frac{B_2}{B_1} \text{ и } \frac{h}{l}.$$

Въ таблицѣ А приведены значенія опасныхъ напряженій въ клгр. на кв. ст. соотвѣтствующія

$$\frac{B_2}{B_1} = \frac{1}{100} \left(\frac{h}{l}\right)^2 = \frac{1}{100}$$

Модуль упругости взять  $E = 2 \cdot 10^6$  клгр. кв. см.

Если бы при заданныхъ размѣрахъ балки отношенія эти были равны:

$$\frac{B_2}{B_1} = \frac{1}{m}; \left(\frac{h}{l}\right)^2 = \frac{1}{n},$$

то для полученія опасныхъ напряженій пришлось бы число, поставленное въ таблицѣ, умножить на  $\frac{10^4}{m \cdot n}$ .

При вычисленіяхъ  $\frac{1}{V^2}$  никакихъ затрудненій встрѣтиться не можетъ, такъ какъ отношеніе  $\frac{h}{l}$  всегда извѣстно съ боль-

шой точностью.  $D$  можетъ быть вычислено на основаніи поперечныхъ размѣровъ балки, если только извѣстенъ модуль упругости матеріала. Что касается  $C$ , то оно можетъ быть вычислено, на основаніи приѣмовъ, приведенныхъ въ § 3. Вычисления эти, конечно, будутъ очень неточныя, но какъ видно изъ разсмотрѣнія таблицы А, даже большія ошибки въ опредѣленіи  $\frac{1}{V^2}$  не сильно повліяютъ на опредѣляемую величину опасныхъ напряженій.

Формулы, полученныя нами для балокъ со свободными концами, легко распространить на случай балокъ однимъ концомъ задѣланныхъ неподвижно. Въ случаѣ первой искривленной формы изгиба среднее поперечное сѣченіе балки въ силу симметріи остается плоскимъ и слѣдовательно въ задачѣ нашей ничто не измѣнится, если мы предположимъ его неподвижно задѣланнымъ. Пара, приложенная къ свободному концу, должна быть подчинена тому условію, что плоскость ея во время деформациі заключаетъ въ себѣ главную ось инерціи концевой поперечнаго сѣченія и ось  $X$ -овъ. Величина критическаго момента очевидно должна остаться прежняя; длина же балки будетъ  $l_1 = \frac{l}{2}$ .

Слѣдовательно

$$M_k = \frac{k \sqrt{B_2 C}}{2 l_1}.$$

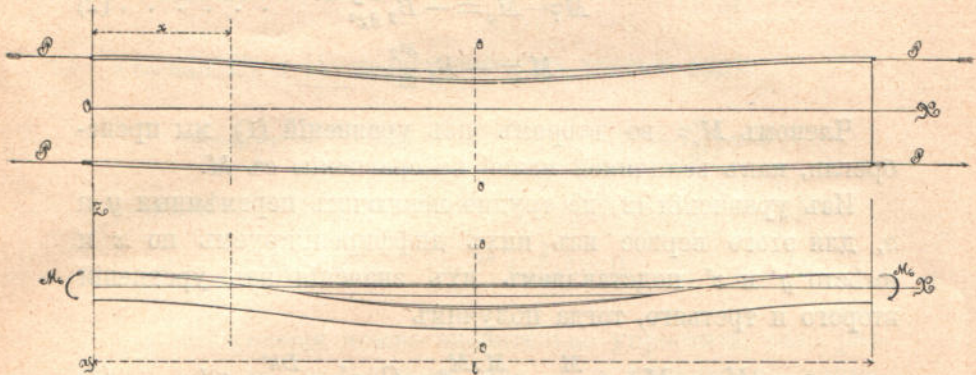
Когда балка состоитъ изъ одной вертикальной стѣнки, мы будемъ имѣть

$$M_k = \frac{\pi \sqrt{B_2 C}}{2 l_1}.$$

### Изгибъ балки съ задѣланными концами.

§ 6. Положимъ, что концевыя сѣченія балки закрѣплены такимъ образомъ, что устранена возможность вращенія не только вокругъ оси  $X$ -овъ, но и вокругъ вертикальной оси  $Z$ -овъ. Вращеніе концевыхъ сѣченій вокругъ оси  $Y$ -овъ мы предполагаемъ возможными, такъ какъ при значительной

жесткости балки в плоскости ее стѣнки невозможно обезпечить неподвижность в этомъ направленіи. Положимъ, что черт. (14) представляетъ одну изъ возможныхъ в этомъ случаѣ искривленныхъ формъ изгиба.



Черт. 14.

Ясно, что для устранения вращенія вокругъ оси  $Z$ -овъ къ концевымъ поперечнымъ сѣченіямъ необходимо приложить нѣкоторые моменты  $M_0$ , дѣйствующие в плоскости  $\xi\eta$  и вращающіе в сторону, указанную на чертежѣ стрѣлками.

Величина момента пока остается неопредѣленной и впоследствии можетъ быть вычислена на основаніи того, что касательная къ изогнутой оси балки на концахъ должна лежать в плоскости  $ZX$ , т. е. при

$$x=0 \text{ и при } x=l \quad \frac{\partial y}{\partial x} = 0.$$

Чтобы составить основныя уравненія в этомъ случаѣ, возьмемъ опять произвольное сѣченіе в разстояніи  $x$  отъ начала координатъ и составимъ выраженія для моментовъ внѣшнихъ силъ относительно осей  $\xi$ ,  $\eta$ ,  $z$  взятаго сѣченія. Пользуясь таблицей (4) § 4, получимъ

$$\begin{aligned} M_\xi &= M \frac{\partial y}{\partial x} + M_0 \frac{\partial z}{\partial x} \\ M_\eta &= M + M_0 \cdot \varphi \dots \dots \dots (1) \\ M_z &= M\varphi + M_0 \end{aligned}$$

Пользуясь основными уравненіями § 4 и считая  $\varphi$  малымъ, будемъ имѣть

$$\begin{aligned} My' + M_0 z' &= C\varphi' - \frac{Dh^2}{2} \cdot \varphi''' \\ M\varphi - M_0 &= -B_2 \frac{\partial^2 y}{\partial x^2} \quad \dots \dots \dots (2) \\ M &= -B_1 \frac{\partial^2 z}{\partial x^2} \end{aligned}$$

Членомъ  $M_0\varphi$  во второмъ изъ уравненій (1) мы пренебрегли, какъ величиной малой по сравненію съ  $M$ .

Изъ уравненій (2) не трудно исключить переменныя  $y$  и  $z$ , для этого первое изъ нихъ дифференцируемъ по  $x$  и вмѣсто  $y'$  и  $z'$  подставляемъ ихъ значенія изъ уравненій второго и третьяго, тогда получимъ

$$-(M\varphi - M_0) \cdot \frac{M}{B_2} - \frac{M \cdot M_0}{B_1} = C \cdot \varphi'' - \frac{Dh^2}{2} \cdot \varphi^{iv} \dots (3)$$

Раздѣляя на коэффициентъ при  $\varphi^{iv}$  и пользуясь обозначеніями предыдущаго параграфа будемъ имѣть:

$$\varphi^{iv} - \frac{1}{a^2} \cdot \varphi'' - \frac{1}{d^4} \cdot \varphi = -\frac{1}{d^4} \cdot \frac{M_0}{M} \cdot \left(1 - \frac{B_2}{B_1}\right) \dots (4)$$

Въ дальнѣйшемъ мы будемъ пренебрегать величиной  $\frac{B_2}{B_1}$  по сравненію съ единицей. Полный интегралъ уравненія (4) мы получимъ, если къ разсмотрѣнному въ предыдущемъ параграфѣ интегралу уравненія безъ послѣдняго члена прибавимъ частное рѣшеніе уравненія (4), тогда

$$\varphi = A \sin ax + B \cos ax + C \cdot e^{\beta x} + D \cdot e^{-\beta x} + \frac{M_0}{M} \dots (5)$$

Произвольныя постоянныя  $A, B, C, D$  и неизвѣстная пока величина  $M_0$  опредѣлятся изъ условій на концахъ балки:

Условія эти будутъ слѣдующія

$$\text{I) при } x=0, \varphi=0, \quad \text{II) при } x=l, \varphi=0.$$

Кромѣ того моментъ внѣшнихъ силъ относительно оси  $\xi$ , построенной для концевыхъ поперечныхъ сѣченій, будетъ нулемъ, слѣдовательно

$$\text{III) } \varphi''' - \frac{1}{a^2} \cdot \varphi' = 0 \text{ при } x=0 \text{ и IV) } \varphi''' - \frac{1}{a^2} \cdot \varphi' = 0 \text{ при } x=l.$$



Условія I и II даютъ намъ

$$B + C + D = -\frac{M_0}{M} \quad (a)$$

$$A \cdot \sin \alpha l + B \cos \alpha l + C \cdot e^{\beta l} + D \cdot e^{-\beta l} = -\frac{M_0}{M} \quad (b)$$

Условія III и IV представляются въ такомъ видѣ

$$\begin{aligned} & -A \left( \alpha^3 + \frac{\alpha}{a^2} \right) + C \left( \beta^3 - \frac{\beta}{a^2} \right) + D \left( -\beta^3 + \frac{\beta}{a^2} \right) = 0 \\ & -A \cos \alpha l \left( \alpha^3 + \frac{\alpha}{a^2} \right) + B \sin \alpha l \left( \alpha^3 + \frac{\alpha}{a^2} \right) + C e^{\beta l} \left( \beta^3 - \frac{\beta}{a^2} \right) + \\ & + D e^{-\beta l} \left( -\beta^3 + \frac{\beta}{a^2} \right) = 0. \end{aligned}$$

Эти два условія можно значительно упростить, если раздѣлить ихъ на коэффициентъ при  $A$  и принять во вниманіе, что

$$\frac{\beta^3 - \frac{\beta}{a^2}}{\alpha^3 + \frac{\alpha}{a^2}} = \frac{\beta}{\alpha} \cdot \frac{\beta^2 - \frac{1}{a^2}}{\alpha^2 + \frac{1}{a^2}} = \frac{\alpha}{\beta}$$

тогда получимъ

$$-A + \frac{\alpha}{\beta} \cdot C - \frac{\alpha}{\beta} \cdot D = 0 \quad (c)$$

$$-A \cos \alpha l + B \sin \alpha l + \frac{\alpha}{\beta} \cdot C \cdot e^{\beta l} - \frac{\alpha}{\beta} \cdot D \cdot e^{-\beta l} = 0 \quad (d)$$

Изъ условій (a) и (c) можемъ выразить произвольныя постоянныя  $C$  и  $D$  черезъ  $A$  и  $B$

$$\begin{aligned} C &= \frac{A \frac{\beta}{\alpha} - B}{2} - \frac{1}{2} \cdot \frac{M_0}{M} \quad \dots \dots \dots (6) \\ D &= -\frac{A \frac{\beta}{\alpha} + B}{2} - \frac{1}{2} \frac{M_0}{M} \end{aligned}$$

Тѣже постоянныя изъ условій (b) и (d) выразятся такимъ образомъ

$$\begin{aligned} C &= \frac{A}{2} \left( \frac{-\sin \alpha l + \frac{\beta}{\alpha} \cos \alpha l}{e^{\beta l}} \right) - \frac{B}{2} \left( \frac{\cos \alpha l + \frac{\beta}{\alpha} \sin \alpha l}{e^{\beta l}} \right) - \frac{1}{2} \cdot \frac{M_0}{M \cdot e^{\beta l}} \\ D &= -\frac{A}{2} \left[ \frac{\sin \alpha l + \frac{\beta}{\alpha} \cos \alpha l}{e^{-\beta l}} \right] - \frac{B}{2} \left[ \frac{-\frac{\beta}{\alpha} \cdot \sin \alpha l + \cos \alpha l}{e^{-\beta l}} \right] - \frac{1}{2} \frac{M_0}{M \cdot e^{-\beta l}} \quad (7) \end{aligned}$$

Изъ сравненія (6) и (7) получимъ

$$\begin{aligned} \frac{A}{2} \left[ \frac{\beta}{\alpha} - \frac{\frac{\beta}{\alpha} \cos \alpha l - \sin \alpha l}{e^{\beta l}} \right] - \frac{B}{2} \left[ 1 - \frac{\cos \alpha l + \frac{\beta}{\alpha} \cdot \sin \alpha l}{e^{\beta l}} \right] - \\ - \frac{M_0}{2M} \left( 1 - \frac{1}{e^{\beta l}} \right) = 0 \\ \frac{A}{2} \left[ \frac{\beta}{\alpha} - \frac{\frac{\beta}{\alpha} \cos \alpha l + \sin \alpha l}{e^{-\beta l}} \right] - \frac{B}{2} \left[ 1 - \frac{\cos \alpha l - \frac{\beta}{\alpha} \cdot \sin \alpha l}{e^{-\beta l}} \right] - \\ - \frac{M_0}{2M} \left( 1 - \frac{1}{e^{-\beta l}} \right) = 0. \end{aligned} \quad (8)$$

Условіямъ (8) конечно можно было бы удовлетворить положивши

$$A = B = M_0 = 0,$$

но тогда  $C$  и  $D$  также будутъ нулями и рѣшеніе будетъ соответствовать случаю плоскаго изгиба. Чтобы искривленная форма изгиба была возможна, необходимо чтобы условія (8) давали для произвольныхъ постоянныхъ рѣшенія отличныя отъ нуля. Не трудно видѣть, что мы удовлетворимъ условіямъ (8) положивши

$$A = 0, \quad \cos \alpha l + \frac{\beta}{\alpha} \cdot \sin \alpha l = 1, \quad \cos \alpha l - \frac{\beta}{\alpha} \cdot \sin \alpha l = 1 \quad (9)$$

Тогда будемъ имѣть

$$M_0 = -B \cdot M,$$

а изъ условій (6)

$$C = 0; \quad D = 0.$$

Для опредѣленія угла поворота  $\varphi$  будемъ имѣть

$$\varphi = B (\cos \alpha x - 1) \quad \dots \quad (10)$$

Чтобы судить о томъ, каковъ видъ искривленной формы равновѣсія, обратимся къ условіямъ (9). Для того, чтобы они были удовлетворены, необходимо положить

$$\cos \alpha l = 1, \quad \sin \alpha l = 0.$$

Слѣдовательно

$$\alpha l = 2 m \pi,$$

Гдѣ  $m$  произвольное цѣлое число.

Первая возможная форма, соответствующая наименьшему значению  $\alpha$ , а следовательно и наименьшему изгибающему моменту  $M_k$  очевидно получится, если мы положимъ

$$\alpha l = 2\pi \dots \dots \dots (11)$$

Въ этомъ случаѣ уголъ  $\varphi$  все время будетъ одного знака и наибольшей своей величины достигаетъ при

$$x = \frac{l}{2}.$$

Проекція изогнутой оси балки на плоскость  $XU$  будетъ кривая съ двумя точками перегиба, которыя будутъ соответствовать тѣмъ сѣченіямъ балки, гдѣ

$$M\varphi - M_0 = 0,$$

что не трудно видѣть изъ второго уравненія системы (2).

То же уравненіе даетъ намъ выраженіе для  $y'$

$$y' = -\frac{M \cdot B}{B_2} \cdot \left( \frac{\sin \alpha x}{\alpha} - x \right) + \frac{M_0 x}{B_2}$$

Нетрудно видѣть, что  $y'$  обращается въ нуль при

$$x = 0 \text{ и при } x = l.$$

Въ общемъ искривленная форма изгиба будетъ имѣть видъ представленный на черт. (14).

Для вычисленія критическаго значенія изгибающаго момента  $M_k$  воспользуемся обозначеніями (12) предыдущаго параграфа. Тогда на основаніи условія (11) будемъ имѣть

$$\sqrt{\left(\frac{1}{2V^2}\right)^2 + W^2} - \frac{1}{2V^2} = 4\pi^2 \dots \dots \dots (12)$$

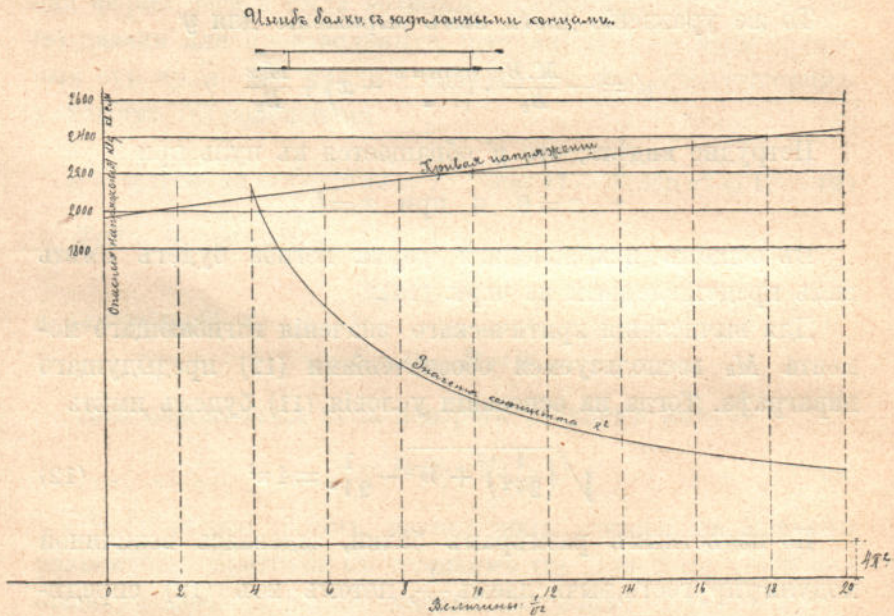
По извѣстнымъ размѣрамъ балки, задаваясь величиной модуля упругости, вычисляемъ  $\frac{1}{V^2}$ , потомъ изъ (12) опредѣлимъ соответствующее значеніе  $W^2$  и называя произведеніе  $W^2 V^2$  черезъ  $k^2$ , окончательно для опредѣленія критическаго значенія  $M_k$  будемъ имѣть

$$M_k = \frac{k \cdot \sqrt{B_2 C}}{l} \dots \dots \dots (13)$$

Формула эта совершенно совпадаетъ съ тѣмъ, что мы получили для балки со свободными концами, только, конечно, коэффициентъ  $k$  будетъ имѣть другое значеніе. Если мы графически представимъ зависимость между  $\frac{1}{V^2}$  и  $k^2$ , то поступая также какъ и въ предыдущемъ параграфѣ, получимъ гиперболу, асимптомами которой будутъ ось  $Y$ -овъ и прямая параллельная оси  $X$ -овъ и проведенная въ разстояніи  $4\pi^2$  отъ нея.

Величина  $k$  будетъ мѣняться въ зависимости отъ жесткости пологъ балки. Если уменьшать жесткость  $D$ , то вмѣстѣ съ тѣмъ уменьшается и  $k$ . Когда пологъ совѣмъ нѣтъ, т. е.

$$D = 0 \text{ и } V^2 = 0.$$



Черт. 15.

мы на основаніи (12) будемъ имѣть

$$k^2 = W^2 V^2 = 4\pi^2$$

и слѣдовательно формула для вычисленія  $M_k$  переписется въ этомъ случаѣ такимъ образомъ

$$M_k = \frac{2\pi \sqrt{B_2 C}}{l} \dots \dots \dots (14)$$

т. е. критическій изгибающій моментъ какъ разъ вдвое больше нежели въ случаѣ балки со свободными концами. Замѣтимъ, что задѣланной балку можно считать только въ томъ случаѣ, если конструкция закрѣпленія концовъ такова, что дѣйствительно обезпечена полная неподвижность въ извѣстномъ направленіи.

Возьмемъ для примѣра продольную балку моста. Ясное дѣло, что ее придется считать, какъ балку со свободными концами, такъ какъ обыкновенно употребляемая конструкция сопряженія продольной балки съ поперечными мало затрудняетъ возможность вращенія концевыхъ поперечныхъ сѣченій вокругъ вертикальныхъ осей.

Укажемъ теперь, что формулу (14) для балки, состоящей изъ одной стѣнки, можно получить и изъ основного нашего уравненія (3) положивши въ немъ  $D=0$ . Тогда будемъ имѣть

$$\varphi'' + \frac{M^2}{B_2 C} \cdot \varphi = \frac{M_2}{B_2 C} \cdot \frac{M_0}{M}.$$

Общій интеграль этого уравненія будетъ

$$\varphi = A \sin. \frac{M}{\sqrt{B_2 C}} \cdot x + B \cdot \cos. \frac{M}{\sqrt{B_2 C}} \cdot x + \frac{M_0}{M}$$

Условія на концахъ очевидно будутъ

I, II)	при $x = 0$ ;	$\varphi_0 = 0$ ;	$\varphi'_0 = 0$
III, IV)	при $x = l$ ;	$\varphi_l = 0$ ;	$\varphi'_l = 0$

на основаніи условій I, II будемъ имѣть

$$A = 0 \quad \text{и} \quad B = -\frac{M_0}{M}$$

Слѣдовательно

$$\varphi = \frac{M_0}{M} \left( 1 - \cos. \frac{M}{\sqrt{B_2 C}} \cdot x \right)$$

На основаніи условій III и IV будемъ имѣть

$$\frac{M_0}{M} \left( 1 - \cos \frac{M}{\sqrt{B_2 C}} \cdot l \right) = 0$$

$$\frac{M_0}{M} \cdot \frac{M}{\sqrt{B_2 C}} \cdot \sin \frac{M}{\sqrt{B_2 C}} \cdot l = 0$$

Чтобы удовлетворить этимъ условіямъ придется положить

$$\cos \frac{M}{\sqrt{B_2 C}} \cdot l = 1; \quad \sin \frac{Ml}{\sqrt{B_2 C}} = 0,$$

Слѣдовательно

$$\frac{M}{\sqrt{B_2 C}} \cdot l = 2 m \pi.$$

Первая искривленная форма возможна, если

$$M_k = \frac{2 \pi \cdot \sqrt{B_2 C}}{l}.$$

Ниже мы приводимъ таблицу *B*, въ которой для различныхъ значеній  $\frac{1}{V^2}$  вычислены соответствующія значенія коэффициента  $k^2$ , а также значенія опасныхъ напряженій въ предположеніи, что

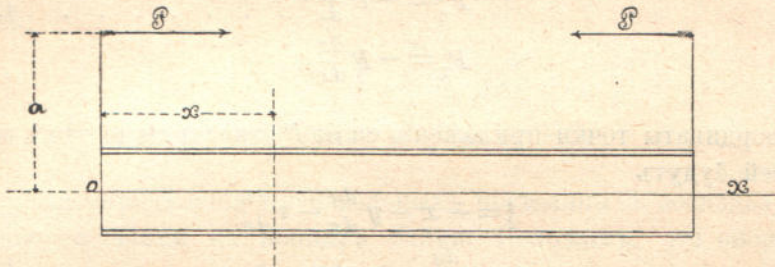
$$\frac{B_2}{B_1} = \frac{1}{100} \quad \text{и} \quad \frac{h}{l} = \frac{1}{10}.$$

Таблица *B*.

$\frac{1}{V^2}$	$W^2$	$k^2$ $W^2 V^2 = k^2$	Опасныя напр.	$\frac{1}{V^2}$	$W^2$	$k^2$ $W^2 V^2 = k^2$	Опасныя напр.
			при $\frac{B_2}{B_1} = \frac{1}{100}$ " $\frac{h}{l} = \frac{1}{10}$ $E = 2 \cdot 10^6$ klg. кв. см.				при $\frac{B_2}{B_1} = \frac{1}{100}$ " $\frac{h}{l} = \frac{1}{10}$ $E = 2 \cdot 10^6$ klg. кв. см.
0,1	1563	15630	1980	14	2112	151	2300
1	1598	1598	2000	16	2191	138	2345
2	1638	819	2025	20	2349	117	2425
4	1717	429	2070	24	2507	104	2505
6	1795	299	2120	28	2664	95,2	2580
8	1874	234	2165	32	2822	88,2	
10	1954	195	2210	36	2980	82,8	2730
12	2033	169	2255	40	3138	78,5	2800

## Случай изгиба балки эксцентрично приложенными сжимающими силами.

§ 7. Рассмотрим теперь случай балки, сжимаемой двумя взаимно противоположными силами, линия дѣйствія которыхъ параллельна оси балки и лежитъ въ срединной плоскости вертикальной стѣнки балки. Общее расположеніе видно изъ чертежа (16).



Черт. 16.

Прикладывая къ центрамъ тяжести концевыхъ поперечныхъ сѣченій по двѣ взаимно противоположныя силы, равныя и параллельныя силамъ  $P$ , мы приведемъ систему внѣшнихъ силъ къ двумъ парамъ силъ съ моментами

$$M = Pa$$

и къ двумъ силамъ  $P$ , дѣйствующимъ по оси балки и отжимающимъ ее.

При опредѣленіи величины критическаго момента будемъ идти прежнимъ путемъ и начнемъ съ вычисленія  $M_z$ ,  $M_y$ ,  $M_x$ , соответствующихъ взятому нами поперечному сѣченію съ абсциссой  $x$ .

Составляющія этихъ моментовъ, получающіяся отъ пары силъ съ моментомъ  $M$ , мы можемъ взять изъ перваго разсмотрѣннаго нами случая (см. (1). § 5).

Что касается моментовъ, получающихся отъ продольной силы, дѣйствующей по оси  $X^0$ , то предварительно состав-

вимъ ихъ въ общемъ видѣ и потомъ уже отбросимъ малые члены

$$\begin{aligned} M_{\xi} &= P_{\eta} \zeta - P_{\zeta} \eta \\ M_{\eta} &= P_{\zeta} \xi - P_{\xi} \zeta \\ M_{\zeta} &= P_{\xi} \eta - P_{\eta} \xi \end{aligned} \quad \dots \dots \dots (1)$$

Проекціи дѣйствующей силы  $P$  на оси  $\xi$ ,  $\eta$ ,  $\zeta$  при маломъ  $\varphi$  очевидно будутъ

$$\begin{aligned} P_{\xi} &= P \\ P_{\eta} &= -P \frac{dy}{dx} \\ P_{\zeta} &= -P \frac{dz}{dx} \end{aligned} \quad \dots \dots \dots (2)$$

Координаты точки приложенія силы  $P$  относительно тѣхъ же осей будутъ

$$\begin{aligned} \xi &= -x - y \frac{dy}{dx} - z \frac{dz}{dx} \\ \eta &= x \frac{dy}{dx} - y - z \varphi \\ \zeta &= x \frac{dz}{dx} + y \varphi - z \end{aligned} \quad \dots \dots \dots (3)$$

Подставляя (2) и (3) въ выраженія (1) для моментовъ и отбрасывая малые величины второго порядка, мы получимъ

$$\begin{aligned} M_{\xi} &= 0 \\ M_{\eta} &= Pz \\ M_{\zeta} &= Py \end{aligned} \quad \dots \dots \dots (4)$$

Присоединяя сюда моменты отъ пары силъ, получимъ систему уравненій

$$\begin{aligned} M \frac{dy}{dx} &= C \varphi' - \frac{Dh^2}{2} \varphi''' \\ M + Pz &= -B_1 \frac{d^2 z}{dx^2} \\ M \varphi + Py &= -B_2 \frac{d^2 y}{dx^2} \end{aligned} \quad \dots \dots \dots (5)$$

Для большей ясности начнемъ съ разсмотрѣнія того частнаго случая, когда балка состоитъ изъ одной вертикальной стѣнки и слѣдовательно  $D=0$ .



Уравнения первое и третье системы (5) переписутся такимъ образомъ.

$$My' = C\varphi'$$

$$M\varphi + Py = -B_2 y''$$

исключая изъ нихъ  $y$ , будемъ имѣть

$$\varphi''' + \left( \frac{M^2}{B_2 C} + \frac{P}{B_2} \right) \varphi' = 0 \dots \dots \dots (6)$$

Для  $\varphi'$  можно сразу написать рѣшеніе

$$\varphi' = A \sin \alpha x + B \cos \alpha x$$

гдѣ

$$\alpha = + \sqrt{\frac{M^2}{B_2 C} + \frac{P}{B_2}}$$

$$\varphi = -\frac{A}{\alpha} \cos \alpha x + \frac{B}{\alpha} \sin \alpha x + C.$$

Для опредѣленія произвольныхъ постоянныхъ воспользуемся условіями на концахъ балки. Положимъ, что опоры устроены такимъ образомъ, что не допускаютъ вращенія вокругъ оси  $X$ -овъ. Вокругъ осей  $Y$  и  $Z$  вращеніе можетъ происходить свободно. Тогда будемъ имѣть

$$I) \varphi = 0 \text{ при } x=0 \text{ и } II) \varphi = 0 \text{ при } x=l$$

откуда получаемъ

$$C = \frac{A}{\alpha} \text{ и } \frac{A}{\alpha} (1 - \cos \alpha l) + \frac{B}{\alpha} \sin \alpha l = 0 \quad (a)$$

Изъ условія симметріи слѣдуетъ, что

$$\varphi'_0 = \pm \varphi'_l$$

слѣдовательно

$$B = \pm (A \sin \alpha l + B \cos \alpha l) \dots \dots \dots (b)$$

Изъ условій (a) и (b) заключаемъ, что

$$A = 0 \text{ и } \cos \alpha l = \pm 1$$

откуда

$$\alpha l = m\pi.$$

Уголъ поворота любого поперечнаго сѣченія будетъ

$$\varphi = \frac{B}{\alpha} \sin \alpha x \dots \dots \dots (7)$$



нію съ другой  $\delta$ . Въ такомъ случаѣ на основаніи § 3 мы можемъ написать

$$C = \frac{1}{3} \cdot b \cdot \delta^3 \cdot G$$

гдѣ  $G$  модуль упругости при сдвигѣ

Если положимъ эксцентриситетъ  $a$  равнымъ  $m\delta$ , то формула (10) переписнется такимъ образомъ

$$\frac{P}{B_2} \left( 1 + \frac{m^2}{3} \cdot \frac{R}{G} \right) = \frac{\pi^2}{l^2}$$

гдѣ  $R$  напряженіе матеріала отъ сжатія. Такъ какъ  $R$  обыкновенно очень мало по сравненію съ  $G$ , то вліяніе малыхъ эксцентриситетовъ на величину критической нагрузки ничтожно.

Разсмотримъ теперь другой крайній случай, именно будемъ увеличивать плечо силы  $a$  до бесконечности, величину же силы безпредѣльно уменьшать такимъ образомъ, чтобы моментъ сохранялъ конечную величину, тогда формула (9) намъ дастъ

$$M = \frac{\pi \sqrt{B_2 C}}{l}$$

т. е. какъ разъ то же самое, что мы имѣли въ первомъ разобранномъ нами случаѣ [см. § 5 (16)].

Познакомившись на этомъ частномъ примѣрѣ съ сущностью явленія, перейдемъ къ случаю двутавровой балки, т. е. къ случаю когда  $D$  въ уравн. (5) отлично отъ нуля.

Исключая изъ перваго и третьяго уравненій системы (5)  $y$ , получимъ для опредѣленія  $\varphi$  слѣдующее уравненіе.

$$\varphi^v - \left( \frac{2C}{Dh^2} - \frac{P}{B_2} \right) \varphi''' - \left( \frac{2M^2}{B_2 Dh^2} + \frac{2PC}{B_2 Dh^2} \right) \varphi' = 0 \quad \dots \quad (11)$$

или, введя обозначенія

$$\frac{1}{a_1^2} = \frac{2C}{Dh^2} - \frac{P}{B_2}; \quad \frac{1}{d_1^4} = \frac{2M^2}{B_2 Dh^2} + \frac{2PC}{B_2 Dh^2}$$

будемъ имѣть

$$\varphi^v - \frac{1}{a_1^2} \varphi''' - \frac{1}{d_1^4} \varphi' = 0.$$

Для  $\varphi'$  можно написать сразу рѣшеніе

$$\varphi' = A_1 \sin \alpha x + B_1 \cos \alpha x + C_1 e^{\beta x} + D_1 e^{-\beta x}$$

гдѣ

$$\alpha = \left[ \sqrt{-\frac{1}{2a_1^2} + \sqrt{\left(\frac{1}{2a_1^2}\right)^2 + \frac{1}{d_1^4}} \right];$$

$$\beta = \left[ \sqrt{\frac{1}{2a_1^2} + \sqrt{\left(\frac{1}{2a_1^2}\right)^2 + \frac{1}{d_1^4}} \right].$$

Интегрированіемъ получаемъ

$$\varphi = A \sin \alpha x + B \cos \alpha x + C e^{\beta x} + D e^{-\beta x} + E \dots (12)$$

Условія на концахъ балки будутъ слѣдующія

$$\text{I, II) } \varphi = 0 \text{ при } x = 0 \text{ и при } x = l$$

$$\text{III, IV) } \varphi'' = 0 \text{ при } x = 0 \text{ и при } x = l.$$

На основаніи условій I) и III) будемъ имѣть

$$\begin{aligned} B + C + D + E &= 0 \\ -B\alpha^2 + C\beta^2 + D\beta^2 &= 0 \end{aligned} \dots (a)$$

Условія II) и IV) дадутъ намъ

$$\begin{aligned} A \sin \alpha l + B \cos \alpha l + C e^{\beta l} + D e^{-\beta l} + E &= 0 \\ -A \frac{\alpha^2}{\beta^2} \sin \alpha l - B \frac{\alpha^2}{\beta^2} \cos \alpha l + C e^{\beta l} + D e^{-\beta l} &= 0 \end{aligned} \dots (b)$$

Вычитая второе изъ перваго, будемъ имѣть

$$A \left(1 + \frac{\alpha^2}{\beta^2}\right) \sin \alpha l + B \left(1 + \frac{\alpha^2}{\beta^2}\right) \cos \alpha l + E = 0.$$

Мы удовлетворимъ написаннымъ условіямъ и условію симметріи, если положимъ

$$B = C = D = E = 0 \text{ и } \sin \alpha l = 0.$$

тогда для угла поворота будемъ имѣть

$$\varphi = A \sin \alpha x.$$

Первая искривленная форма изгиба становится возможной при

$$\alpha l = \pi.$$

Разсмотримъ два предѣльныхъ случая.

I случай. Сжимающая сила бесконечно мала, но плечо силы велико и изгибающій моментъ  $M$  есть величина конечная. Въ основномъ уравненіи (11) придется  $P$  положить равнымъ нулю и тогда уравненіе будетъ тождественно съ разобраннымъ нами уравненіемъ (4) § 5.

II случай. Плечо силы уменьшается и въ предѣлѣ точка приложенія силы совпадаетъ съ центромъ концевое поперечнаго сѣченія. Въ уравненіи (11) въ такомъ случаѣ нужно положить  $M=0$  и оно переписется тогда въ такомъ видѣ.

$$\varphi'' - \left( \frac{2C}{Dh^2} - \frac{P}{B_2} \right) \varphi''' - \frac{2PC}{B_2 Dh^2} \varphi' = 0.$$

Въ данномъ случаѣ

$$\alpha^2 = \sqrt{\left( \frac{1}{2a_1} \right)^2 + \frac{1}{d_1^4}} - \frac{1}{2a_1^2} = \frac{P}{B_2}$$

Слѣдовательно первая искривленная форма изгиба наступитъ, когда

$$\alpha^2 = \frac{P}{B_2} = \frac{\pi^2}{l^2}$$

т. е. когда

$$P = \frac{\pi^2 B_2}{l^2}.$$

Такимъ образомъ мы опять пришли къ извѣстной формулѣ продольнаго изгиба.

### Случай изгиба балки эксцентрично приложенными растягивающими силами.

§ 8. Въ этомъ случаѣ въ уравненіяхъ предыдущаго параграфа вмѣсто  $P$  вездѣ придется подставить  $-P$ . Уравненіе (6) § 7 выведенное нами для случая балки, состоящей изъ одной вертикальной стѣнки, переписется такъ

$$\varphi''' + \left( \frac{M^2}{B_2 C} - \frac{P}{B_2} \right) \varphi' = 0 \dots \dots \dots (1)$$

Здѣсь придется разсмѣрять два различныхъ случая.

1) Случай

$$\frac{M^2}{B_2 C} > \frac{P}{B_2}$$

коэффициентъ при  $\varphi'$  будетъ величиной положительной, а слѣдовательно  $\varphi'$  и  $\varphi$  выразятся черезъ тригонометрическія  $\Phi - i\eta$

Полагая

$$\alpha = + \sqrt{\frac{M^2}{B_2 C} - \frac{P}{B_2}}$$

будемъ имѣть

$$\varphi = A \sin \alpha x.$$

Величина момента  $M_k$ , при которой становится возможной первая искривленная форма изгиба, опредѣлится изъ уравненія:

$$\frac{M^2}{B_2 C} - \frac{P}{B_2} = \frac{\pi^2}{l^2} \cdot \dots \cdot \dots \cdot \dots \cdot \dots \quad (2)$$

Изъ этого уравненія видно, что всякая растягивающая сила увеличиваетъ величину критическаго изгибающаго момента, тогда какъ сжимающія силы уменьшаютъ его. Увеличивая плечо силы безпредѣльно, мы придемъ къ формулѣ (16) изгиба балки парами силъ.

2) Случай

$$\frac{P}{B_2} > \frac{M^2}{B_2 C}$$

полагая

$$\sqrt{\frac{P}{B_2} - \frac{M^2}{B_2 C}} = \beta$$

будемъ имѣть

$$\varphi = A e^{\beta x} + B e^{-\beta x} + C.$$

Чтобы удовлетворить условіямъ на концахъ необходимо положить

$$A = B = C = 0.$$

Слѣдовательно въ данномъ случаѣ возможна только форма плоскаго изгиба.

Дѣлая  $M = 0$ , получимъ случай простаго растяженія.

При

$$\frac{P}{B_2} = \frac{M^2}{B_2 C}$$

уравненіе (1) перепишется такъ:

$$\varphi''' = 0$$

$$\varphi' = Ax + B; \quad \varphi = \frac{Ax^2}{2} + Bx + C.$$

Чтобы удовлетворить условіямъ на концахъ придется положить

$$A = B = C = 0,$$

т. е. и въ данномъ случаѣ возможна только форма плоскаго изгиба.

Уравненіе, соотвѣтствующее двутавровой балкѣ, напишется для случаѣ растягивающихъ силъ такъ:

$$\varphi'' - \left( \frac{2C}{Dh^2} + \frac{P}{B_2} \right) \varphi''' - \left( \frac{2M^2}{B_2 Dh^2} - \frac{2PC}{B_2 Dh^2} \right) \varphi' = 0.$$

Подробно разбирать это уравненіе не будемъ, такъ какъ оно не даетъ ничего новаго; замѣтимъ только, что пока

$$\frac{2M^2}{B_2 Dh^2} - \frac{2PC}{B_2 Dh^2} > 0$$

возможны будутъ искривленныя формы изгиба. При

$$\frac{2M^2}{B_2 Dh^2} - \frac{2PC}{B_2 Dh^2} < 0$$

плоскій изгибъ является единственной возможной формой равновѣсія.

## Вліяніе первоначальной кривизны оси балки.

§ 9. До сихъ поръ мы предполагали, что ось балки совершенно прямая и что плоскость изгибающихъ моментовъ точно совпадаетъ съ срединной плоскостью стѣнки балки. Посмотримъ, какія измѣненія внесетъ въ изучаемое нами явленіе незначительная первоначальная кривизна оси балки въ плоскости  $XU$ . Для простоты положимъ, что ось въ этомъ направленіи согнута по кругу радіуса  $R$ .

Если балка изгибается парами силъ, приложенными такъ, какъ въ случаѣ § 5, то основныя уравненія напишутся такимъ образомъ

$$M_z = My' = C\varphi' - \frac{Dh^2}{2} \varphi''' \quad \dots \quad (1)$$

$$M_z = M\varphi = -B_2 \left( y'' - \frac{1}{R} \right)$$

Исключая изъ нихъ неизвѣстное  $y$ , будемъ имѣть

$$-M \left( \frac{M\varphi}{B_2} + \frac{1}{R} \right) = C\varphi' - \frac{Dh^2}{2} \varphi'''$$

или, вводя прежнія наши обозначенія:

$$\varphi''' - \frac{1}{a^2} \varphi' - \frac{1}{d^4} \varphi = \frac{1}{d^4} \frac{B_2}{MR} \quad \dots \quad (2)$$

Частное рѣшеніе этого уравненія будетъ

$$\varphi = -\frac{B_2}{MR} \quad \dots \quad (3)$$

Замѣтимъ, что величина  $\frac{B_2}{MR}$  будетъ малой, такъ какъ  $\frac{B_2}{R}$  есть ничто иное, какъ величина момента  $M_1$ , который могъ бы первоначально прямой оси балки придать кривизну  $\frac{1}{R}$ . Такъ какъ мы считаемъ первоначальную кривизну малой и  $B_2$  мало по сравнению съ  $B_1$ , то и  $M_1$  будетъ мало по сравнению съ  $M$  и слѣдовательно величина  $\varphi$ , опредѣляемая изъ (3) будетъ малой.

Полный интегралъ уравненія (2) будетъ

$$\varphi = A \sin \alpha x + B \cos \alpha x + C e^{\beta x} + D e^{-\beta x} - \frac{M_1}{M} \quad \dots \quad (4)$$

Условія на концахъ дадутъ намъ слѣдующія уравненія для опредѣленія произвольныхъ постоянныхъ

$$B + C + D - \gamma = 0$$

$$-B\alpha^2 + C\beta^2 + D\beta^2 = 0$$

$$A \sin \alpha l + B \cos \alpha l + C e^{\beta l} + D e^{-\beta l} - \gamma = 0 \quad \dots \quad (5)$$

$$-A \alpha^2 \sin \alpha l - B \alpha^2 \cos \alpha l + C \beta^2 e^{\beta l} + D \beta^2 e^{-\beta l} = 0$$

Въ этихъ уравненіяхъ черезъ  $\gamma$  названа малая величина  $\frac{M_1}{M}$ .



Рѣшая уравненія (5) относительно произвольныхъ постоянныхъ, получимъ

$$A = \frac{\beta^2}{\alpha^2 + \beta^2} \gamma \operatorname{tg} \frac{\alpha l}{2}$$

$$B = \frac{\beta^2 \gamma}{\alpha^2 + \beta^2}$$

$$C = \frac{\alpha^2}{\alpha^2 + \beta^2} \gamma \frac{1}{1 + e^{\beta l}}$$

$$D = \frac{\alpha^2}{\alpha^2 + \beta^2} \gamma \frac{1}{1 + e^{-\beta l}}$$

Подставляя ихъ въ общій интегралъ (4) будемъ имѣть

$$\varphi = \frac{\gamma \beta^2}{\alpha^2 + \beta^2} \left( \operatorname{tg} \frac{\alpha l}{2} \sin \alpha x + \cos \alpha x \right) + \frac{\gamma \alpha^2}{\alpha^2 + \beta^2} \left( \frac{e^{\beta x}}{1 + e^{\beta x}} + \frac{e^{-\beta x}}{1 + e^{-\beta l}} \right) - \gamma (6)$$

Такъ какъ уравненія (5) допускаютъ для произвольныхъ постоянныхъ вполне опредѣленные рѣшенія при всякомъ изгибающемъ моментѣ, то слѣдовательно отдѣльные поперечныя сѣченія начинаютъ поворачиваться и балка искривляется при самыхъ малыхъ нагрузкахъ. Мы не будемъ подробно разсматривать законъ, по которому идетъ измѣненіе  $\varphi$ , замѣтимъ только, что сначала возрастаніе угловъ поворота и искривленіе балки идетъ медленно, но съ приближеніемъ изгибающаго момента къ вычисленному нами для прямой балки критическому значенію  $M_k$  измѣненія формы дѣлаются сразу весьма значительными. Это можно показать на основаніи формулы (6). Когда изгибающій моментъ по величинѣ близокъ къ критическому, величина  $\gamma$  будетъ мала, множители

$$\frac{\alpha^2}{\alpha^2 + \beta^2} < \frac{1}{2} \quad \frac{e^{\beta x}}{1 + e^{\beta l}} + \frac{e^{-\beta x}}{1 + e^{-\beta l}} < 1$$

Слѣдовательно намъ нужно разобрать только первое слагаемое.

$$\varphi_1 = \frac{\gamma \beta^2}{\alpha^2 + \beta^2} \left( \operatorname{tg} \frac{\alpha l}{2} \sin \alpha x + \cos \alpha x \right).$$

Наибольшаго значенія эта величина достигаетъ при  $x = \frac{l}{2}$ .

Въ этомъ случаѣ  $\varphi_1$  можно представить такимъ образомъ

$$\varphi_1 = \frac{\gamma \beta^2}{\alpha^2 + \beta^2} \cdot \frac{1}{\cos \frac{\alpha l}{2}}$$

Такъ какъ

$$\frac{\beta^2}{\alpha^2 + \beta^2} \text{ всегда } < 1,$$

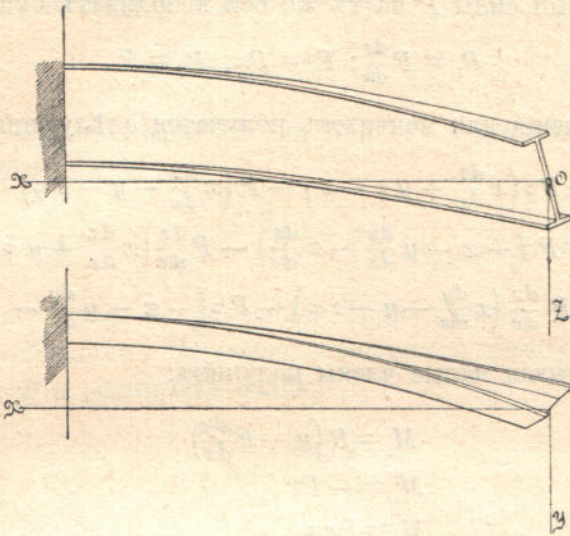
то быстрое возрастаніе начнется тогда, когда  $\cos \frac{al}{2}$  будетъ приближаться къ нулю, а значить  $al$  къ величинѣ  $\pi$ , т. е. къ величинѣ, опредѣляющей критическій изгибающій моментъ въ случаѣ балки съ прямолинейной осью.

Случай, когда ось балки прямая, но плоскость изгибающаго момента не совпадаетъ съ срединной плоскостью вертикальной стѣнки, легко можно привести къ только что разобранному. Положимъ, что плоскость изгибающей пары  $M$  проходитъ черезъ ось балки, и составляетъ малый уголъ  $\varphi_0$  съ вертикальной плоскостью. Разложимъ моментъ  $M$  на составляющіе  $M_1$ , дѣйствующій въ плоскости стѣнки балки, и  $M_2$  въ плоскости ей перпендикулярной. Тогда отношеніе  $\frac{M_2}{M_1}$  будетъ играть ту же роль, что  $\gamma$  въ предыдущемъ случаѣ и слѣдовательно при малыхъ углахъ наклоненія  $\varphi_0$  искривленіе оси балки начнетъ быстро расти съ приближеніемъ  $M_1$  къ величинѣ критическаго изгибающаго момента.

### Изгибъ балки сосредоточенной нагрузкой, приложенной на концѣ.

§ 10. изслѣдованіе вопроса объ устойчивости плоской формы изгиба балокъ въ случаѣ дѣйствія сосредоточенныхъ поперечныхъ нагрузокъ мы начнемъ съ балки однимъ концомъ задѣланной неподвижно. Стѣнка балки лежитъ въ вертикальной плоскости и ось ея горизонтальна. Сосредоточенная нагрузка  $P$  приложена къ центру тяжести свободнаго концевое поперечнаго сѣченія и направлена вертикально внизъ. Подъ дѣйствіемъ силы  $P$  балка изогнется и при нашемъ способѣ задѣлки изгибъ будетъ происходить въ вертикальной плоскости, такъ какъ направленіе дѣйствующей силы совпадаетъ съ одной изъ главныхъ осей инерціи поперечнаго сѣченія балки. Теперь задача наша сво-

дится къ тому, чтобы опредѣлить, при какомъ значеніи силы  $P$  плоская форма перестаетъ быть устойчивой. Примѣняя прежній методъ изслѣдованія допустимъ, что при нѣкоторомъ значеніи изгибающей силы балка приняла искривленную форму изгиба, представленную на черт. 17.



Черт. 17.

Помѣстимъ начало координатъ въ точкѣ приложенія силы  $P$ . Ось  $X$ -овъ направимъ параллельно первоначальному положенію оси балки, ось  $Z$ -овъ направлена вертикально внизъ, а ось  $Y$ -овъ перпендикулярна плоскости  $ZX$  и направлена въ сторону закручиванья балки, какъ это показано на нашемъ чертежѣ.

Возьмемъ теперъ какое нибудь поперечное сѣченіе балки съ абсциссой  $x$  и построимъ для него систему координатъ  $\gamma, \eta, \zeta$  совершенно такъ же, какъ мы это дѣлали въ ранѣе нами разобранныхъ случаяхъ. Моменты  $M_\xi, M_\eta, M_\zeta$  составимъ въ общемъ видѣ и потомъ уже отбросимъ малые члены. Координаты точки приложенія силы  $P$  относительно осей  $\xi, \eta, \zeta$  при малыхъ углахъ поворота  $\varphi$  на основаніи таблицы косинусовъ (§ 4) представятся такимъ образомъ:

$$\begin{aligned}\xi &= -x - y \frac{dy}{dx} - z \frac{dz}{dx} \\ \eta &= x \frac{dy}{dx} - y - z \varphi \dots \dots \dots (1) \\ \zeta &= x \frac{dz}{dx} + y \varphi - z\end{aligned}$$

Проекція силы  $P$  на тѣ же оси координатъ будутъ

$$P_{\xi} = P \frac{dz}{dx}; P_{\eta} = P \varphi; P_{\zeta} = P \dots \dots \dots (2)$$

Выраженія для моментовъ получатся слѣдующія

$$\begin{aligned}M_{\xi} &= P \varphi \left( x \frac{dz}{dx} + y \varphi - z \right) - P \left( x \frac{dy}{dx} - y - z \varphi \right) \\ M_{\eta} &= P \left( -x - y \frac{dy}{dx} - z \frac{dz}{dx} \right) - P \frac{dz}{dx} \left( x \frac{dz}{dx} + y \varphi - z \right) \\ M_{\zeta} &= P \frac{dz}{dx} \left( x \frac{dy}{dx} - y - z \varphi \right) - P \varphi \left( -x - y \frac{dy}{dx} - z \frac{dz}{dx} \right)\end{aligned} \quad (3)$$

Отбрасывая малые члены получимъ:

$$\begin{aligned}M_{\xi} &= P \left( y - x \frac{dy}{dx} \right) \\ M_{\eta} &= -Px \dots \dots \dots (4) \\ M_{\zeta} &= Px \varphi\end{aligned}$$

Пользуясь основными уравненіями равновѣсія (§ 4) и выбирая соответствующимъ образомъ знаки, можемъ написать:

$$\begin{aligned}P \left( x \frac{dy}{dx} - y \right) &= -C \varphi' + \frac{Dh^2}{2} \varphi''' \\ B_2 \frac{d^2 y}{dx^2} &= Px \varphi \dots \dots \dots (5) \\ B_1 \frac{d^2 z}{dx^2} &= Px\end{aligned}$$

Исключая изъ нихъ неизвѣстныя  $y$  и  $z$ , будемъ имѣть для опредѣленія  $\varphi$  слѣдующее уравненіе:

$$\frac{P^2 x^2}{B_2} \varphi = -C \varphi'' + \frac{Dh^2}{2} \varphi^{iv} \dots \dots \dots (6)$$

Проф. L. Prandtl въ своей работѣ <sup>1)</sup> имѣлъ въ виду изгибъ тонкихъ пластинокъ и потому могъ пренебречь изги-

<sup>1)</sup> См. § 1.

бомъ полокъ, который при кручении является слѣдствіемъ неподвижнаго закрѣпленія конца балки. Чтобы изъ нашего общаго уравненія (6) получить этотъ частный случай, стоитъ только положить

$$D=0.$$

Для опредѣленія  $\varphi$  будемъ имѣть

$$\varphi'' + \frac{P^2}{B_2 C} x^2 \varphi = 0 \dots \dots \dots (6')$$

Уравненіе это рѣшается въ Bessel'я функціяхъ и интеграль его будетъ

$$\varphi = \sqrt{x} \left\{ A_1 J_{\frac{1}{4}} \left( \frac{Px^2}{2\sqrt{BC}} \right) + A_2 J_{-\frac{1}{4}} \left( \frac{Px^2}{2\sqrt{BC}} \right) \right\}$$

Для того чтобы искривленная форма изгиба была возможна, необходима слѣдующая зависимость между величиной силы  $P$  и размѣрами балки:

$$\frac{P^2}{\sqrt{B_2 C}} = 4,013 \dots \dots \dots (7)$$

Зависимость (7). опредѣлена L. Prandtl'емъ и соответствуетъ первой возможной искривленной формѣ изгиба. Увеличивая непрерывно  $P$ , возможно получить цѣлый рядъ искривленныхъ формъ, какъ въ случаѣ изгиба парами силъ, но эти формы не имѣютъ особаго практическаго интереса.

Переходя къ случаю двутавровой балки, можно сказать заранее, что благодаря большей жесткости балка будетъ устойчивѣе и потому въ выраженіи зависимости между силой  $P$  и размѣрами балки мы должны получить число большее нежели 4,013. Разность между нашими результатами и результатами L. Prandtl'я очевидно будетъ тѣмъ большая, чѣмъ значительнѣе вліяніе оказываютъ полки, т. е. чѣмъ больше  $D$  и чѣмъ меньше длина балки  $l$ .

Вычислить вліяніе полокъ очевидно можно будетъ только найдя интеграль уравненія (6). Намъ неизвѣстно рѣшеніе этого уравненія въ замкнутой формѣ и потому мы попробуемъ найти его, пользуясь бозконечными рядами.

Для упрощенія выкладокъ введемъ такія обозначенія:

$$\frac{2C}{Dh^2} = \frac{1}{a^2}, \quad \frac{2P^2}{DB_1h^2} = \frac{1}{b^6} \dots \dots \dots (8)$$

Не трудно видѣть, что введенныя нами величины  $a$  и  $b$  имѣютъ измѣреніе длины. Уравненіе (6) переписется тогда въ слѣдующемъ видѣ:

$$\varphi^{iv} - \frac{1}{a^2} \varphi'' - \frac{x^2}{b^6} \varphi = 0 \dots \dots \dots (9)$$

Общій интеграль его будемъ искать въ формѣ ряда

$$\varphi = A_0 + A_1 x + A_2 x^2 + A_3 x^3 + \dots \dots \dots (10)$$

и если этотъ рядъ будетъ сходящійся, то онъ и представитъ собой искомый интеграль нашего уравненія (9).

Для опредѣленія коэффициентовъ  $A_0, A_1, A_2, \dots$  подставляемъ выраженіе для  $\varphi$  въ ур-іе (9), и изъ сравненія коэффициентовъ получаемъ:

$$\begin{aligned} 4 \cdot 3 \cdot 2 \cdot 1 \cdot A_4 - \frac{1}{a^2} \cdot 2 \cdot 1 \cdot A_2 &= 0 \\ 5 \cdot 4 \cdot 3 \cdot 2 \cdot A_5 - \frac{1}{a^2} \cdot 3 \cdot 2 \cdot A_3 &= 0 \\ 6 \cdot 5 \cdot 4 \cdot 3 \cdot A_6 - \frac{1}{a^2} \cdot 4 \cdot 3 \cdot A_4 - \frac{1}{b^6} \cdot A_0 &= 0 \\ \dots \dots \dots & \\ n(n-1)(n-2)(n-3) \cdot A_n - \frac{1}{a^2} (n-2)(n-3) \cdot A_{n-2} - \\ &- \frac{1}{b^6} \cdot A_{n-6} = 0. \end{aligned}$$

Откуда получаемъ для опредѣленія коэффициентовъ такую формулу:

$$A_n = \frac{A_{n-2}}{n(n-1)a^2} + \frac{A_{n-6}}{n(n-1)(n-2)(n-3)b^6}$$

Пользуясь ею мы выразимъ коэффициенты ряда (10) черезъ величины  $A_0, A_1, A_2, A_3$ , которыя и будутъ произвольными постоянными полнаго интеграла нашего дифференціальнаго уравненія.

Въ результатѣ получимъ:

$$\varphi = A_0 (M) + A_1 x (N) + A_2 x^2 (Q) + A_3 x^3 (P) \dots \quad (11)$$

Здѣсь большими буквами  $M$ ,  $N$ ,  $Q$ ,  $P$  обозначены ряды, расположенные по возрастающимъ степенямъ  $x^2$ .

Мы здѣсь не выписываемъ этихъ рядовъ, такъ какъ въ дальнѣйшемъ пользуемся ими только въ преобразованномъ видѣ. При преобразованіяхъ для удобства вычисленія нами были выбраны аргументами величины, имѣющія измѣреніе отвлеченнаго числа. Величины эти слѣдующія:

$$\frac{x^2}{a^2} = \frac{x^2}{h^2} \cdot \frac{2C}{D} = \frac{1}{V_1^2} \dots \dots \dots (12)$$

$$\frac{x^6}{b^6} = \frac{x^6 \cdot 2I^2}{l^2 B_2 D} = W_1^2$$

Не трудно видѣть, что  $V_1^2$  и  $W_1^2$  суть отвлеченныя числа, вполнѣ опредѣленныя для каждаго поперечнаго сѣченія балки. Первое изъ нихъ зависитъ только отъ размѣра балки, и разъ балка задана, то оно можетъ быть вычислено. Что касается второго, то въ него входитъ также и величина дѣйствующей силы. Когда мы положимъ  $x$  равнымъ  $l$ , т. е. рассматриваемъ задѣланный конецъ балки, то значенія  $V_1$  и  $W_1$  совершенно совпадаютъ съ  $V$  и  $W$ , которыми мы пользовались въ случаѣ изгиба балки парами силъ. Въ дальнѣйшемъ намъ понадобятся значенія функцій  $(M)$ ,  $(N)$ ,  $(P)$  для  $x=l$  и потому мы ихъ выписываемъ ниже.

$$(M)_l = 1 + \frac{W^2}{6 \dots 3} + \frac{W^4}{12 \dots 9.6 \dots 3} + \frac{W^6}{18 \dots 15 \dots 12 \dots 9.6 \dots 3} + \dots \dots \dots *$$

$$+ \frac{1}{V^2} \left[ \frac{W^2}{8 \dots 3} + W^4 \left( \frac{1}{14 \dots 11 \dots 8 \dots 3} + \frac{1}{14 \dots 9.6 \dots 3} \right) + \right.$$

$$+ W^6 \left( \frac{1}{20 \dots 17 \dots 14 \dots 11 \dots 8 \dots 3} + \frac{1}{20 \dots 17.14 \dots 9.6 \dots 3} + \frac{1}{20 \dots 15 \dots 12 \dots 9 \dots 6 \dots 3} \right) \left. \right] + \dots$$

$$+ \frac{1}{V^4} \left[ \frac{W^2}{10 \dots 3} + W^4 \left( \frac{1}{16 \dots 13.10 \dots 3} + \frac{1}{16 \dots 11 \dots 8 \dots 3} + \frac{1}{16 \dots 9.6 \dots 3} \right) + \dots \right] +$$

$$+ \dots \dots \dots$$

1) Въ тѣхъ случаяхъ, когда имѣется рядъ множителей идущихъ въ порядкѣ чиселъ, для сокращенія будемъ писать только крайніе множители, замѣняя промежуточные точками.

Въ общемъ видѣ рядъ можетъ быть представленъ такъ:

$$(M)_l = \sum a_{mn} W^{2m} \cdot \frac{1}{V^{2n}}$$

гдѣ

$$m = 0, 1, 2 \dots, \quad n = 0, 1, 2 \dots$$

При чемъ

$$a_{00} = 1$$

$$a_{m0} = \frac{1 \cdot 2 \cdot 7 \cdot 8 \cdot 13 \cdot 14 \dots (6m-5)(6m-4)}{6m!}$$

$$a_{0n} = 0.$$

Далѣе,  $a_{mn}$  составляется изъ  $a_{m-1, n}$  и изъ  $a_{m, n-1}$  по формулѣ

$$a_{mn} = \frac{1}{(6m+2n-3)(6m+2n-2)(6m+2n-1)(6m+2n)} \cdot a_{m-1, n} +$$

$$+ \frac{1}{(6m+2n-1)(6m+2n)} \cdot a_{m, (n-1)}$$

Подобнымъ же образомъ составляются и два другіе ряда  $(N)_l$  и  $(P)_l$ .

$$(N)_l = 1 + \frac{W^2}{7 \dots 4} + \frac{W^4}{13 \dots 10 \cdot 7 \dots 4} + \frac{W^6}{19 \dots 16 \cdot 13 \dots 10 \cdot 7 \dots 4} + \dots$$

$$+ \frac{1}{V^2} \left[ \frac{W^2}{9 \dots 4} + W^4 \left( \frac{1}{15 \dots 12 \cdot 9 \dots 4} + \frac{1}{15 \dots 10 \cdot 7 \dots 4} \right) + \right.$$

$$+ W^6 \left( \frac{1}{21 \dots 18 \cdot 15 \dots 12 \cdot 9 \dots 4} + \frac{1}{21 \dots 18 \cdot 15 \dots 10 \cdot 7 \dots 4} + \frac{1}{21 \dots 16 \cdot 13 \dots 10 \cdot 7 \dots 4} \right) + \dots \left. \right] +$$

$$+ \frac{1}{V^4} \left[ \frac{W^2}{11 \dots 4} + W^4 \left( \frac{1}{17 \dots 14 \cdot 11 \dots 4} + \frac{1}{17 \dots 12 \cdot 9 \dots 4} + \frac{1}{17 \dots 10 \cdot 7 \dots 4} \right) + \dots \right] +$$

$$+ \frac{1}{V^6} \left[ \frac{W^2}{13 \dots 4} + \dots \right] +$$

$$+ \dots$$

$$(P)_l = 1 + \frac{W^2}{9 \dots 6} + \frac{W^4}{15 \dots 12 \cdot 9 \dots 6} + \frac{W^6}{21 \dots 18 \cdot 15 \dots 12 \cdot 9 \dots 6} + \dots$$

$$+ \frac{1}{V^2} \left[ \frac{1}{5 \cdot 4} + W^2 \left( \frac{1}{11 \dots 8 \cdot 5 \cdot 4} + \frac{1}{11 \dots 6} \right) + \right.$$

$$+ W^4 \left( \frac{1}{17 \dots 14 \cdot 11 \dots 8 \cdot 5 \cdot 4} + \frac{1}{17 \dots 14 \cdot 11 \dots 6} + \frac{1}{17 \dots 12 \cdot 9 \dots 6} \right) + \dots \left. \right] +$$

$$+ \frac{1}{V^4} \left[ \frac{1}{7 \dots 4} + W^2 \left( \frac{1}{13 \dots 10 \cdot 7 \dots 4} + \frac{1}{13 \dots 8 \cdot 5 \cdot 4} + \frac{1}{13 \dots 6} \right) + \dots \right] +$$

$$+ \frac{1}{V^6} \left[ \frac{1}{9 \dots 4} + \dots \right] +$$

$$+ \dots$$



На основаніи приведеннаго не трудно себѣ выяснить законъ образованія послѣдовательныхъ членовъ каждаго ряда и показать, что ряды сходящіеся. При малыхъ значеніяхъ  $\frac{1}{V^2}$  и  $W^2$  приходится вычислять очень немного членовъ, чтобы получить достаточную точность, съ возрастаніемъ же  $\frac{1}{V^2}$  и  $W^2$  вычисленіе  $(M)_l$ ,  $(N)_l$ , и  $(P)_l$  дѣлается все затруднительнѣе.

Въ дальнѣйшемъ намъ понадобится также значеніе  $\varphi'$ . Мы его можемъ получить непосредственнымъ дифференцированіемъ выраженія (11).

$$\varphi' = \frac{1}{x} A_0 (R) + A_1 (S) + A_2 x (U) + A_3 x^2 (T).$$

Буквами  $(R) \dots (T)$  обозначены ряды расположенные по восходящимъ степенямъ  $x^2$ . Намъ въ дальнѣйшемъ понадобятся численныя значенія  $(R)$ ,  $(S)$ ,  $(T)$  при  $x = l$  и потому мы ниже даемъ выраженія для нихъ, преобразованныя на основаніи обозначеній (12).

$$\begin{aligned} (R)_l = & \frac{W^2}{5.4.3} + \frac{W^4}{11.10.9.6\dots 3} + \frac{W^6}{17.16.15.12\dots 9.6\dots 3} + \dots \\ & + \frac{1}{V^2} \left[ \frac{W^2}{7\dots 3} + W^4 \left( \frac{1}{13.12.11.8\dots 3} + \frac{1}{13\dots 9.6\dots 3} \right) + \right. \\ & + W^6 \left( \frac{1}{19.18.17.14\dots 11.8\dots 3} + \frac{1}{19.18.17.14\dots 9.6\dots 3} + \frac{1}{19\dots 15.12.9.6\dots 3} \right) + \dots \left. \right] + \\ & + \frac{1}{V^4} \left[ \frac{W^2}{9\dots 3} + W^4 \left( \frac{1}{15.14.13.10\dots 3} + \frac{1}{15\dots 11.8\dots 3} + \frac{1}{15\dots 9.6\dots 3} \right) + \dots \right] + \\ & + \frac{1}{V^6} \left[ \frac{W^2}{11\dots 3} + \dots \right] + \\ & + \dots \end{aligned}$$

$$\begin{aligned} (S)_l = & 1 + \frac{W^2}{6.5.4} + \frac{W^4}{12.11.10.7\dots 4} + \frac{W^6}{18.17.16.13\dots 10.7\dots 4} + \dots \\ & + \frac{1}{V^2} \left[ \frac{W^2}{8\dots 4} + W^4 \left( \frac{1}{14.13.12.9\dots 4} + \frac{1}{14\dots 10.7\dots 4} \right) + \right. \\ & + W^6 \left( \frac{1}{20.19.18.15\dots 12.9\dots 4} + \frac{1}{20.19.18.15\dots 10.7\dots 4} + \frac{1}{20\dots 16.13\dots 10.7\dots 4} \right) + \dots \left. \right] + \\ & + \frac{1}{V^4} \left[ \frac{W^2}{10\dots 4} + W^4 \left( \frac{1}{16.15.14.11\dots 4} + \frac{1}{16\dots 12.9\dots 4} + \frac{1}{16\dots 10.7\dots 4} \right) + \dots \right] + \\ & + \frac{1}{V^6} \left[ \frac{W^2}{12\dots 4} + \dots \right] + \\ & + \dots \end{aligned}$$

$$\begin{aligned}
 (T)_l = & 3 + \frac{W^2}{8 \cdot 7 \cdot 6} + \frac{W^4}{14 \cdot 13 \cdot 12 \cdot 9 \dots 6} + \frac{W^6}{20 \cdot 19 \cdot 18 \cdot 15 \dots 12 \cdot 9 \dots 6} + \dots \\
 & + \frac{1}{V^2} \left[ \frac{1}{4} + W^2 \left( \frac{1}{10 \cdot 9 \cdot 8 \cdot 5 \cdot 4} + \frac{1}{10 \cdot 6} \right) + \right. \\
 & \left. + W^4 \left( \frac{1}{16 \cdot 15 \cdot 14 \cdot 11 \dots 8 \cdot 5 \cdot 4} + \frac{1}{16 \cdot 15 \cdot 14 \cdot 11 \dots 6} + \frac{1}{16 \dots 12 \cdot 9 \dots 6} \right) + \dots \right] + \\
 & + \frac{1}{V^4} \left[ \frac{1}{6 \cdot 5 \cdot 4} + W^2 \left( \frac{1}{12 \cdot 11 \cdot 10 \cdot 7 \dots 4} + \frac{1}{12 \dots 8 \cdot 5 \cdot 4} + \frac{1}{12 \dots 6} \right) + \dots \right] + \\
 & + \frac{1}{V^6} \left[ \frac{1}{8 \cdot 7 \cdot 6 \cdot 5 \cdot 4} + \dots \right] + \dots
 \end{aligned}$$

Переходя къ общему интегралу (11) нашего уравненія постараемся опредѣлить произвольныя постоянныя въ зависимости отъ условій на концахъ балки. Назовемъ черезъ  $\varphi_0$ ,  $\varphi'_0$ ,  $\varphi''_0$ ,  $\varphi'''_0$  значенія угла поворота и послѣдовательныхъ производныхъ его на свободномъ концѣ балки, т. е. при  $x=0$ . Тогда не трудно на основаніи (11) показать, что

$$A_0 = \varphi_0; \quad A_1 = \varphi'_0; \quad A_2 = \frac{1}{2} \varphi''_0; \quad A_3 = \frac{1}{6} \varphi'''_0.$$

Такъ какъ мы полагаемъ, что къ свободному концу балки не приложено силъ, которыя сообщали бы полкамъ нѣкоторую начальную кривизну въ плоскости  $XU$ , то слѣдовательно  $\varphi''_0$  должно равняться нулю, откуда

$$I) \quad A_2 = 0$$

$\varphi'_0$  и  $\varphi'''_0$  не являются совершенно произвольными величинами, они связаны между собой условіемъ

$$II) \quad -C\varphi'_0 + \frac{D \cdot l^2}{2} \varphi'''_0 = 0$$

выражающимъ, то обстоятельство, что скручивающій моментъ на свободномъ концѣ балки равенъ нулю.

Въ заключеніе у насъ остается двѣ произвольныхъ постоянныхъ, для опредѣленія которыхъ мы воспользуемся условіями закрѣпленія задѣланнаго конца балки.

Такъ какъ поперечное сѣченіе, соответствующее плоскости задѣлки, не можетъ повернуться, то слѣдовательно

$$III) \quad \varphi_l = 0,$$

Касательныя къ изогнутымъ осямъ полокъ двутавровой балки у задѣланнаго конца будутъ перпендикулярны къ плоскости задѣлки и параллельны оси  $X$ -овъ. Слѣдовательно

$$IV) \quad \varphi'_l = 0.$$

Окончательно для опредѣленія произвольныхъ постоянныхъ мы будемъ имѣть два уравненія.

$$\begin{aligned} \varphi_0(M)_l + \varphi'_0(N)_l l + \frac{1}{6} \varphi'''_0(P)_l l^3 &= 0 \\ \frac{1}{l} \varphi_0(R)_l + \varphi'_0(S)_l + \frac{l^2}{6} \varphi'''_0(T)_l &= 0 \end{aligned} \quad \dots (13)$$

Если мы примемъ во вниманіе условіе II) и наши обозначенія (12), то условія (13) переписутся такимъ образомъ

$$\begin{aligned} \varphi_0(M)_l + \varphi'_0 l \left[ (N)_l + \frac{1}{6} \frac{1}{V^2} (P)_l \right] &= 0 \\ \varphi_0(R)_l + \varphi'_0 l \left[ (S)_l + \frac{1}{6} \frac{1}{V^2} (T)_l \right] &= 0 \end{aligned} \quad \dots (14)$$

Здѣсь  $(M)_l$ ,  $(N)_l$ , . . . обозначаютъ значенія  $\phi$ -ій  $(M)$ ,  $(N)$ ... при  $x = l$ .

Если мы положимъ

$$\varphi_0 = 0; \quad \varphi'_0 = 0,$$

то очевидно условія (14) будутъ выполнены, но въ такомъ случаѣ

$$\varphi = 0 \quad \text{и} \quad \frac{\partial^2 y}{\partial x^2} = 0,$$

т. е. мы будемъ имѣть плоскую форму изгиба. Для возможности искривленной формы изгиба необходимо, чтобы уравненія (14) допускали для  $\varphi_0$  и  $\varphi'_0$  рѣшенія отличныя отъ нуля. Слѣдовательно опредѣлитель уравненій (14) долженъ быть нулемъ

$$(M)_l \left[ (S)_l + \frac{1}{6} \frac{1}{V^2} (T)_l \right] - (R)_l \left[ (N)_l + \frac{1}{6} \frac{1}{V^2} (P)_l \right] = 0 \quad (15)$$

Полученное уравненіе даетъ намъ зависимость между величинами  $W^2$  и  $\frac{1}{V^2}$ , при которой становится возможной искривленная форма изгиба. Какъ мы видѣли раньше, величина

$\frac{1}{V^2}$  всегда может быть вычислена, если известны размеры балки и модуль упругости материала, в таком случае уравнение (15) даст нам соответствующую величину  $W^2$ , а следовательно и величину силы  $P$ , при которой возможно искривление балки. Называя  $W^2 V^2$  через  $k^2$ , мы на основании обозначений (12) будем иметь

$$\frac{P^2 l^4}{B_2 C} = k^2$$

или

$$Pl = \frac{k \sqrt{B_2 C}}{l} \dots \dots \dots (16)$$

формула аналогичная полученным нами раньше в случае изгиба балки парами силъ и совпадающая съ результатами Prandtля (7), если положить

$$k = 4,013.$$

Чтобы полученная нами формула имѣла практическое значеніе, необходимо составить таблицы, пользуясь которыми можно было бы легко по заданному значенію  $\frac{1}{V^2}$  опредѣлять величину  $W^2$ , а следовательно и коэффициентъ  $k$ . Въ противномъ случаѣ пришлось бы каждый разъ рѣшать уравненіе (15), что требуетъ большой работы.

Приступая къ составленію такой таблицы, необходимо себя прежде всего выяснитъ ту точность, съ которой должны быть опредѣлены числа этой таблицы. Какъ мы ниже увидимъ, наибольшія напряженія, соответствующія критическому значенію изгибающей силы, опредѣляются изъ формулы

$$R = \frac{1}{4} W \frac{B_2}{B_1} \left(\frac{h}{l}\right)^2 E \dots \dots \dots (17)$$

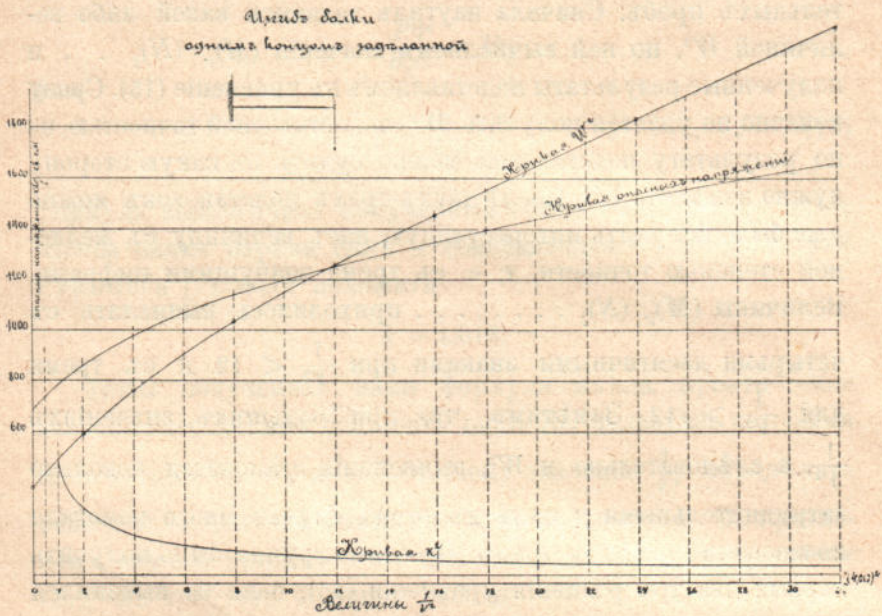
Поэтому, если мы при вычисленіи  $W^2$  достигнемъ точности въ 1%, то допущенная нами при этомъ погрѣшность измѣнить не болѣе, какъ на  $\frac{1}{2}\%$  величину опасныхъ напряженій. Такъ какъ другія величины, входящія въ формулу (17), обыкновенно известны намъ съ гораздо меньшей точностью, то ясно, что точность въ 1% при опредѣленіи

$W^2$  можно считать вполне достаточной. Нами при составлении таблицы  $W^2$  вездѣ вычислялось съ тремя значущими цифрами, т. е. съ значительно бѣльшей точностью, чѣмъ то нужно для практики.

Опредѣлять величину  $W^2$ , соотвѣтствующую какому либо опредѣленному значенію  $\frac{1}{V^2}$ , приходится путемъ послѣдовательныхъ пробъ. Сначала наугадъ задаемся какой либо величиной  $W^2$ , по ней вычисляемъ значенія  $(M)_p$ ,  $(N)_i$  . . и полученные результаты подставляемъ въ уравненіе (15). Сразу конечно не удастся получить  $W^2$  съ достаточной точностью, но по результату подстановки можно судить въ какую сторону нужно измѣнять  $W^2$ . Послѣ двухъ-трехъ подстановокъ можно уже было получить интересующую насъ величину съ желаемой степенью точности, т. е. съ тремя значущими цифрами. Величины  $(M)_p$ ,  $(N)_i$  . . . . . приходилось вычислять съ четырьмя десятичными знаками при  $\frac{1}{V^2} < 12$  и съ тремя для  $\frac{1}{V^2} > 12$ . Замѣтимъ, что при большихъ значеніяхъ  $\frac{1}{V^2}$ , а слѣдовательно и  $W^2$ , вычисленія становятся довольно затруднительными и намъ въ этомъ случаѣ много помогало пользованіе арифмометромъ. Особенно трудно было получить первыя два три рѣшенія уравненія (15), пока не выяснился законъ измѣненія  $W^2$  въ зависимости отъ  $\frac{1}{V^2}$ .

Дальше намъ очень помогло графическое построеніе. Откладывая  $\frac{1}{V^2}$  по оси абсциссъ, а соотвѣтствующія значенія  $W^2$  по оси ординатъ, мы получили кривую, кривизна которой все убывала съ возрастаніемъ  $\frac{1}{V^2}$ . Въ силу этого практически оказывалось совершенно излишнимъ вычисленіе большого количества промежуточныхъ точекъ кривой; мы могли ограничиться только восемью точками, по которымъ была построена кривая, см. черт. 18, и значенія  $W^2$  для промежуточныхъ значеній  $\frac{1}{V^2}$  уже взяты прямо изъ чертежа. Это мы могли сдѣлать съ тѣмъ бѣльшимъ правомъ,

что величины  $\frac{1}{V^2}$  практически можно вычислять съ очень небольшой точностью. Кромѣ измѣненія величины  $W^2$ , на томъ же чертежѣ (18) представлено измѣненіе  $V^2 W^2 = k^2$ . Эта кривая ассимптотически приближается къ оси  $X$  при приближеніи  $\frac{1}{V^2}$  къ нулю; другой ассимптотой будетъ пря-



Черт. 15.

мая параллельная оси  $X$ -овъ и проведенная въ разстояніи  $(4,013)^2$  отъ нея. Величина  $(4,013)^2$ , какъ мы видѣли, соотвѣтствуетъ случаю, когда  $\frac{1}{V^2}$  обращается въ безконечность и  $D=0$ , разобранному Prandtl'емъ. Ниже мы приводимъ таблицу  $C$ , въ которой даны нѣкоторыя численныя значенія интересующихъ насъ величинъ.

Вычисленіе таблицы доведено до  $\frac{1}{V^2} = 32$ , что оказалось вполне достаточно для тѣхъ численныхъ примѣровъ, которые намъ приходилось продѣлывать. Если бы пришлось

Таблица С.

$\frac{1}{V^2}$	$W^2$	$W^2 V^2$	Опасная напр. при $\frac{B_2}{B_1} = \frac{1}{100}$ $\frac{h}{l} = \frac{1}{10}$ $E = 2 \cdot 10^6 \text{ klg.}$ кв. см.	$\frac{1}{V^2}$	$W^2$	$W^2 V^2$	Опасная напр. при $\frac{B_2}{B_1} = \frac{1}{100}$ $\frac{h}{l} = \frac{1}{10}$ $E = 2 \cdot 10^6 \text{ klg.}$ кв. см.
0,1	196	1960	700	10	575	57,5	1200
1	247	247	785	12	623	51,9	1250
2	296	148	860	14	678	48,4	1300
3	342	114	925	16	725	45,3	1345
4	381	95,3	975	24	918	38,3	1515
6	453	75,5	1065	32	1100	34,4	1660
8	516	64,5	1140				

вычислять  $W^2$  для значений  $\frac{1}{V^2}$  больших 32, то мы полагаем бы возможным пользоваться такой формулой

$$W^2 V^2 = k^2 = \frac{(4,013)^2}{(1-V)^4} \cdot \cdot \cdot \cdot (18)$$

Получена эта формула на основании таких соображений: когда намъ приходилось опредѣлять уголъ закручиванія двутавровой балки, задѣланной однимъ концомъ, то оказалось, что вліяніе жесткости полокъ можетъ быть учтенъ очень просто—нужно только въ обыкновенную формулу (не принимающую въ расчетъ жесткости полокъ) вставить вмѣсто дѣйствительной длины балки  $l$  некоторую фиктивную длину (см. § 2)

$$l_1 = l \left( 1 - V \operatorname{tgh} \frac{1}{V} \right)$$

или въ случаѣ большихъ значений  $\frac{1}{V^2}$

$$l_1 = l (1 - V).$$

Такъ какъ въ разсматриваемомъ нами теперь случаѣ искривленной формы изгиба жесткость полокъ вліяетъ

главнымъ образомъ на кручение, то примѣнимъ и здѣсь ранѣе выведенныя заключенія, именно положимъ, что для опредѣленія величины критической нагрузки  $P$  можно пользоваться формулой (7), въ которой не принята во вниманіе жесткость полокъ, но только вмѣсто дѣйствительной длины балки  $l$  введемъ длину  $l_1$ . Тогда будемъ имѣть

$$P = \frac{4,013 \sqrt{B_2 C}}{l^2 \left(1 - \nu tgh \frac{1}{\nu}\right)^2}.$$

Отсюда при большихъ значеніяхъ  $\frac{1}{\nu^2}$  непосредственно получается приведенная нами выше формула (18) для вычисленія  $k^2$ .

Величины  $k^2$ , вычисленныя на основаніи этой формулы, тѣмъ ближе къ дѣйствительнымъ значеніямъ  $k^2$ , опредѣленнымъ на основаніи уравненія (15), чѣмъ больше величина  $\frac{1}{\nu^2}$ .

При  $\frac{1}{\nu^2}$  равномъ 32 разность меньше 2%. Съ возрастаніемъ  $\frac{1}{\nu^2}$  до безконечности величина  $k^2$ , опредѣляемая изъ (18) приближается асимптотически къ  $(4,013)^2$ .

Относительно вычисленія опасныхъ напряженій замѣтимъ, что если въ формулу, служащую для опредѣленія наибольшихъ нормальныхъ напряженій,

$$R = \frac{M \cdot h}{2 I_1}$$

подставимъ вмѣсто  $M$  его значеніе изъ (16) и примемъ во вниманіе, что на практикѣ можно всегда съ достаточной точностью положить

$$D = \frac{B_2}{2},$$

то для вычисленія опасныхъ напряженій будемъ имѣть

$$R = \frac{1}{4} \cdot W \left( \frac{B_2}{B_1} \right) \left( \frac{h}{l} \right)^2 E.$$



Какъ и въ случаѣ изгиба балокъ парами силъ, оказывается возможнымъ составить таблицу для одного какого либо опредѣленнаго соотношенія  $\frac{B_2}{B_1}$  и  $\frac{h}{l}$ . Величины напряженій при  $\frac{B_2}{B_1} = \frac{1}{100}$  и  $\frac{h}{l} = \frac{1}{10}$  помѣщены въ таблицѣ С. Чтобы показать законъ ихъ измѣненія въ зависимости отъ величины  $\frac{1}{V_2}$ , вычерчена особая кривая напряженій на черт. 18.

## Вліяніе внѣцентрично приложенной нагрузки.

§ 11. До сихъ поръ мы разсматривали идеальный случай, когда точка приложенія вертикальной силы совершенно совпадаетъ съ центромъ тяжести концевой поперечнаго сѣченія и стѣнка двутавровой балки расположена въ вертикальной плоскости. На основаніи этихъ условій нами и было получено уравненіе (15). Въ дѣйствительности, при самой точной постановкѣ опыта, возможны малыя отклоненія отъ идеальнаго случая и намъ нужно выяснитъ вліяніе отдѣльныхъ уклоненій.

Пусть стѣнка балки задѣлана не вертикально и малый уголъ составляемый ею съ вертикальной плоскостью пусть будетъ

$$\varphi_l = \alpha.$$

Предположимъ также, что точка приложенія силы перемѣщена отъ центра поперечнаго сѣченія по горизонтальному направленію на малую величину  $a$ . Тогда условія II) и III) (см. пред. §) очевидно переписутся такимъ образомъ

$$-C\varphi'_0 + \frac{Dh^2}{2}\varphi'''_0 = Pa \quad \dots \quad (1)$$

$$\varphi_l = \alpha.$$

Уравненія для опредѣленія произвольныхъ постоянныхъ будутъ

$$\varphi_0(M)_l + \varphi'_0 l \left[ (N)_l + \frac{1}{6} \frac{1}{V^2} (P)_l \right] = \alpha - \frac{1}{6} \frac{1}{V^2} l (P)_l \frac{Pa}{C}$$

$$\varphi_0(R)_l + \varphi'_0 l \left[ (S)_l + \frac{1}{6} \frac{1}{V^2} (T)_l \right] = -\frac{1}{6} \frac{1}{V^2} l (T)_l \frac{Pa}{C} \quad (2)$$

Мы видимъ, что уравненія (2) допускаютъ для произвольныхъ постоянныхъ  $\varphi_0$  и  $\varphi'_0$  рѣшенія отличныя отъ нуля при всякихъ значеніяхъ изгибающей силы и слѣдовательно самая незначительная нагрузка  $P$  уже будетъ вызывать искривленіе оси балки въ плоскости  $XU$ .

Уголъ поворота концевого поперечнаго сѣченія легко найти изъ уравненій (2). Онъ будетъ равенъ

$$\varphi_0 = \frac{A}{(M)_l \left[ (S)_l + \frac{1}{6} \frac{1}{l^2} (T)_l \right] - (R)_l \left[ (N)_l + \frac{1}{6} \frac{1}{l^2} (P)_l \right]} \quad (3)$$

Буквой  $A$  мы обозначили довольно сложное выраженіе, въ которое множителями входятъ величины  $\alpha$  и  $a$ . При малыхъ отклоненіяхъ отъ идеальнаго случая числитель формулы (3) будетъ величиной малой, а слѣдовательно и  $\varphi_0$  будетъ мало, разъ знаменатель величина конечная. Въ тѣхъ случаяхъ, когда величина изгибающей силы такова, что знаменатель въ формулѣ (3) близокъ къ нулю, уголъ поворота быстро возрастаетъ. Такъ какъ знаменатель этотъ представляетъ собой ничто иное, какъ лѣвую часть уравненія (15), то мы можемъ заключить, что когда имѣются нами разсмотрѣнныя отклоненія отъ идеальнаго случая, искривленіе и крученіе балки начинаютъ быстро возрастать и могутъ достигнуть опасныхъ размѣровъ, если величина изгибающей силы приближается къ критической нагрузкѣ соответствующаго идеальнаго случая.

Замѣтимъ, что величины  $a$  и  $\alpha$ , входящія въ выраженіе  $A$  числителя (3), могутъ быть подобраны такимъ образомъ, что  $A$  обратится въ нуль, тогда вліянія отдѣльныхъ отклоненій взаимно уничтожатся и явленіе будетъ протекать также, какъ и въ идеальномъ случаѣ.

Разсмотримъ теперь вліяніе перемѣщенія точки приложенія силы  $P$  по вертикальному направленію. Назовемъ черезъ  $d$  величину этого перемѣщенія; тогда скручивающій моментъ у свободнаго конца балки, при условіи появленія крученія, очевидно будетъ

$$M_\xi = Pd\varphi_0$$

II) Условіе предыдущаго параграфа напишется такъ

$$-C\varphi'_0 + \frac{Dh^2}{2} \cdot \varphi'''_0 = Pd\varphi_0. \quad (4)$$

Откуда

$$\varphi'''_0 = \frac{1}{V^2 l^2} \varphi'_0 + \frac{2P}{Dh^2} d\varphi_0. \quad (5)$$

Если принять во вниманіе, что на практикѣ всегда съ достаточной точностью можно положить

$$D = \frac{B_2}{2}$$

и что, на основаніи (12),

$$W^2 = \frac{l^6}{h^2} \cdot \frac{2P^2}{B_2 D},$$

то выраженіе (5) можно представить въ болѣе удобномъ для вычисленій видѣ

$$\varphi'''_0 = \frac{1}{V^2 l^2} \varphi'_0 + \frac{W^2 d}{l^3 h} \varphi_0. \quad (6)$$

На основаніи этого уравненія, опредѣляющія произвольныя постоянныя напишутся такимъ образомъ

$$\begin{aligned} \left[ (M)_l + \frac{1}{6} (P)_l W \frac{2d}{h} \right] \varphi_0 + \left[ (N)_l + \frac{1}{6} \frac{1}{V^2} (P)_l \right] l \varphi'_0 &= 0 \\ \left[ (R)_l + \frac{1}{6} (T)_l W \frac{2d}{h} \right] \varphi_0 + \left[ (S)_l + \frac{1}{6} \frac{1}{V^2} (T)_l \right] l \varphi'_0 &= 0 \end{aligned} \quad (7)$$

Откуда, для возможности появленія искривленной формы изгиба, получимъ такое условіе

$$\begin{aligned} \left[ (M)_l + \frac{1}{6} (P)_l W \frac{2d}{h} \right] \left[ (S)_l + \frac{1}{6} \frac{1}{V^2} (T)_l \right] - \\ - \left[ (R)_l + \frac{1}{6} (T)_l W \frac{2d}{h} \right] \left[ (N)_l + \frac{1}{6} \frac{1}{V^2} (P)_l \right] = 0 \end{aligned} \quad (8)$$

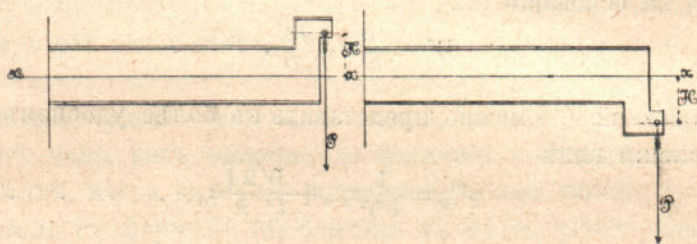
Не трудно видѣть, что при малыхъ перемѣщеніяхъ  $d$ , вліяніе ихъ на величину критической нагрузки, опредѣленной для идеальнаго случая, будетъ не велико. Если же  $d$  нельзя считать малымъ по сравненію съ высотой балки  $h$  и способъ приложенія изгибающей силы имѣетъ видъ представленный на черт. (16), то тогда критическая нагрузка должна быть вычисляема на основаніи уравненія (8).

Когда точка приложения внешней силы будет совпадать съ верхней или нижней гранью балки, то

$$d = \pm \frac{h}{2}$$

и условіе (8) переписется въ такомъ видѣ

$$\begin{aligned} & \left[ (M)_l \pm \frac{1}{6} (P)_l W \right] \left[ (S)_l + \frac{1}{6} \frac{1}{V^2} (T)_l \right] - \\ & - \left[ (R)_l \pm \frac{1}{6} (T)_l W \right] \left[ (N)_l + \frac{1}{6} \frac{1}{V^2} (P)_l \right] \end{aligned} \quad \dots \quad (8')$$



Черт. 16.

Знакъ + придется брать въ томъ случаѣ, когда точка приложения силы лежитъ надъ осью балки и знакъ —, когда она лежитъ подъ осью. Замѣтимъ, что съ повышеніемъ точки приложения силы устойчивость системы быстро уменьшается. Пониженіе же этой точки вліяетъ въ противоположномъ направленіи.

Разсмотримъ теперь, какъ повліяетъ на наши выводы малое отклоненіе дѣйствующей силы отъ вертикальнаго направленія. Положимъ, что дѣйствующая сила, оставаясь въ вертикальной плоскости  $yz$ , повернулась на малый уголъ  $\alpha$  и пусть  $P$  и  $Q$  будутъ вертикальная и горизонтальная составляющія этой силы. Основныя уравненія для даннаго случая напишутся такимъ образомъ

$$\begin{aligned} -C\varphi' + \frac{Dh^2}{2}\varphi''' &= P(xy' - y) + Q(z - z'x) \\ B_2 y'' &= (P\varphi + Q)x \\ B_1 z'' &= Px. \end{aligned} \quad \dots \quad (9)$$

Исключая изъ этихъ уравненій  $y$  и  $z$  и принимая во вниманіе, что  $\frac{Q}{B_1}$  мало по сравненію съ  $\frac{Q}{B_2}$ , получимъ

$$\varphi^{IV} - \frac{2C}{D^2} \varphi'' - \frac{2P^2 x^2}{D h^2 B_2} \left( \varphi + \frac{Q}{P} \right) = 0$$

Это уравненіе отличается отъ уравненія (6) предыдущаго параграфа только тѣмъ, что вмѣсто угла  $\varphi$  вошелъ уголъ  $\varphi + \frac{Q}{P}$ . Если бы мы силу оставили въ ея вертикальномъ направленіи, а повернули стѣнку балки на уголъ  $\frac{Q}{P}$  вокругъ оси, то очевидно явленіе было то же самое. Если мы обозначимъ  $\varphi + \frac{Q}{P}$  черезъ  $\psi$ , то условія для опредѣленія произвольныхъ постоянныхъ будутъ такіа.

$$\begin{aligned} \psi_0(M)_l + \psi'_0 \left[ (N)_l + \frac{1}{6} \frac{1}{V^2} (P)_l \right] &= \frac{Q}{P} \\ \psi_0(R)_l + \psi'_0 \left[ (S)_l + \frac{1}{6} \frac{1}{V^2} (T)_l \right] &= 0 \end{aligned} \quad \dots (10)$$

Искривленіе оси балки въ плоскости  $XU$  начинается при самыхъ малыхъ нагрузкахъ. Но если уголъ отклоненія силы  $d = \frac{Q}{P}$  очень малъ, то искривленія оси будутъ малы, пока величина нагрузки не станетъ приближаться къ критическому значенію опредѣленному для идеальнаго случая.

Въ заключеніе замѣтимъ, что уравненіе (15) § 10, которое служило намъ для вычисленія критическихъ нагрузокъ,



Черт. 17.

должно имѣть безчисленное множество корней и каждому корню соответствуетъ своя форма искривленнаго изгиба. Мы до сихъ поръ говорили о наименьшемъ корнѣ этого

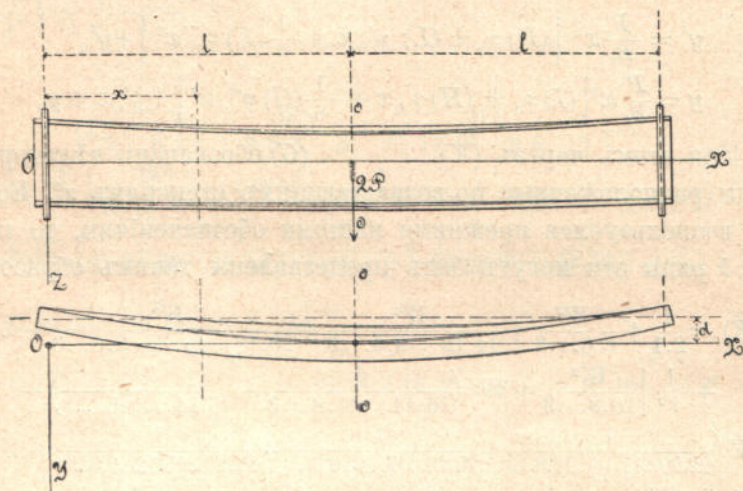
уравненія, такъ какъ онъ имѣеть практической интересъ и соотвѣтствуетъ первой возможной искривленной формѣ изгиба, представленной на черт. 14. Если бы мы вычислили второй корень, то ему соотвѣтствовала бы форма черт. (17) и т. д. Всѣ формы кромѣ первой будутъ неустойчивы.

### Случай балки, лежащей на двухъ опорахъ.

Пусть  $AB$  представляетъ собой двутавровую балку съ пролетомъ  $2l$ . Внѣшняя сила величины  $2P$  приложена въ срединѣ пролета такимъ образомъ, что точка приложенія ея совпадаетъ съ центромъ тяжести срединнаго поперечнаго сѣченія балки. Ось балки горизонтальна и стѣнка лежитъ въ вертикальной плоскости. Концы закрѣплены такимъ образомъ, что устранена возможность вращенія концевыхъ поперечныхъ сѣченій вокругъ оси  $XX$ , совпадающей съ осью балки въ недеформированномъ состояніи. Подъ вліяніемъ внѣшней силы  $2P$  балка изгибается и такъ какъ направленіе силы совпадаетъ съ направленіемъ одной изъ главныхъ осей инерціи поперечнаго сѣченія, то изгибъ будетъ происходить въ вертикальной плоскости. Постепенно увеличивая нагрузку, мы можемъ достигнуть такого напряженнаго состоянія, при которой плоская форма изгиба становится неустойчивой. Тогда ось балки можетъ изогнуться въ горизонтальной плоскости и мы получимъ искривленную форму равновѣсія изображенную на черт. 18.

Стрѣлку прогиба оси балки въ горизонтальной плоскости назовемъ черезъ  $d$ , тогда опорныя реакціи будутъ состоять изъ вертикальныхъ дѣйствующихъ снизу вверхъ силъ  $P$ , приложенныхъ въ центрахъ тяжести концевыхъ поперечныхъ сѣченій и изъ моментовъ, дѣйствующихъ въ плоскостяхъ поперечныхъ сѣченій и равныхъ по величинѣ  $Pd$ . Срединное поперечное сѣченіе  $OO$  балки въ силу симметріи остается плоскимъ, и потому мы можемъ настоящую задачу легко свести къ ранѣе разобранному нами случаю балки, одинъ конецъ которой задѣланъ неподвижно. Въ самомъ дѣлѣ, если мы представимъ себѣ срединное поперечное

сѣченіе балки задѣланнымъ, а къ концевому сѣченію приложимъ вертикальную силу  $P$ , проходящую въ разстояніи  $d$  отъ центра тяжести сѣченія, то мы ничѣмъ не измѣнимъ условій нашей задачи и изъ разсмотрѣнія условій равновѣсія полученной такимъ образомъ балки съ однимъ задѣланнымъ концомъ должны получить искомую величину критической нагрузки для балки, лежащей на двухъ опорахъ.



Черт. 18.

Возьмемъ лѣвую половину балки и построимъ для нея систему координатныхъ осей  $X, Y, Z$ , начало которой помѣстимъ на горизонтальной оси симметріи лѣваго концевою поперечнаго сѣченія въ разстояніи  $d$  отъ его центра тяжести. Въ такомъ случаѣ дѣйствующая сила всегда будетъ проходить черезъ начало координатъ. Оси направимъ также, какъ и въ ранѣе разобранномъ нами случаѣ балки съ однимъ задѣланнымъ концомъ; тогда мы можемъ воспользоваться уже выведенными ранѣе уравненіями (5) § 10 и сразу написать выраженія угла поворота и его первой производной для какого либо сѣченія балки

$$\begin{aligned} \varphi &= \varphi_0 (M) + \varphi'_0 (N)x + \frac{1}{6} \varphi_0''' (P)x^3 \\ \varphi' &= \varphi_0 (R) \frac{1}{x} + \varphi'_0 (S) + \frac{1}{6} \varphi_0''' (T)x^2 \end{aligned} \quad \dots \dots \dots (1)$$





$$\begin{aligned}
 (E)_l &= \frac{1}{5} + \frac{W^2}{11.9\dots 6} + \frac{W^4}{19.15\dots 12.9\dots 6} + \dots \\
 &+ \frac{1}{V^2} \left[ \frac{1}{7.5.4} + W^2 \left( \frac{1}{13.11\dots 8.5.4} + \frac{1}{13.11\dots 6} + \right. \right. \\
 &+ W^4 \left( \frac{1}{19.17\dots 14.11\dots 8.5.4} + \frac{1}{19.17\dots 14.11\dots 6} + \frac{1}{19.17\dots 12.9\dots 6} \right) + \dots \left. \right] + \\
 &+ \frac{1}{V^4} \left[ \frac{1}{9.7\dots 4} + W^2 \left( \frac{1}{15.13\dots 10.7\dots 4} + \frac{1}{15.13\dots 8.5.4} + \frac{1}{15.13\dots 6} \right) + \dots \right] + \\
 &+ \frac{1}{V^6} \left[ \frac{1}{11.9\dots 4} + \dots \right] + \\
 &+ \dots
 \end{aligned}$$

$$\begin{aligned}
 (I)_l &= \frac{1}{3.2.1} + \frac{W^2}{9.8.6\dots 3} + \frac{W^4}{15.14.12\dots 9.6\dots 3} + \dots \\
 &+ \frac{1}{V^2} \left[ \frac{W^2}{11.10.8\dots 3} + W^4 \left( \frac{1}{17.16.14\dots 11.8\dots 3} + \frac{1}{17.16.14\dots 9.6\dots 3} \right) + \right. \\
 &+ W^6 \left( \frac{1}{23.22.20\dots 17.14\dots 11.8\dots 3} + \frac{1}{23.22.20\dots 17.14\dots 9.6\dots 3} + \right. \\
 &+ \left. \frac{1}{23.22.20\dots 15.12\dots 9.6\dots 3} \right) + \dots \left. \right] + \\
 &+ \frac{1}{V^4} \left[ \frac{W^2}{13.12.10\dots 3} + W^4 \left( \frac{1}{19.18.16\dots 13.10\dots 3} + \frac{1}{19.18.16\dots 11.8\dots 3} + \right. \right. \\
 &+ \left. \frac{1}{19.18.16\dots 9.6\dots 3} \right) + \dots \left. \right] + \\
 &+ \frac{1}{V^6} \left[ \frac{W^2}{15.14.12\dots 3} + \dots \right] + \\
 &+ \dots
 \end{aligned}$$

$$\begin{aligned}
 (H)_l &= \frac{1}{4.3} + \frac{W^2}{10.9.7\dots 4} + \frac{W^4}{16.15.13\dots 10.7\dots 4} + \dots \\
 &+ \frac{1}{V^2} \left[ \frac{W^2}{12.11.9\dots 4} + W^4 \left( \frac{1}{18.17.15\dots 12.9\dots 4} + \frac{1}{18.17.15\dots 10.7\dots 4} + \dots \right) + \right. \\
 &+ \frac{1}{V^4} \left[ \frac{1}{14.13.11\dots 4} + W^4 \left( \frac{1}{20.19.17\dots 14.11\dots 4} + \frac{1}{20.19.17\dots 12.9\dots 4} \right) + \right. \\
 &+ \left. \frac{1}{20.19.17\dots 10.7\dots 4} \right) + \dots \left. \right] + \\
 &+ \frac{1}{V^6} \left[ \frac{W^2}{16.15.13\dots 4} + \dots \right] + \\
 &+ \dots
 \end{aligned}$$

$$\begin{aligned}
 (G)_l &= \frac{1}{6.5} + \frac{W^2}{12.11.9\dots 6} + \frac{W^4}{18.17.15\dots 12.9\dots 6} + \dots \\
 &+ \frac{1}{V^2} \left[ \frac{1}{8.7.5.4} + W^2 \left( \frac{1}{14.13.11\dots 8.5.4} + \frac{1}{14.13.11\dots 6} \right) + \right. \\
 &+ W^4 \left( \frac{1}{20.19.17\dots 14.11\dots 8.5.4} + \frac{1}{20.19.17\dots 14.11\dots 6} + \right.
 \end{aligned}$$

$$\begin{aligned}
 & + \frac{1}{20 \cdot 19 \cdot 17 \dots 12 \cdot 9 \dots 6} + \dots \dots \dots ] + \\
 & + \frac{1}{V^4} \left[ \frac{1}{10 \cdot 9 \cdot 7 \dots 4} + W^2 \left( \frac{1}{16 \cdot 15 \cdot 13 \dots 10 \cdot 7 \dots 4} + \frac{1}{16 \cdot 15 \cdot 13 \dots 8 \cdot 5 \cdot 4} + \right. \right. \\
 & + \left. \left. \frac{1}{16 \cdot 15 \cdot 13 \dots 6} \right) + \dots \dots \dots \right] + \\
 & + \frac{1}{V^6} \left[ \frac{1}{12 \cdot 11 \cdot 9 \dots 4} + \dots \dots \dots \right] + \\
 & + \dots \dots \dots
 \end{aligned}$$

Въ выраженія (1) и (2) входятъ пять произвольныхъ постоянныхъ и для ихъ опредѣленія имѣемъ слѣдующія пять условій.

- I) при  $x = 0$ ;  $\varphi_0 = 0$ , такъ какъ закрѣпленіе концовъ не допускаетъ вращенія относительно оси X-овъ;
- II) при  $x = l$ ;  $y = 0$ ; III) и  $y'_l = 0$ , такъ какъ касательная въ этой точкѣ параллельна оси X-овъ
- IV) при  $x = l$ ;  $\varphi'_l = 0$
- V)  $P y_0 = C \varphi'_0 - \frac{D h^2}{2} \varphi'''_0$  ( $y_0$  очевидно равно  $d$ ).

Пользуясь условіями III) и V), можемъ выразить произвольныя постоянныя  $y_0$  и  $y'_0$  черезъ  $\varphi'_0$  и  $\varphi'''_0$ ; подставляя ихъ въ условіе (4) получимъ уравненіе, заключающее только  $\varphi'_0$  и  $\varphi'''_0$

$$\begin{aligned}
 & \left[ -(H)_l l^4 + (L)_l l^4 - \frac{C B_2}{P^2} \right] \varphi'_0 + \\
 & + \left[ \frac{(E)_l - (G)_l}{6} l^6 + \frac{D \cdot h^2 \cdot B_2}{2 P^2} \right] \varphi'''_0 = 0 \dots (3)
 \end{aligned}$$

Для удобства вычисленія сдѣлаемъ нѣкоторыя преобразованія. На основаніи обозначеній (12) § 10 будетъ имѣть

$$\begin{aligned}
 \frac{B_2 C}{P^2} &= \frac{l^4}{W^2 V^2} \\
 \frac{D h^2 \cdot B_2}{2 P^2} &= \frac{l^6}{W^2}
 \end{aligned}$$

Слѣдовательно (3) представится въ такомъ видѣ

$$\left[ (L)_l - (H)_l - \frac{1}{W^2 V^2} \right] \varphi'_0 + \left[ \frac{(E)_l - (G)_l}{6} + \frac{1}{W^2} \right] \cdot l^2 \varphi'''_0 = 0 \dots (4)$$

Присоединяя сюда условіе IV', которое намъ даетъ

$$\varphi'_0(S)_l + \frac{1}{6} l^2 \varphi'''_0(T)_j = 0 \dots (5)$$

Получимъ два уравненія (4), (5) для опредѣленія произвольныхъ постоянныхъ  $\varphi'_0$  и  $\varphi'''_0$ . Чтобы кромѣ плоскаго изгиба возможна была и искривленная форма равновѣсія необходимо, чтобы опредѣлитель уравненій (4) и (5) обращался въ нуль

$$\left[ (L)_l - (H)_l - \frac{1}{W^2 V^2} \right] \cdot \frac{(T)_l}{6} - \left[ \frac{(E)_l - (G)_l}{6} + \frac{1}{W^2} \right] (S)_l = 0 \quad (6)$$

Для опредѣленія величины критической нагрузки придется идти прежнимъ путемъ. По размѣрамъ балки и модулю упругости матеріала вычисляемъ величину  $\frac{1}{V^2}$ , а потомъ путемъ послѣдовательныхъ пробъ опредѣляемъ величину  $W^2$  такимъ образомъ, чтобы было удовлетворено уравненіе (6). Обозначая, какъ и прежде,  $W^2 V^2$  черезъ  $k^2$  будемъ имѣть для опредѣленія нагрузки  $P$  <sup>1)</sup> уравненіе

$$P = \frac{k \sqrt{B_2 C}}{l^2} \quad (7)$$

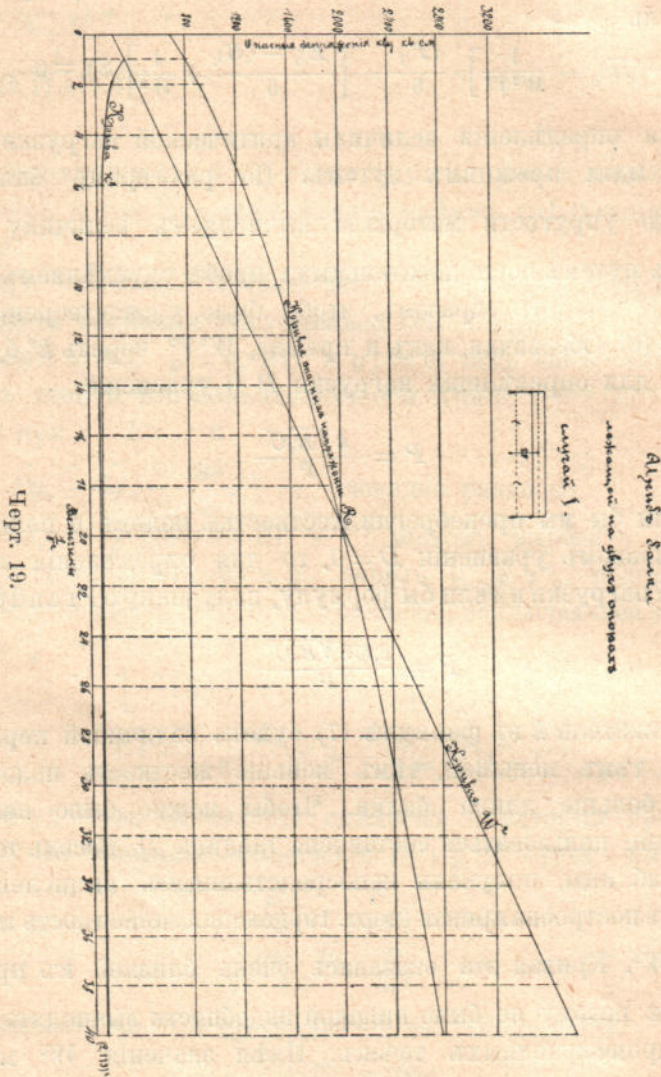
Если бы мы пренебрегли жесткостью полокъ и положили въ основномъ уравненіи  $D = 0$ , то для опредѣленія критической нагрузки имѣли бы формулу, полученную Prandtl'емъ

$$P = \frac{2,115 \sqrt{B_2 C}}{l^2} \quad (8)$$

Множитель  $k$  въ формулѣ (7) будетъ величиной переменной и тѣмъ меньшей, чѣмъ меньше жесткость полокъ и чѣмъ больше длина балки. Чтобы можно было нашими выводами пользоваться составлена таблица  $D$ . Восемь точекъ этой таблицы, получены непосредственнымъ вычисленіемъ. Понимъ построена кривая (черт. 19) дающая зависимость между  $\frac{1}{V^2}$  и  $W^2$ . Кривая эта оказалась очень близкой къ прямой линіи и потому не было никакой надобности вычислять многихъ промежуточныхъ точекъ. Имѣя значенія  $W^2$  можно было построить также кривую, дающую измѣненія  $k^2$  въ зависимости отъ  $\frac{1}{V^2}$ .

<sup>1)</sup>  $P$  въ данномъ случаѣ равно половинѣ критической нагрузки.

Кривая эта съ одной стороны ассимптотически приближается къ оси  $U$ -овъ, съ другой къ прямой параллельной оси  $X$ -овъ и проведенной въ разстояніи  $(2,115)^2$  отъ нея, какъ того и



нужно было ожидать на основаніи формулы (8), Prandt'я. Что касается самихъ вычисленій, то они въ данномъ случаѣ несравнено проще, чѣмъ вычисленія, относящіяся къ случаю

балки, задѣланной однимъ концомъ въ стѣну, такъ какъ ряды  $(K)_1, (L)_1, \dots$  сходятся очень быстро.

Таблица D.

$\frac{1}{V^2}$	$W^2$	$W^2 V^2$	Опасныя напр.	$\frac{1}{V^2}$	$W^2$	$W^2 V^2$	Опасныя напр.
			при $\frac{B_2}{B_1} = \frac{1}{100}$ и $\frac{h}{2l} = \frac{1}{10}$ $E = 2.10^6 \text{ klg.}$ кв. см.				при $\frac{B_2}{B_1} = \frac{1}{100}$ и $\frac{h}{2l} = \frac{1}{10}$ $E = 2.10^6 \text{ klg.}$ кв. см.
0,1	11,7	117	680	12	65,9	5,60	1620
1	15,9	15,9	800	16	81,0	5,25	1830
2	20,5	10,25	910	20	102	5,10	2020
4	29,7	7,43	1090	24	120	5,00	2190
6	38,8	6,47	1250	32	156	4,88	2500
8	47,8	5,98	1380	40	192	4,80	2770

Мы вычисленіе таблицы довели до значеній  $\frac{1}{V^2} = 40$ , такъ какъ за этимъ предѣломъ безъ большихъ погрѣшностей можно считать  $k$  постояннымъ, равнымъ 2,115 \*).

Что касается вычисленія опасныхъ напряженій, то для нихъ очевидно остается въ силѣ прежняя формула

$$R = \frac{1}{4} W \frac{B_2}{B_1} \left( \frac{h}{l} \right)^2 E.$$

Замѣтимъ только, что  $l$  въ данномъ случаѣ будетъ половина пролета балки. Въ таблицѣ D приведены величины опасныхъ напряженій для

$$\frac{B_2}{B_1} = \frac{1}{100} \text{ и } \frac{h}{2l} = \frac{1}{10}.$$

Модуль упругости  $E$  принять равнымъ  $2.10^6 \text{ klg. кв. см.}$

\*) При  $\frac{1}{V^2} = 40$  ошибка въ опредѣленіи опасныхъ напряженій, если положить  $k = 2,115$  будетъ около 3%.

### Точка приложенія силы не лежитъ на оси балки.

§ 13. Разсмотримъ здѣсь какое вліяніе на величину критической нагрузки будутъ оказывать различныя отступленія отъ только что разобраннаго нами случая. Положимъ, что точка приложенія силы не точно совпадаетъ съ центромъ тяжести срединнаго поперечнаго сѣченія, а перемѣщена на малую величину  $a$  въ направленіи оси  $У$ -овъ; кромѣ того пусть стѣнка балки составляетъ съ вертикальной плоскостью малый уголъ  $\alpha$ . Тогда условія I) и II) предыдущаго параграфа придется измѣнить такимъ образомъ

$$\varphi_0 = \alpha; y_l = -a \quad . \quad . \quad . \quad . \quad . \quad (1)$$

Уравненія (4) и (5) § 12, служація для опредѣленія произвольныхъ постоянныхъ  $\varphi'_0$  и  $\varphi'''_0$  переписутся такъ

$$\left[ (L)_l - (H)_l - \frac{1}{W^2 V^2} \right] \varphi'_0 + \left[ \frac{(E)_l - (G)_l}{6} + \frac{1}{W^2} \right] \cdot l^2 \cdot \varphi'''_0 = A \quad (2)$$

$$\varphi'_0 (S)_l + \frac{1}{6} l^2 \varphi'''_0 (T)_l = B$$

гдѣ  $A$  и  $B$  нѣкоторыя величины, зависяція отъ размѣровъ балки и отъ малыхъ величинъ  $a$  и  $\alpha$ . Уравненія (2) допускаютъ для  $\varphi'_0$  и  $\varphi'''_0$  рѣшенія отличныя отъ нуля при всякихъ значеніяхъ изгибающей силы. Когда опредѣлитель уравненія (2) приближается къ нулю, то искривленіе балки въ плоскости  $XУ$  и сопровождающее его скручиваніе начинается быстро возрастать.

Если бы мы предположили, что дѣйствующая сила не вертикальна, а слегка наклонна, то получили бы ту же картину явленія, т. е. уже при малыхъ значеніяхъ дѣйствующей силы начались бы искривленіе и скручиванье балки. Мы не будемъ на этомъ больше останавливаться, такъ какъ все это уже было разъ подробно разобрано въ случаѣ балки съ однимъ задѣланнымъ концомъ.

Перейдемъ теперь къ вопросу имѣющему большой практической интересъ: — именно выяснимъ, какъ вліяетъ на

устойчивость системы перемѣщеніе точки приложенія вѣшней силы по вертикальному направленію. Въ случаѣ, разобранномъ нами въ предыдущемъ параграфѣ, точка приложенія силы лежала на оси, между тѣмъ на практикѣ точка приложенія силы чаще всего совпадаетъ съ верхней или нижней гранью балки, и нужно ожидать, что это оказываетъ большое вліяніе на величину критической нагрузки.

Уравненія (1) и (2) предыдущаго параграфа очевидно останутся въ силѣ и придется только измѣнить условія на концахъ. Если мы черезъ  $H$  назовемъ перемѣщеніе точки приложенія силы по вертикальному направленію, то условіе II) предыдущаго параграфа должно быть видоизмѣнено такимъ образомъ

$$y_l = -H\varphi_l \dots \dots \dots (3)$$

Соотвѣтственно этому измѣнятся и уравненія (4) и (5) § 12, опредѣляющія произвольныя постоянныя

$$\begin{aligned} & \varphi_0' \text{ и } \varphi_0'''. \\ & \left[ (L)_l - (H)_l - \frac{1}{W^2 V^2} \right] \varphi_0' + \left[ \frac{(E)_l - (G)_l}{6} + \frac{1}{W^2} \right] l^2 \varphi_0''' = \\ & = -\varphi_l \frac{HB_2}{Pl^3} \dots \dots \dots (4) \end{aligned}$$

$$\varphi_0' (S)_l + \frac{1}{6} (T)_l l^2 \varphi_0''' = 0.$$

Если мы примемъ во вниманіе, что

$$\varphi_l = \varphi_0' (N)_l l + \frac{1}{6} \varphi_0''' (P)_l l^3,$$

то для опредѣленія величины критической нагрузки будемъ имѣть такое условіе

$$\begin{aligned} & \left[ - (H)_l l^4 + (L)' l^4 - \frac{l}{W^2 V^2} + (N)_l l \frac{HB_2}{P} \right] \frac{1}{6} (T)_l l^2 - \\ & - \left[ \frac{(E)_l - (G)_l}{6} l^6 + \frac{l^6}{W^2} + \frac{1}{6} (P)_l l^3 \frac{HB_2}{P} \right] (S)_l = 0. \dots (5) \end{aligned}$$

Если принять во вниманіе, что

$$\frac{Pl^2 B_2}{2P^2} = \frac{l^6}{W^2}$$

и положить

$$D = \frac{B_2}{2}$$

то при  $H = \pm \frac{h}{2}$  условие (5) переписется такимъ образомъ

$$\left[ - (H)_l + (L)_l - \frac{1}{W^2 V^2} \pm (N)_l \frac{1}{W} \right] \frac{(T')_l}{6} - \left[ \frac{(E)_l - (G)_l}{6} + \frac{1}{W^2} \pm \frac{1}{6} (P)_l \frac{1}{W} \right] (S)_l = 0 \quad \dots (5')$$

Знакъ + придется очевидно брать въ томъ случаѣ, когда точка приложенія силы совпадаетъ съ верхней гранью балки. Определить величину критической нагрузки для какой либо опредѣленной балки можно конечно только рѣшивши уравненіе (5)'.  
 Для того случая, когда точка приложенія силы совпадаетъ съ верхней гранью (практически это наиболѣе часто встрѣчающійся случай), нами составлена таблица *F*, гдѣ для ряда значений  $\frac{1}{V^2}$  приведены величины соответствующихъ значений  $W^2$ ,  $W^2 V^2$ , а также величины опасныхъ напряженій, вычисленныхъ для того случая, когда

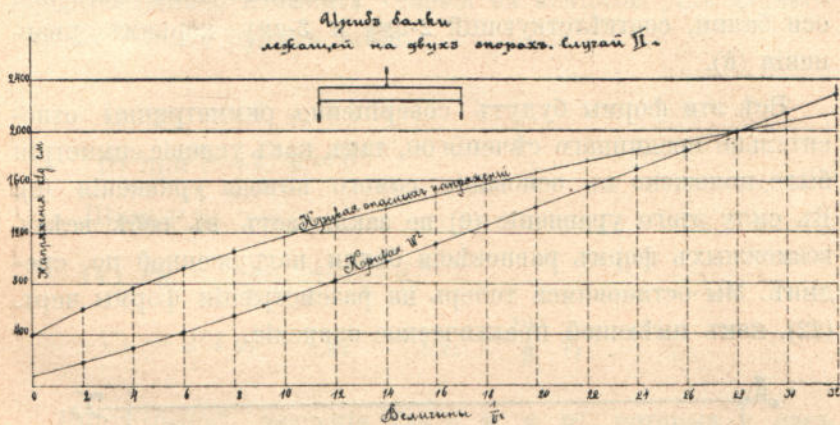
$$\frac{B_2}{B_1} = \frac{1}{100}; \quad \frac{h}{2l} = \frac{1}{10} \quad \text{и} \quad E = 2 \cdot 10^6 \cdot \text{kg./кв. см.}$$

Таблица *F*.

$\frac{1}{V^2}$	$w^2$	$w^2 V^2$	Опасныя напр.	$\frac{1}{V^2}$	$w^2$	$w^2 V^2$	Опасныя напр.
			при $\frac{B_2}{B_1} = \frac{1}{100}$ и $\frac{h}{2l} = \frac{1}{10}$				при $\frac{B_2}{B_1} = \frac{1}{100}$ и $\frac{h}{2l} = \frac{1}{10}$
0,1	4,13	41,3	405	8	27,7	3,46	1050
1	6,36	6,36	565	10	34,3	3,43	1170
2	9,05	4,53	600	12	41,2	3,43	1280
3	11,9	3,97	690	16	55,3	3,46	1485
4	14,9	3,73	770	24	84,8	3,53	1840
6	21,1	3,52	920	32	114,4	3,58	2135



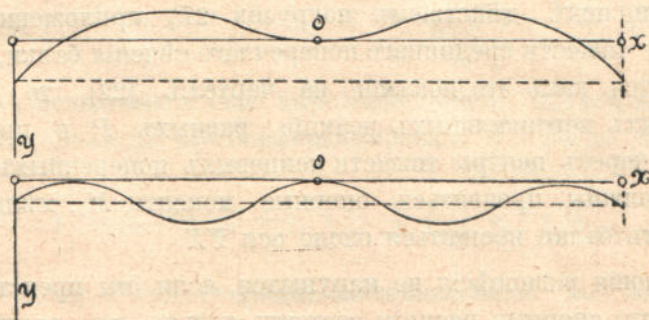
Кромѣ того на чертежѣ (20) представлена графически зависимость между  $\frac{1}{V^2}$  съ одной стороны и величинами  $W^2$ ,  $W^2 V^2$ , и  $R$  съ другой.



Черт. 20.

Сравнивая таблицы  $D$  и  $F$ , мы видимъ, что повышеніе точки приложенія груза сильно вліяетъ на устойчивость системы и это вліяніе тѣмъ больше, чѣмъ меньше  $\frac{1}{V^2}$ , т. е. чѣмъ меньше длина балки при прочихъ равныхъ условіяхъ.

Въ заключеніе замѣтимъ, что все, что было сказано въ двухъ послѣднихъ параграфахъ о величинѣ критической

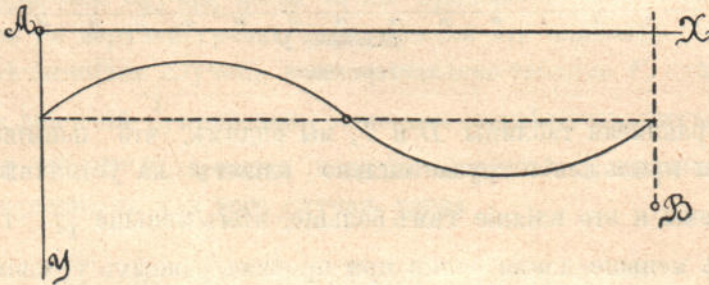


Черт. 21.

нагрузки, относится къ первой возможной искривленной формы изгиба, и при вычисленіяхъ мы пользовались наименьшимъ корнемъ уравненія (6) § 12. Но это уравненіе

должно имѣть безчисленное множество корней и каждому изъ нихъ соотвѣтствуетъ своя возможная форма равновѣсія; всѣ эти формы кромѣ первой будутъ неустойчивы. На чертежѣ (21) изображенъ въ планѣ примѣрный видъ изогнутой оси балки, соотвѣтствующій 2-ому и 3-ему корнямъ уравненія (6).

Всѣ эти формы будутъ совершенно симметричны относительно срединнаго сѣченія  $00$ , такъ какъ условіе симметріи было положено въ основаніе самого вывода уравненія (6). Въ силу этого уравненіе (6) не заключаетъ въ себѣ всѣхъ возможныхъ формъ равновѣсія балки нагруженной по срединѣ. Мы остановимся теперь на разсмотрѣннн формѣ черт. (22), какъ имѣющей практическое значеніе.



Черт. 22.

Если подъ дѣйствіемъ нагрузки  $2P$ , приложенной къ центру тяжести срединнаго поперечнаго сѣченія балки, балка изогнется, какъ это показано на чертежѣ (22), то кромѣ опорныхъ вертикальныхъ реакцій равныхъ  $P$  и проходящихъ черезъ центры тяжести концевыхъ поперечныхъ сѣченій должны проявиться опорные моменты  $M_0$ , мѣшающіе концамъ балки вращаться около оси  $XX$ .

Условія равновѣсія не нарушатся, если мы представимъ себѣ, что опорныя реакціи состоятъ только изъ вертикальныхъ противодѣйствій  $P$ , приложенныхъ въ точкахъ  $A$  и  $B$  такъ, что величины  $y_0 P$  какъ разъ соотвѣтствуютъ опорнымъ моментамъ  $M_0$ . Если мы теперь возьмемъ половину балки, построимъ для нея систему координатъ  $X, Y, Z$ ,

такъ чтобы начало ея совпадало съ точкой  $A$ , то тогда можно пользоваться ранѣе выведенными основными уравненіями и для полученія величины критической нагрузки придется только измѣнить условія на концахъ. Для данного случая условія будутъ такіа:

$$I) \text{ при } x=0, \varphi_0=0$$

$$II) \text{ при } x=l, \varphi_l=0$$

$$III) y_l=y_0$$

$$IV) Py_0 = -C\varphi_0' + \frac{Dh^2}{2} \varphi_0'''$$

$$V) -Pl y_l' + Py_l = -C\varphi_l' + \frac{Dh^2}{2} \varphi_l'''$$

Выписываемъ значенія для  $\varphi$ ,  $\varphi'$ ,  $y$ ,  $y'$ , которыя у насъ были получены раньше:

$$\varphi = \varphi_0 (M) + \varphi_0' (N) x + \frac{1}{6} x^3 \varphi_0''' (P)$$

$$\varphi' = \varphi_0 (R) \frac{1}{x} + \varphi_0' (S) + \frac{1}{6} x^2 \varphi_0''' (T)$$

$$y = -\frac{P}{B_2} \left[ (I) \varphi_0 x^3 + (H) \varphi_0' x^4 + \frac{1}{6} x^6 \varphi_0''' (G) \right] + y_0 x + y_0$$

$$y' = -\frac{P}{B_2} \left[ (K) \varphi_0 x^2 + (L) \varphi_0' x^3 + \frac{1}{6} (E) \varphi_0''' x^5 \right] + y_0'$$

Намъ понадобится еще выраженіе для  $\varphi'''$ . Мы его можемъ получить, дважды продифференцировавъ  $\varphi'$ . Тогда будемъ имѣть

$$\varphi''' = \varphi_0 (C) \frac{1}{x^3} + \varphi_0' (A) \frac{1}{x^2} + \frac{1}{6} \varphi_0''' (B).$$

гдѣ  $A$ ,  $B$ ,  $C$  будутъ ряды, расположенные по восходящимъ степенямъ  $x^2$ .

На основаніи условій I и II получимъ

$$\varphi_0' (N)_1 l + \frac{1}{6} l^3 \varphi_0''' (P)_1 = 0. \quad \dots \quad (1)$$

Условіе III даёт намъ

$$y'_0 \cdot l = \frac{P}{B_2} \left[ (H)_l \varphi'_0 l^4 + \frac{1}{6} (G)_l \varphi'''_0 l^6 \right] \dots (2)$$

Величину  $y'_0$  можно выразить на основаніи условій IV) и V) черезъ  $\varphi'_0$  и  $\varphi'''_0$ . Подставляя полученное такимъ образомъ значеніе для  $y'_0$  въ (2) будемъ имѣть

$$\begin{aligned} & \varphi'_0 \left[ (S)_l - 1 - V^2 (A)_l + W^2 V^2 \left( (L)_l - (H)_l \right) \right] + \\ & + \frac{\varphi'''_0 l^2}{6} \left[ (T)_l + 6V^2 - (B)_l V^2 + W^2 V^2 \left( (E)_l - (G)_l \right) \right] = 0. (3) \end{aligned}$$

Изъ уравненій (1) и (3), опредѣляющихъ значенія произвольныхъ постоянныхъ  $\varphi'_0$  и  $\varphi'''_0$ , сейчасъ же получаемъ условіе для опредѣленія величины критической нагрузки

$$\begin{aligned} & (P)_l \left[ (S)_l - 1 - V^2 (A)_l + W^2 V^2 \left( (L)_l - (H)_l \right) \right] - \\ & - (N)_l \left[ (T)_l + 6V^2 - V(B)_l^2 + W^2 V^2 \left( (E)_l - (G)_l \right) \right] = 0. (4) \end{aligned}$$

### Изгибъ балки сплошной нагрузкой.

§ 14. Разсмотримъ наиболѣе простой случай балки, однимъ концомъ задѣланной неподвижно. Ось балки предполагаемъ горизонтальной, стѣнка балки лежитъ въ вертикальной плоскости. Нагрузка распределена равномерно по оси балки и пусть  $p$  обозначаетъ нагрузку, приходящуюся на единицу длины. Оставляя прежній методъ разсужденій, положимъ, что чертежъ (23) въ двухъ проэціяхъ представляетъ видъ изогнутой оси балки, соответствующій первой возможной искривленной формѣ изгиба. Положимъ, что начало координатъ XYZ совпадаетъ съ центромъ тяжести свободнаго концеваго сѣченія балки. Возьмемъ какое-либо сѣченіе балки съ абсциссой  $x$ , для него построимъ систему координатъ  $\xi, \eta, \zeta$  и составимъ выраженія моментовъ  $M_\xi, M_\eta, M_\zeta$ .

Сила дѣйствующая на лѣвую отсѣченную часть балки по величинѣ будетъ равна  $px$ , по направленію вертикальна, точка приложенія ея  $A$  очевидно совпадаетъ съ центромъ тяжести лѣвой отсѣченной части упругой линіи.

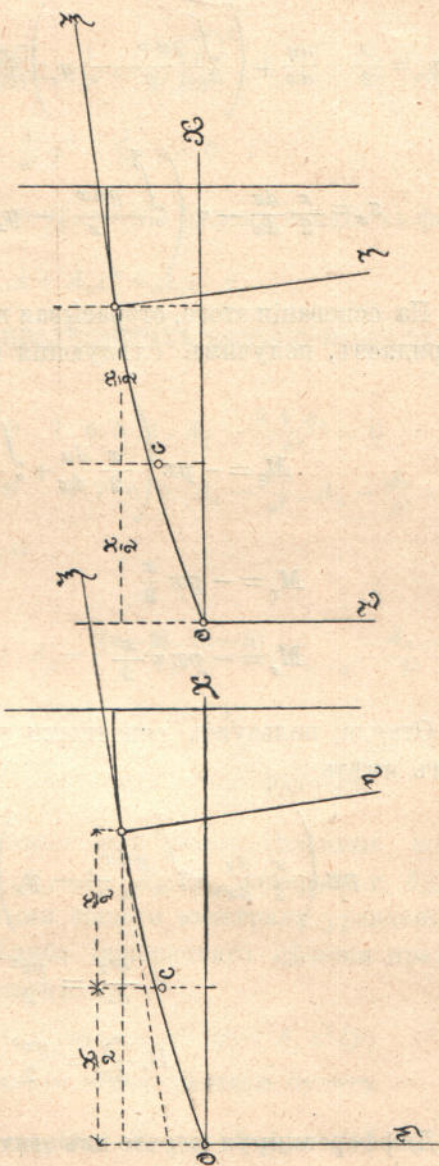
Координаты точки  $A$ , отнесенныя къ осямъ  $X$ ,  $Y$ ,  $Z$ , очевидно, при малыхъ прогибахъ, выражаются такимъ образомъ.

$$X = \frac{x}{2}$$

$$Y = \frac{\int_0^x z dx}{x} \dots (1)$$

$$Z = \frac{\int_0^x z dx}{x}$$

Не трудно составить теперь выраженія для координатъ той же точки  $A$  въ системѣ  $\xi$ ,  $\eta$ ,  $\zeta$ . Пользуясь таблицей косинусовъ § 4 будемъ имѣть



Черт. 23.

$$\xi_x = -\frac{x}{2} + \frac{dy}{dx} \left( \frac{\int_0^x y dx}{x} - y_x \right) + \frac{dz}{dx} \left( \frac{\int_0^x z dx}{x} - z_x \right)$$

$$\eta_x = \frac{x}{2} \cdot \frac{dy}{dx} + \left( \int_0^x \frac{y dx}{x} - y_x \right) + \varphi \left( \int_0^x \frac{z dx}{x} - z_x \right) \quad (2)$$

$$z_x = \frac{x}{2} \frac{dz}{dx} - \varphi \left( \int_0^x \frac{y dx}{x} - y_x \right) + \left( \int_0^x \frac{z dx}{x} - z_x \right)$$

На основаніи этого, отбрасывая величины малыя высшихъ порядковъ, получимъ слѣдующія выраженія для моментовъ

$$M_\xi = -px \left( \frac{x}{2} \frac{dy}{dx} + \int_0^x \frac{y dx}{x} - y_x \right)$$

$$M_\eta = -px \frac{x}{2}$$

$$M_z = -px \varphi \frac{x}{2}$$

Откуда, пользуясь основными уравненіями (см. § 3) будемъ имѣть

$$px \left( \frac{x}{2} \frac{dy}{dx} + \int_0^x \frac{y dx}{x} - y_x \right) = -C\varphi' + \frac{Dh^2}{2} \varphi'''$$

$$B_1 \frac{d^2 z}{dx^2} = \frac{px^2}{2} \quad (3)$$

$$B_2 \frac{d^2 y}{dx^2} = \frac{px^2}{2} \varphi$$

Дифференцируя первое изъ этихъ уравненій по  $x$  и, подставляя въ полученное такимъ образомъ выраженіе вмѣсто  $y''$  его значеніе изъ уравненія третьяго, получимъ для опредѣленія  $\varphi$  слѣдующее уравненіе

$$\frac{1}{B_1} \left( \frac{px^2}{2} \right)^2 \varphi = -C \varphi'' - \frac{Dh^2}{2} \varphi'''' \quad (4)$$

или вводя обозначенія

$$\frac{1}{a^2} = \frac{2C}{Dh^2}; \quad \frac{1}{b^8} = \frac{2\left(\frac{px^2}{2}\right)^2}{B_2 Dh^2} \dots \dots \dots (5) \quad ^1)$$

будемъ имѣть

$$\varphi^{iv} - \frac{1}{a^2} \varphi'' - \frac{1}{b^8} \varphi = 0 \dots \dots \dots (4)$$

Общій интеграль этого уравненія будемъ искать въ формѣ ряда

$$\varphi = A_0 + A_1 x + A_2 x^2 + A_3 x^3 + \dots$$

Для опредѣленія неопредѣленныхъ коэффициентовъ будемъ имѣть соотношенія

$$\begin{aligned} 4 \cdot 3 \cdot 2 \cdot 1 \cdot A_4 - \frac{2 \cdot 1}{a^2} \cdot A_2 &= 0 & 7 \cdot 6 \cdot 5 \cdot 4 \cdot A_7 - \frac{5 \cdot 4 \cdot A_5}{a^2} &= 0 \\ 5 \cdot 4 \cdot 3 \cdot 2 \cdot A_5 - \frac{3 \cdot 2}{a^2} \cdot A_3 &= 0 & 8 \cdot 7 \cdot 6 \cdot 5 \cdot A_8 - \frac{6 \cdot 5}{a^2} \cdot A_6 - \frac{A_6}{b^8} &= 0 \\ 6 \cdot 5 \cdot 4 \cdot 3 \cdot A_6 - \frac{4 \cdot 3}{a^2} \cdot A_4 &= 0 & \dots \dots \dots & \dots \dots \dots \end{aligned} \quad (6)$$

$$n(n-1)(n-2)(n-3) \cdot A_n - \frac{(n-2) \cdot (n-3)}{a^2} \cdot A_{n-2} - \frac{A_{n-8}}{b^8} = 0$$

откуда получаемъ такую общую формулу

$$A_n = A_{n-2} \frac{1}{n(n-1)a^2} + A_{n-8} \frac{1}{n(n-1)(n-2)(n-3)b^8} \dots \dots (7)$$

Пользуясь этимъ, можно все неопредѣленные коэффициенты выразить черезъ  $A_0$ ,  $A_1$ ,  $A_2$ ,  $A_3$ , которыя и будутъ произвольными постоянными общаго интеграла уравненія (4). Уголъ поворота какого-либо поперечнаго сѣченія представится тогда такимъ образомъ

$$\varphi = A_0 (m) + A_1 x (n) + A_2 x^2 (q) + A_3 x^3 (p) \dots \dots (8)$$

а крученіе, соответствующее этому сѣченію будетъ

$$\varphi' = A_0 (r) \frac{1}{x} + A_1 (s) + A_2 x (u) + A_3 x^2 (t) \dots \dots (9)$$

Въ выраженіяхъ (8) и (9) буквы  $(m)$ ,  $(n)$ ,  $\dots$ ,  $(t)$  обозначаютъ ряды, расположенные по восходящимъ степенямъ  $x^2$ .

<sup>1)</sup> Если принять во вниманіе, что  $\frac{px^2}{2} = M_x$ , то  $\frac{1}{b^8} = \frac{2M^2}{B_2 Dh^2}$ .

Такъ какъ въ дальнѣйшемъ намъ понадобятся значенія  $\phi$ -ий  $(m) \dots (t)$  при  $x=l$ , то мы ихъ даемъ здѣсь, предвари- тельно введя такія обозначенія

$$\frac{l^2}{a^2} = \frac{1}{V^2} \text{ и } \frac{l^8}{b^8} = \frac{(p^2 l^2)^6}{2 h^2 B_2 D} = W^2. \dots (10)$$

$$\begin{aligned} (m)_l = & 1 + \frac{W^2}{8 \dots 5} + \frac{W^4}{16 \dots 13 \cdot 8 \dots 5} + \frac{W^6}{24 \dots 21 \cdot 16 \dots 13 \cdot 8 \dots 5} + \dots \\ & + \frac{1}{V^2} \left[ \frac{W^2}{10 \dots 5} + W^4 \left( \frac{1}{18 \dots 15 \cdot 10 \dots 5} + \frac{1}{18 \dots 13 \cdot 8 \dots 5} \right) + \dots \right] + \\ & + \frac{1}{V^2} \left[ \frac{W^2}{12 \dots 5} + W^4 \left( \frac{1}{20 \dots 17 \cdot 12 \dots 5} + \frac{1}{20 \dots 15 \cdot 10 \dots 5} + \frac{1}{20 \dots 13 \cdot 8 \dots 5} \right) + \dots \right] + \\ & + \dots \end{aligned}$$

Въ общемъ видѣ рядъ можетъ быть представленъ такъ

$$(m)_l = \sum a_{mn} W^{2m} \frac{1}{V^{2n}}$$

гдѣ  $m=0,1,2,\dots, n=0,1,2,\dots$

При чемъ

$$\begin{aligned} a_{00} &= 1 \\ a_{m0} &= \frac{1 \cdot 2 \cdot 3 \cdot 4 \cdot 210 \cdot 11 \cdot 12 \dots (8m-7) (8m-6) (8m-5) (8m-4)}{8m} \\ a_{0n} &= 0 \end{aligned}$$

Далѣе,  $a_{mn}$  составляется изъ  $a_{m-1,n}$  и изъ  $a_{m,n-1}$  по фор- мулѣ

$$\begin{aligned} a_{mn} = & \frac{1}{(8m+2n-3)(8m+2n-2)(8m+2n-1)(8m+2n)} a_{m-1,n} + \\ & + \frac{1}{(8m+2n-1)(8m+2n)} a_{m,n-1} \end{aligned}$$

Подобнымъ же образомъ составляются и два другіе ряда  $n_i$  и  $p_i$

$$\begin{aligned} (n)_l = & 1 + \frac{W^2}{9 \dots 6} + \frac{W^4}{17 \dots 14 \cdot 9 \dots 6} + \frac{W^6}{25 \dots 22 \cdot 17 \dots 14 \cdot 9 \dots 6} + \dots \\ & + \frac{1}{V^2} \left[ \frac{W^2}{11 \dots 6} + W^4 \left( \frac{1}{19 \dots 16 \cdot 11 \dots 6} + \frac{1}{19 \dots 14 \cdot 9 \dots 6} \right) + \dots \right] + \end{aligned}$$

<sup>1)</sup> Въ тѣхъ случаяхъ, когда имѣется рядъ множителей, идущихъ въ порядкѣ чиселъ, мы для сокращенія письма пишемъ только крайніе множители, замѣняя промежуточные точками.





$$\begin{aligned}
& + \frac{1}{V^4} \left[ \frac{1}{6 \cdot 5 \cdot 4} + W^2 \left( \frac{1}{14 \cdot 13 \cdot 12 \cdot 7 \dots 4} + \frac{1}{14 \dots 10 \cdot 5 \cdot 4} + \frac{1}{14 \dots 8} \right) + \dots \right] + \\
& + \frac{1}{V^6} \left[ \frac{1}{8 \dots 4} + \dots \dots \dots \right] + \\
& + \dots \dots \dots
\end{aligned}$$

Если мы величину угла поворота свободного конца балки обозначимъ черезъ  $\varphi_0$ , то не трудно на основаніи (8) и (9) получить

$$\begin{aligned}
\varphi &= \varphi_0 (m) + \varphi_0' (n) x + \frac{1}{2} \varphi_0'' (q) x^2 + \frac{1}{6} \varphi_0''' (p) x^3 \\
\varphi &= \varphi_0 (r) \frac{1}{x} + \varphi_0' (s) + \frac{1}{2} \varphi_0'' (u) x + \frac{1}{6} \varphi_0''' (t) x^2
\end{aligned} \quad (11)$$

Для опредѣленія произвольныхъ постоянныхъ у насъ будутъ такія условія на концахъ

$$\begin{aligned}
\text{I и II) при } x=0 & \quad \varphi_0'' = 0, & C \varphi_0' - \frac{Dh^2}{2} \varphi_0''' = 0 \\
\text{III и IV) при } x=l & \quad \varphi_l = 0, & \varphi_l' = 0
\end{aligned}$$

которыя даютъ намъ слѣдующія два уравненія

$$\begin{aligned}
\varphi_0 (m)_l + \varphi_0' l \left( (n)_l + \frac{l^2}{a^2} \frac{1}{6} (p)_l \right) &= 0 \\
\varphi_0 (r)_l + \varphi_0' l \left( (s)_l + \frac{l^2}{a^2} \frac{1}{6} (t)_l \right) &= 0
\end{aligned} \quad (12)$$

Для возможности искривленія оси балки въ плоскости ХУ должно быть удовлетворено условіе

$$(m)_l \left( (s)_l + \frac{1}{6} \frac{1}{V^2} (t)_l \right) - (r)_l \left( (n)_l + \frac{1}{6} \frac{1}{V^2} (p)_l \right) = 0 \quad (13)$$

Ходъ расчета при опредѣленіи величины критической нагрузки остается прежній: По заданнымъ размѣрамъ балки и свойству матеріала вычисляемъ величину  $\frac{1}{V^2}$ , а потомъ изъ уравненія (13) опредѣляемъ соответствующую величину  $W^2$ . Называя величину  $W^2 V^2$  черезъ  $k^2$ , будемъ на основаніи обозначеній (10) имѣть

$$k^2 = \frac{\left( \frac{pl}{2} \right)^2 \cdot l^4}{B_2 C}$$

Величина  $\left(\frac{pl}{2}\right)^2 \cdot l^2$  есть ничто иное, какъ значеніе квадрата изгибающаго момента въ плоскости задѣлки балки. Называя его черезъ  $M$ , получимъ уже знакомую намъ формулу

$$M = \frac{k\sqrt{B_2 C}}{l} \dots \dots \dots (14)$$

### Предѣлы примѣнимости выведенныхъ формулъ.

§ 15 Формулы строительной механики, которыми мы пользовались при выводѣ основныхъ уравненій, приложимы къ совершенно упругимъ тѣламъ, и потому все результаты, относящіяся къ величинѣ критическихъ изгибающихъ моментовъ, имѣютъ дѣйствительное значеніе лишь до тѣхъ поръ, пока соответствующія имъ напряженія не превзошли предѣла упругости даннаго матеріала. За предѣлами упругости вычисленныя по нашимъ формуламъ значенія критическихъ изгибающихъ моментовъ, вообще говоря, не имѣютъ никакого реальнаго значенія, и ими можно пользоваться только временно, пока въ интересующей насъ области не имѣется достаточнаго количества научно поставленныхъ опытныхъ изслѣдованій.

Такъ какъ за предѣлами упругости деформациі растутъ быстрѣе напряженій, то надо полагать, что въ такихъ случаяхъ вычисленныя по нашимъ формуламъ значенія критическихъ изгибающихъ моментовъ будутъ преувеличены, и слѣдовательно, повѣряемая на устойчивость балки будутъ на дѣлѣ въ болѣе опасныхъ условіяхъ, чѣмъ то слѣдуетъ изъ теоретически выведенныхъ формулъ.

Особенно сомнительными въ смыслѣ устойчивости являются балки такихъ поперечныхъ сѣченій, при которыхъ отношеніе  $\frac{B_2}{B_1}$  очень мало, т. е. высокія балки склепанныя изъ тонкихъ желѣзныхъ листовъ, какъ, напримѣръ, балки мостовыя. Что касается прокатныхъ балокъ, то здѣсь приходится говорить только объ устойчивости наиболѣе высокихъ изъ нихъ;

балки небольшой высоты имѣютъ такія поперечныя сѣченія, при которыхъ можно считать устойчивость всегда обезпеченной.

Замѣтимъ, что стремленіе достигнуть какъ можно большей экономіи въ вѣсѣ балокъ приводитъ иногда къ не совсѣмъ удачнымъ типамъ поперечныхъ сѣченій. Для примѣра укажемъ на данныя новаго нѣмецкаго сортамента, опубликованныя въ Zeitsch. d. Ver. d. Ing. № 36 1905 г.

Если принимать во вниманіе отношеніе вѣса погонной единицы балки къ моменту сопротивленія поперечнаго сѣченія, то новый сортamentъ представляетъ по сравненію съ старымъ значительныя выгоды. Но мы должны будемъ придти къ совершенно инымъ заключеніямъ, если сравнимъ достоинства обоихъ сортаментовъ съ точки зрѣнія устойчивости.

Экономія въ вѣсѣ балки достигнута благодаря тому, что взята значительно меньшая толщина стѣнки и ширина полокъ; вслѣдствіе этого жесткость балки при крученіи  $C$  и отношеніе главныхъ жесткостей при изгибѣ  $\frac{B_2}{B_1}$  значительно уменьшились и балка стала менѣ устойчивой. Сдѣлаемъ примѣрныя вычисленія для наиболѣе высокаго поперечнаго сѣченія. Данныя сортамента таковы:

Высота  $h = 600$  mm

Ширина полокъ  $b = 180$  mm.

Толщина стѣнки  $d = 14,6$  mm.

Толщина полокъ  $t = 27,2$  mm.

На основаніи этихъ размѣровъ будемъ имѣть отношеніе главныхъ жесткостей при изгибѣ:

$$\frac{B_2}{B_1} = \infty \frac{1}{38}$$

Жесткость балки при крученіи на основаніи приближенныхъ пріемовъ изложенныхъ въ § 3 будетъ

$$C = \infty (12 \cdot (2,72)^3 + 20 \cdot (1,46)^3) \cdot G = \infty 303 G \text{ klg. кв. см.}$$

Наибольшая жесткость одной полки при изгибѣ будетъ

$$D = \frac{2,72 \cdot 18^3}{12} E = \infty 1320 E.$$

Полагая коэффициентъ поперечнаго сжатія для желѣза равнымъ  $\frac{1}{3}$ , получимъ

$$\frac{G}{E} = \frac{1}{2,5}$$

тогда

$$\frac{2C}{D} = \frac{2 \cdot 303}{1320} \cdot \frac{G}{E} = \infty 0,184.$$

Имѣя величину этого соотношенія, уже легко вычислить для всякаго пролета балки, какъ значенія  $\frac{1}{V^2}$ , такъ и значенія опасныхъ напряженій, соотвѣствующихъ какому либо опредѣленному роду нагрузки.

Положимъ что балка разсматриваемаго нами поперечнаго сѣченія лежитъ на двухъ опорахъ и нагружена по срединѣ сосредоточенной силой  $2P$ , приложенной къ верхнему канту балки. Пусть

$$\frac{h}{2l} = \frac{1}{12}$$

тогда

$$\frac{1}{V^2} = \frac{2C}{D} \left( \frac{l}{h} \right)^2 = 0,184 \cdot 36 = 6,6.$$

На основаніи вычисленной нами таблицы  $F$ , для полученнаго нами значенія величины  $\frac{1}{V^2}$ , опасныя напряженія будутъ

$$R = \infty 960 \text{ klg. кв. см.}$$

Если мы примемъ во вниманіе, что таблица  $F$  вычислена для

$$\frac{B_2}{B_1} = \frac{1}{100} \text{ и } \frac{h}{2l} = \frac{1}{10},$$

то не трудно сейчасъ же получить величину опасныхъ напряженій, соотвѣствующую нашему случаю.

$$R' = \frac{960 \cdot 10^4}{38 \cdot 144} = \infty 1750 \text{ klg. на кв. см.}$$

Если бы мы задались меньшимъ пролетомъ балки и положили бы, напримѣръ

$$\frac{h}{2l} = \frac{1}{10},$$

то тогда соответствующія напряженія таблицы  $F$  были бы, для

$$\frac{1}{V^2} = 0,184.25 = \infty 4,6,$$

$$R = 735 \text{ klg. на кв. см.}$$

Для нашей балки мы бы получили такія опасныя напряженія

$$R' = \frac{735.100}{38} = \infty 1930 \text{ klg. на кв. см.}$$

Какъ и нужно было ожидать, съ уменьшеніемъ пролета балка становится устойчивѣе, но все-таки опасныя напряженія остаются гораздо ниже разрушающихъ напряженій для желѣза.

Если мы возьмемъ наиболѣе высокую прокатную балку американскаго сортамента, то ея устойчивость оказывается еще менѣе обезпеченной. Размѣры сѣченія будутъ.

Высота  $h = 610 \text{ mm.}$

Толщина стѣнки  $b = 12,6 \text{ mm.}$

Ширина полокъ  $d = 177,8 \text{ mm.}$

Толщина полокъ  $t = 22,7 \text{ mm.}$

Для нея будемъ имѣть

$$\frac{B_2}{B_1} = \infty \frac{1}{42}$$

и

$$\frac{2C}{D} = \infty \frac{1}{7,5}$$

Если положимъ отношеніе

$$\frac{h}{2l} = \frac{1}{12}$$

то

$$\frac{1}{V^2} = \frac{1}{7,5} \cdot 36 = 4,8.$$

и на основаніи таблицы  $E$

$$R = 830 \text{ klg. на кв. см.}$$

Отсюда сейчасъ-же получаемъ опасныя напряженія для нашего случая

$$R' = \frac{830.100.100}{42.144} = \infty 1375 \text{ klg.}$$

Возьмемъ теперь примѣръ клепанной двутавровой балки. Балка <sup>1)</sup> состоитъ изъ вертикальной стѣнки  $70 \times 0,8$  см. и четырехъ уголковъ  $7 \times 7 \times 0,8$  см. Свободная длина балки

$$2l = 3,25 \text{ м.}$$

Вычисления даютъ намъ

$$B_1 = \infty 59140 E \text{ см.}^2 \text{ klg.}$$

$$B_2 = \infty 446 E \text{ см.}^2 \text{ klg.}$$

$$\frac{B_2}{B_1} = \infty \frac{1}{133}$$

и

$$D = \infty 223 E.$$

(Здѣсь мы взяли  $D = \frac{B_2}{2}$ ; если бы мы приняли во вниманіе жесткость однихъ уголковъ, то получили бы величину на  $1/2\%$  меньшую).

Величину  $C$  опредѣляемъ на основаніи приближенныхъ формулъ § 3

$$C = \infty 72 \cdot G.$$

откуда

$$\frac{2C}{D} = 0,257$$

и слѣдовательно

$$\frac{1}{V^2} = \frac{2C}{D} \left( \frac{l}{h} \right)^2 = 0,257 \cdot \left( \frac{3,25}{1,40} \right)^2 = 1,38.$$

Для случая нагрузки, приложенной къ верхнему канту балки по срединѣ пролета, таблица  $F'$  даетъ намъ величину опасныхъ напряженій

$$R = \infty 540 \text{ klg.}$$

относящихся къ случаю

$$\frac{B_2}{B_1} = \frac{1}{100} \text{ и } \frac{h}{2l} = \frac{1}{10}$$

Въ нашемъ случаѣ для величины опасныхъ напряженій будемъ имѣть

$$R' = \frac{540 \cdot 10^4}{133 \cdot 21,6} = \infty 1880 \text{ klg.}$$

<sup>1)</sup> Это поперечное сѣченіе соответствуетъ продольной балкѣ изъ проекта моста черезъ Русановскій протокъ Дняпра у Кіева (см. проектъ Бѣлелюбскаго и Кривошеина).

И здѣсь мы получили для опасныхъ напряженій величину значительно меньшую нежели разрушающія напряженія для желѣза. Какъ показываютъ приведенные примѣры, повѣрка устойчивости балки по заданнымъ размѣрамъ производится очень просто. На получаемыя этимъ путемъ величины критическихъ напряженій нужно смотрѣть какъ на тотъ опасный предѣлъ, который ни въ коемъ случаѣ не долженъ быть допускаемъ въ сооруженіи. Для опредѣленія величины допустимыхъ напряженій мы будемъ исходить изъ того положенія, что при достиженіи напряженіями величины вычисленныхъ критическихъ напряженій сооруженію угрожаетъ опасность въ той же мѣрѣ, какъ на примѣръ при растяженіи—достиженіе временнаго сопротивленія разрыву. Слѣдовательно допускаемыя напряженія при изгибѣ двутавровыхъ балокъ должны быть во столько разъ меньше вычисленныхъ критическихъ напряженій, во сколько разъ допускаемо напряженіе на разрывъ меньше временнаго сопротивленія разрыву.



## О П Ы Т Ы.

§ 1. Въ началѣ настоящей статьи <sup>1)</sup> были получены нѣкоторыя формулы, относящіяся къ скручиванью двутавровой балки съ однимъ задѣланнымъ концомъ. Такъ какъ этими формулами мы пользовались въ дальнѣйшихъ выводахъ при опредѣленіи величинъ критическихъ нагрузокъ, то провѣрка ихъ опытнымъ путемъ является очень важной. Особенно удобна для такой провѣрки формула <sup>2)</sup>:

$$\varphi = \frac{M}{C} \left[ l - x + \frac{a}{\text{Cosh} \frac{l}{a}} \cdot \sinh \frac{a}{x} - a \operatorname{tgh} \frac{l}{a} \right], \dots \dots (1)$$

дающая уголъ закручиванья для любого поперечнаго сѣченія балки.

Здѣсь  $l$ —длина балки,  $x$ —разстояніе выбраннаго сѣченія отъ свободнаго конца,  $M$ —скручивающій моментъ,  $C$ —жесткость при крученіи въ случаѣ свободныхъ концовъ и

$$a = h \sqrt{\frac{D}{2C}},$$

гдѣ  $h$ —высота и  $D$ —наибольшая жесткость при изгибѣ каждой полки.

Провѣрку формулы (1) приходится начать рядомъ предварительныхъ опытовъ по опредѣленію величинъ  $C$  и  $D$ .

<sup>1)</sup> См. Извѣст. Полит. Инст. 1905 г. вып. 3—4.

<sup>2)</sup> См. § 2 форм. (8).

Балки, надъ которыми производились опыты, были изготовлены въ механической мастерской института. Для полученія поперечныхъ сѣченій, по возможности, соответствующихъ теоретически разобранному случаю, обыкновенная двутавровая балка высотой 5" подвергалась остружкѣ.

Толщина стѣнки и полокъ была доведена до 3 mm. и высота до 119 mm. Для ширины полокъ брались величины 40 mm, 30 mm и 20 mm. Радиусъ окружности, сопрягающей полки съ вертикальной стѣнкой балки, взятъ былъ очень малымъ, чтобы вліяніе закругленія на величину жесткости было невелико. Относительно размѣровъ поперечнаго сѣченія замѣтимъ, что желательнее было бы имѣть меньшую толщину стѣнки и полокъ, т. к. тогда выведенныя формулы возможно было бы прилагать съ большей точностью, и явленія неустойчивости при изгибѣ были бы рѣзче выражены. Къ сожалѣнію при малой толщинѣ балка сильно гнется во время остружки, и работа становится не точной.

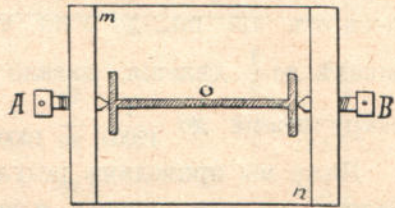
### Опредѣленіе величины $C$ .

§ 2. Такъ какъ при выбранныхъ нами поперечныхъ сѣченійхъ балки величина  $C$  не велика, опредѣленіе же ея должно быть сдѣлано какъ можно точнѣе, то пришлось отказаться отъ производства опыта на имѣющейся въ лабораторіи института машинѣ, и произвести скручиванье непосредственной нагрузкой.

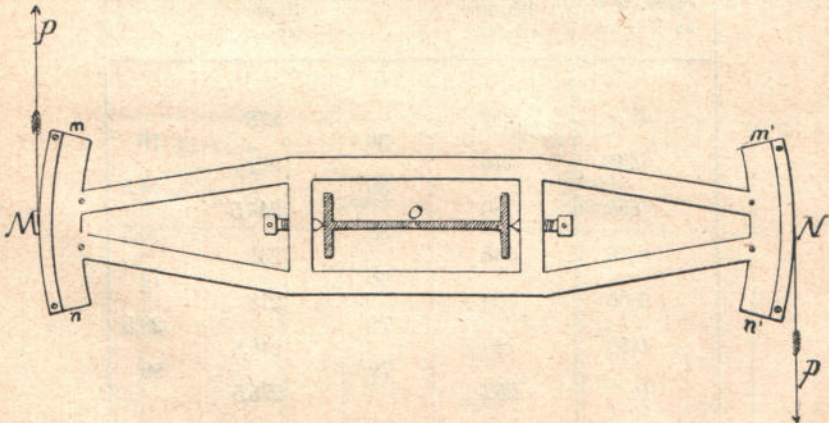
Для этого балка установлена въ вертикальномъ положеніи. Нижній конецъ ея стальнымъ остриемъ опирается на особую подушку  $mn$ , см. черт. (24) (а), и зажать двумя винтами  $A$  и  $B$  такъ, что концевыя поперечныя сѣченія полокъ остаются свободными.

Къ верхнему концу балки прикрѣпленъ рычагъ  $MN$ , представленный на черт. 24 (b). Концы рычаговъ  $mn$  и  $m'n'$ , очерченные по дугамъ круга радіуса 25 см., огибаются тонкими нитями, натяженіемъ которыхъ и производится скру-

чиванье балки. Чтобы достигнуть равенства натяжений обѣихъ нитей, концы ихъ перекинуты черезъ блоки и по низу соединены горизонтальнымъ стержнемъ. Нагрузка прилагается не къ каждой нити отдѣльно, а ставится на общую чашку, подвѣшенную къ срединѣ горизонтальнаго стержня. Этимъ приѣмомъ достигается и равенство натяжений и одновременность приложения усилій къ обѣимъ нитямъ. Такимъ образомъ осуществляется скручивающая балку пара силъ. Величина ея опредѣляется по величинѣ поставленнаго на чашку груза и по длинѣ рычага  $MN$ . Въ нашемъ случаѣ эта длина равнялась 50 см., и потому грузъ въ 1 klg., поставленный на чашку, давалъ пару равную 0,25 klg. mt.



Черт. 24 а.



Черт. 24 в.

Для установки балки и прикрѣпленія блоковъ мы пользовались рамой машины Amsler'a для изгиба.

Жесткость балки опредѣлялась по углу закручиванья,

который измѣрялся зеркальнымъ приборомъ. На определенномъ разстояніи одна отъ другой на балкѣ закрѣплялись зажимными винтами двѣ рамочки съ зеркалами. Устанавливая въ нѣкоторомъ разстояніи отъ зеркалъ горизонтальныя шкалы, и дѣлая по нимъ отсчеты во время скручиванія, можно опредѣлить уголъ закручиванія съ большой точностью. При нашихъ опытахъ разстояніе до шкалы бралось отъ 1,5 mt., до 2 mt. что, при точности отсчетовъ по шкалѣ до  $\frac{1}{4}$  дѣленія, давало возможность измѣрять углы закручиванія до  $\frac{1}{12000} - \frac{1}{16000}$

Ниже мы приводимъ результаты испытаній всѣхъ трехъ балокъ на скручиванье и вычисленныя по этимъ даннымъ величины  $C$ .

#### Балка № 1.

Ширина полокъ 40 mm. Разстояніе между зеркалами  $l = 50$  см. Разстояніе отъ зеркала до шкалы 1,5 mt.

Величина скруч. мом. въ klg. mt.	О Т С Ч Е Т Ы.			
	Верхнее зеркало.		Нижнее зеркало.	
0	252		276	
0,25	216	36	261	15
0,50	180	36	246,5	14,5
0,75	145	35	232	14,5
1,00	109	36	218	14
0,50	180	71	246,5	28,5
0	252	72	275,5	29

Вычисленная на основаніи этихъ данныхъ жесткость.

$$c = \frac{M.l}{\Delta\varphi} = 177.10^3 \text{ klg. cm}^2.$$

## Балка № 2.

Ширина полокъ 30 mm. Разстояніе между зеркалами  
 $l = 80$  см. Разстояніе отъ зеркала до шкалы 2 mt.

Величина скруч. мом. въ klg. mt.	О Т С Ч Е Т Ы.			
	Верхнее зеркало.		Нижнее зеркало.	
0	65		115	
0,25	127	62	100	15
0,50	190	63	85,5	14,5
0,25	127,5	62,5	100	14,5
0	65	62,5	115	15

Вычисленная на основаніи этихъ данныхъ жесткость.

$$C = 168.10^3 \text{ klg. cm}^2.$$

## Балка № 3.

Ширина полокъ 20 см. Разстояніе между зеркалами  
 $l = 60$  см.

Разстояніе отъ прибора до шкалы 2 mt.

Величина скруч. мом. въ klg. mt.	О Т С Ч Е Т Ы.			
	Верхнее зеркало.		Нижнее зеркало.	
0	29,5		193	
0,25	87	57,5	176	17
0,50	114,5	57,5	159	17
0,75	202	57,5	142	17
0,50	146	56	158,5	16,5
0,25	88	58	175	16,5
0	30	58	193	18

Повторныя испытанія для той же балки, но при меньшей нагрузкѣ, дали.

Величина скруч. мом. въ klg. mt.	О Т С Ч Е Т Ы.			
	Верхнее зеркало.		Нижнее зеркало.	
0	29,5		193	
0,125	58	28,5	184,5	8,5
0,25	87	29	176	8,5
0,50	144,5	57,5	159	17
0,25	87	57,5	176	17
0,125	58,5	28,5	184	8
0	29,5	29	193	9

Вычисленная на основаніи этихъ данныхъ жесткость балки

$$C = 148.10^3 \text{ klg. cm}^2.$$

Наибольшія погрѣшности въ приведенныхъ опытахъ получаются благодаря неточности отсчетовъ по шкалѣ. Такъ какъ для вычисленія угла закручиванья приходится сдѣлать четыре отсчета, то погрѣшность можетъ достигать 1%.

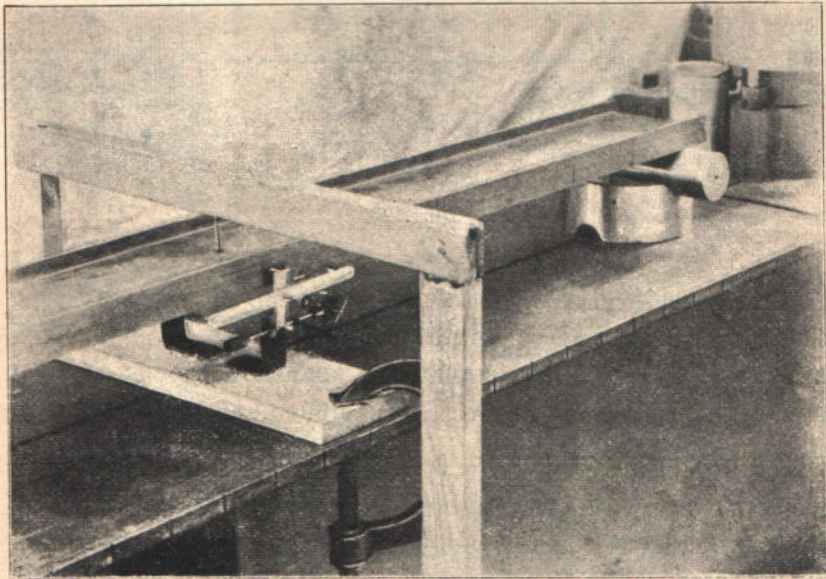
Что касается погрѣшностей отъ неточности опредѣленія разстоянія между зеркалами и разстоянія отъ зеркала до плоскости шкалы, то онѣ могутъ быть сдѣланы очень малыми. Треніе въ блокахъ, черезъ которые перекинута нить, также оказываетъ вліяніе на результаты. Чтобы опредѣлить погрѣшности, происходящія отъ этого тренія, блоки были предварительно испытаны такимъ образомъ: Черезъ блокъ перекидывалась нить, къ концамъ которой прикрѣплялись гири равнаго вѣса, и потомъ опредѣлялась величина той добавочной нагрузки, при которой одна изъ гирь начинаетъ перевѣшивать другую.

При опытахъ съ балкой № 1 треніе не превосходило 0,1% нагрузки на блокъ. Столь малое треніе получалось благодаря тому, что блоки взяты были малаго вѣса (сдѣланы

изъ алюминія), діаметры осей сдѣланы были равными 0,75 мм., и концы ихъ опирались на камни изъ часового механизма. При дальнѣйшихъ испытаніяхъ отъ большихъ нагрузокъ камни лопнули, и ихъ пришлось замѣнить подшипниками изъ закаленной стали. Трѣніе повысилось до 0,3%.

### Опредѣленіе жесткости балки при изгибѣ.

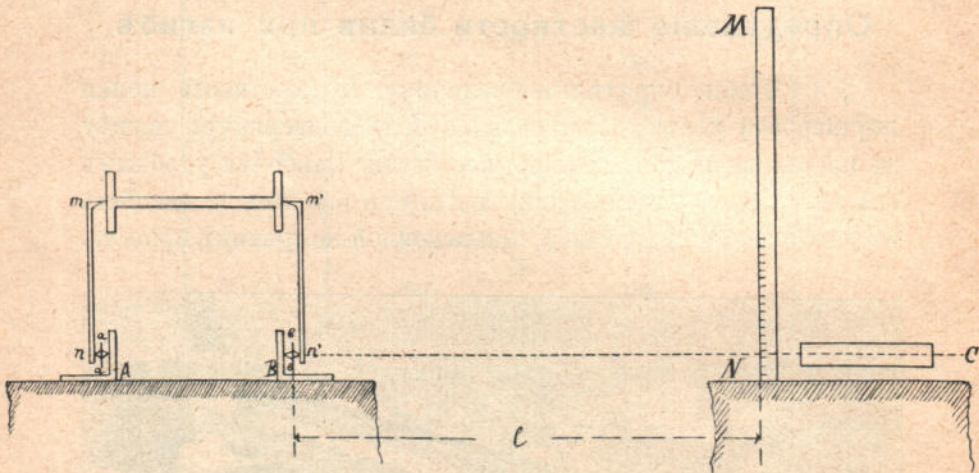
§ 3. Чтобы опредѣлять величину  $D$  (жесткость полки двутавровой балки) балка должна быть подвергнута изгибу въ плоскости ея наименьшей жесткости. Наиболѣе удобнымъ оказалось расположить балку на двухъ опорахъ и изгибать сосредоточенной нагрузкой, приложенной по срединѣ пролета.



Способъ приложенія нагрузки и устройство опоръ видны на прилагаемой фотографіи. Жесткость при изгибѣ можетъ быть вычислена на основаніи измѣренія стрѣлки прогиба по срединѣ пролета. Чтобы достигнуть болѣе точности измѣренія, мы воспользовались зеркальнымъ приборомъ Мертенса, обыкновенно употребляемымъ при измѣреніи растяженій.

Расположение прибора видно на приложенной фотографии и на чертежѣ (25),

Концы  $m$  и  $m'$  пластинокъ  $mn$  и  $m'n'$  остриями своими  $m$  и  $m'$  вдавлены въ полки испытываемой двутавровой балки. Въ точкахъ  $n$  и  $n'$  пластинки прижаты къ стальнымъ призмамъ, составляющимъ одно цѣлое съ зеркалами  $aa$  и  $bb$ .



Черт. 25.

При изгибѣ балки пластинки  $mn$  и  $m'n'$  опускаются и заставляютъ вращаться призмы, опирающіяся на неподвижные уголки  $A$  и  $B$ . Съ призмами вращаются зеркала, направленные на шкалу  $MN$ . Дѣлая при помощи зрительной трубы отсчеты по шкалѣ съ точностью до  $\frac{1}{4}$  дѣленія, мы можемъ опредѣлить стрѣлку прогиба съ точностью до  $\frac{1}{3000} - \frac{1}{4000}$ .

Погрѣбности, происходящія отъ неточнаго опредѣленія пролета балки и разстоянія отъ плоскости зеркала до шкалы могутъ быть сдѣланы очень малыми.

При нѣкоторыхъ опытахъ зеркальные приборы устанавливались также и на концахъ балки для опредѣленія осадки опоръ. Отсчеты по этимъ зеркаламъ при нашихъ нагрузкахъ были всегда меньше  $\frac{1}{4}$  дѣленія, и потому мы ихъ нигдѣ не принимаемъ въ расчетъ.



Приводимъ теперь результаты, полученные при нѣкоторыхъ опытахъ, и вычисленные по этимъ даннымъ жесткости балокъ при изгибѣ.

**Балка № 1.**

Пролетъ балки  $l = 1196$  мм.

Увеличеніе зеркальнаго прибора 430.

Величина нагрузки въ klg.	О Т С Ч Е Т Ы.			
	Зеркало 1.		Зеркало 2.	
0	215,5		60,0	11
0,5	205,0	10,5	71,0	11
1,0	194,0	11	82,0	11,75
1,5	183,25	10,75	93,75	11,5
2,0	172	11,25	105,25	23
3,0	150	22	128,25	23,75
4,0	128	22	152	

Черезъ пять минутъ приступлено къ разгрузкѣ балки и получены такіе отсчеты.

Величина нагрузки въ klg.	О Т С Ч Е Т Ы.			
	Зеркало 1.		Зеркало 2.	
4,0	127,75		152,0	23
3,0	149,5	21,75	129,0	23
2,0	171,0	21,5	106,0	11,5
1,5	182,0	11	94,5	11,5
1,0	193,0	11	83,0	11,75
0,5	204,25	11,25	71,25	11
0	215	10,75	60,25	

Отсчеты по зеркаламъ установленнымъ на опорахъ все время остаются меньше  $\frac{1}{4}$  дѣленія и потому мы ихъ вовсе не приводимъ.

Опредѣленная по среднему значенію стрѣлки прогиба величина жесткости балки будетъ

$$B_2 = \frac{P.l^3}{48.f} = 684.10^4 \text{ klg. cm}^2.$$

### Балка № 2.

Пролетъ  $l = 80$  см. Разстояніе отъ шкалы до плоскости зеркала 1628 mm. При этомъ увеличеніе прибора 500.

Величина нагрузки въ klg.	О Т С Ч Е Т Ы.			
	Зеркало 1.		Зеркало 2.	
0	439,5		294	
1,0	421,25	18,25	313	19
2,0	403,0	18,25	331,75	18,75
4,0	366,0	37	370,25	38,5
6,0	328,5	37,5	409	38,75

При разгрузкѣ черезъ пять минутъ получены такіе отсчеты.

Величина нагрузки въ klg.	О Т С Ч Е Т Ы.			
	Зеркало 1.		Зеркало 2.	
6,0	328,25		410	
4,0	364,75	36,5	372	38
2,0	401,25	36,5	334	38
1,0	420,5	19,25	314	20
0	439,25	18,75	294,25	19,75

Величина жесткости при изгибѣ, опредѣленная по среднему значенію стрѣлки прогиба, будетъ

$$B_2 = 283.10^4 \text{ klg. cm}^2.$$

### Балка № 3.

Пролетъ  $l = 80$  см. Разстояніе отъ шкалы до зеркала 1628 мм.

Увеличеніе прибора 500.

Величина нагрузки въ klg.	О Т С Ч Е Т Ы.			
	Зеркало 1.		Зеркало 2.	
0	286		499,5	
1	345	59	442	57,5
2	406	61	381	61
3	466,5	60,5	319	62
4	527,5	61	257	62

При разгрузкѣ черезъ пять минутъ получены отсчеты:

Величина нагрузки въ klg.	О Т С Ч Е Т Ы.			
	Зеркало 1.		Зеркало 2.	
4	528		257	
3	467,5	60,5	319	62
2	408	59,5	379,5	60,5
1	348	60	439	59,5
0	286	62	499,5	60,5

Вычисленная по среднему значенію стрѣлки прогиба величина жесткости балки будетъ

$$B_2 = 883.10^3 \text{ klg. cm}^2.$$

На основаніи полученныхъ изъ опытовъ величинъ  $B_2$  не трудно опредѣлить и соотвѣтствующія значенія  $D$ ,—нужно только по геометрическимъ размѣрамъ балки, задавшись модулемъ упругости  $E$ , вычислить жесткость стѣнки <sup>1)</sup>, вычесть ее изъ соотвѣтствующаго значенія  $B_2$  и разность раздѣлить пополамъ. Опредѣленные такимъ образомъ величины для нашихъ балокъ имѣютъ слѣдующія значенія:

Балка № 1	$D = 339.10^4 \text{ klg. cm}^2.$
Балка № 2	$D = 139.10^4 \text{ klg. cm}^2.$
Балка № 3	$D = 439.10^3 \text{ klg. cm}^2.$

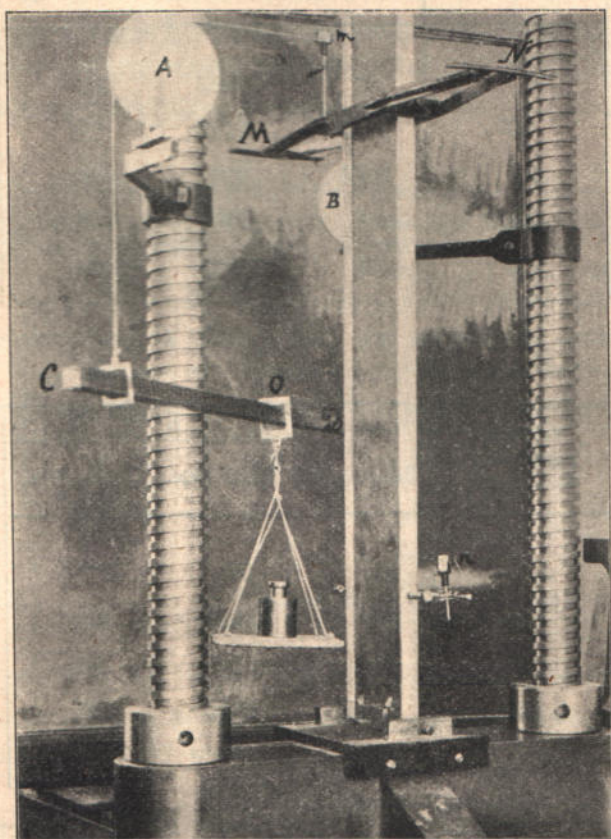
### Скручиванье балки моментомъ, приложеннымъ по срединѣ пролета.

§ 4. Если скручивающій моментъ приложенъ по срединѣ пролета балки и концы балки удерживаются, то въ силу симметріи среднее сѣченіе должно оставаться плоскимъ. Въ такомъ случаѣ къ каждой половинѣ балки можетъ быть приложена формула (1) и по ней вычисленъ уголъ поворота любого сѣченія балки относительно ея средняго сѣченія. Тотъ же уголъ поворота можетъ быть полученъ и опытнымъ путемъ. Сравненіе двухъ результатовъ покажетъ насколько близка къ истинѣ формула (1).

Изъ прилагаемой фотографіи видно, какъ осуществлялось скручиванье. Рычагъ  $MN$  съ помощью двухъ винтовъ закрѣпленъ по срединѣ высоты балки. Нити, огибающія концы рычага, перекинуты черезъ блоки  $A$  и  $B$  и соединены по низу рычагомъ  $CD$ . Нагрузка подвѣшена къ точкѣ  $O$ —срединѣ рычага  $CD$ . Способъ закрѣпленія концовъ балки также совершенно ясенъ. Углы поворота отдѣльныхъ сѣченій измѣрялись зеркальнымъ приборомъ. Одно изъ зеркалъ  $m$  прикрѣплено къ рычагу  $MN$  и даетъ поворотъ средняго

<sup>1)</sup> Эта величина мала по сравненію съ жесткостью полокъ, и даже значительныя погрѣшности при ея опредѣленіи не окажутъ существеннаго вліянія на величину  $D$ .

сѣченія. Кромѣ того два зеркала помѣщены въ равныхъ разстояніяхъ отъ середины балки; по нимъ возможно опре-



дѣлять углы поворота, соотвѣтствующіе выбраннымъ сѣченіямъ.

Результаты полученные изъ опыта приводимъ ниже.

#### Балка № 1.

Зеркала помѣщены въ разстояніи 50 см. отъ средняго сѣченія балки. Разстояніе отъ шкалы до плоскости зеркаль 150 см.

Длина балки между верхними и нижними зажимными винтами равна 127 см.

Величина скруч. мом. въ klg. mt.	О Т С Ч Е Т Ы.		
	Верхи. зерк.	Среди. зерк.	Нижн. зерк.
0	124	252,5	119
1,25	114,5	219,5	110
2,0	108,5	200	104
1,25	114	219	109,5
0	124	252,5	119

Зеркала помѣщены въ разстояніи 40 см. отъ средняго сѣченія.

Величина скруч. мом. въ klg. mt.	О Т С Ч Е Т Ы.		
	Верхи. зерк.	Среди. зерк.	Нижн. зерк.
0	144	267	116
1,25	128	234,5	100
2,0	118	214,5	90
1,25	126,5	234,5	100
0	143	267	116

Зеркала помѣщены въ разстояніи 30 см. отъ средняго сѣченія.

Величина скруч. мом. въ klg. mt.	О Т С Ч Е Т Ы.		
	Верхи. зерк.	Среди. зерк.	Нижн. зерк.
0	209	267	192
1,25	186,5	234	214,5
2	173	214,5	228
1,25	186	234	214,5
0	208,5	267	192

Для большей наглядности мы приводимъ въ отдѣльной таблицѣ (3) величины угловъ поворота, полученныя изъ опыта и вычисленныя аналитически по формулѣ (1). Въ четвертомъ столбцѣ приведены углы закручиванья, которые получились бы, если-бы мы пренебрегали изгибомъ пологъ и примѣнили обычную формулу крученія.

Расстояніе сѣченія отъ середины балки.	Углы получ. изъ опыта.	Углы вычислены по формулѣ (1).	Углы вычисл. по обыч. форм.	3)
50 см.	0,0125	0,0114 *	0,0285	
40 см.	0,0088	0,0080	0,0228	
30 см.	0,0053	0,0049	0,0171	

### Балка № 2.

Расстояніе отъ плоскости зеркалъ до шкалъ 2 mt.

Длина балки между верхними и нижними зажимными винтами равна 127 см.

Зеркала закрѣплены въ разстояніи 50 см. отъ средняго сѣч. балки.

Величина скруч. мом. въ kg. mt.	О Т С Ч Е Т Ы.		
	Верхи. зерк.	Среди. зерк.	Нижн. зерк.
0	115	64,5	202
2	86	164	173,5
0	115	64,5	202

Зеркала закрѣплены въ разстояніи 40 см. отъ средняго сѣченія балки.

Величина скруч. мом. въ klg. mt.	О Т С Ч Е Т Ы.		
	Верхн. зерк.	Средн. зерк.	Нижн. зерк.
0	123	27,5	67,5
1,25	92,5	90	36,5
2	74	127	18,5
1,25	92	91	36,0
0	122,5	28	68

Зеркала помѣщены въ разстояніи 30 см. отъ средняго сѣченія балки.

Величина скруч. мом. въ klg. mt.	О Т С Ч Е Т Ы.		
	Верхн. зерк.	Средн. зерк.	Нижн. зерк.
0	179,5	28	90
2	112	127,5	22,5
0	179,5	28	90

Результаты опытовъ и вычисленій для балки № 2 приведены въ слѣдующей таблицѣ.

Разстояніе сѣченія отъ середины балки.	Углы получ. изъ опыта.	Углы вычисл. по формулѣ (1).	Углы вычисл. по обычн. форм.
50 см.	0,0177	0,0167	0,0298
40 см.	0,0126	0,0119	0,0238
30 см.	0,0080	0,0075	0,0179



## Балка № 3.

Углы закручиванія были измѣрены только для сѣченій отстоящихъ на 50 см. отъ середины балки.

Разстояніе отъ плоскости зеркала до шкалы 2 mt.

Длина балки между верхними и нижними зажимными винтами равна 127.

Величина скруч. мом. въ klg. mt.	О Т С Ч Е Т Ы.		
	Верхи. зерк.	Среди. зерк.	Нижн. зерк.
0	127,5	136,5	248,75
0,25	122,75	154,5	244
0,50	118	172	239
0,75	113	190	234
1,25	103	226	224
0,75	112,5	191	233,5
0,50	117,5	173	238,75
0,25	122,5	155	244
0	127,5	136,5	248,75

Вычисленный на основаніи этихъ наблюденій уголъ закручиванія будетъ

$$\Delta\varphi = \frac{66}{4000} = 0,0165.$$

Тотъ же уголъ вычисленный по формулѣ (1) будетъ

$$\Delta'\varphi = 0,0152.$$

Сравнивая результаты, полученные для всѣхъ трехъ балокъ, мы видимъ, что наша формула даетъ для величины

жесткости значенія нѣсколько преувеличенныя. Разность между данными опытовъ и вычисленными по формулѣ (1) значеніями угловъ закручиванія колеблется въ предѣлахъ отъ 6<sup>0</sup>/<sub>0</sub> до 8<sup>0</sup>/<sub>0</sub>.

Результаты вычисленій по формулѣ (1) еще ближе совпадутъ съ данными опытовъ, если вмѣсто высоты балки  $h$  ввести разстояніе между центрами тяжести поперечныхъ сѣченій полокъ. Мы попробовали ввести эту поправку для балки № 2 и тогда получили разность между данными опыта и результатами формулы (1) всего въ 3,5<sup>0</sup>/<sub>0</sub>.

На основаніи этихъ результатовъ можно считать, что основная формула крученія, которой мы пользуемся при опредѣленіи критическихъ значеній нагрузокъ, опытами подтверждается.

### **Изгибъ балки въ плоскости ея наибольшей жесткости.**

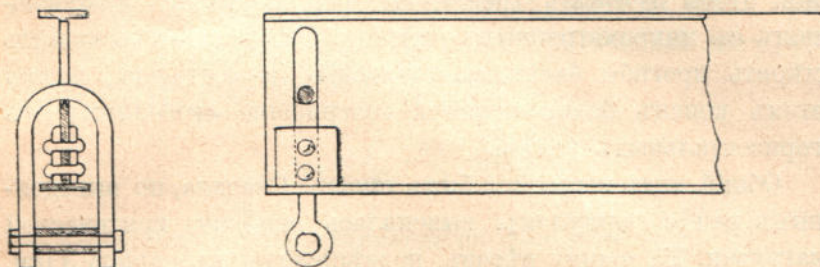
§ 5. Для наблюденія надъ явленіемъ искривленія плоской формы изгиба двутавровой балки выбранъ былъ случай балки задѣланной однимъ концомъ. Такой способъ закрѣпленія наиболѣе просто осуществляется <sup>1)</sup>—нужно только зажать конецъ балки между двумя точно пристроганными поверхностями. Этому же случаю соотвѣтствуютъ наименьшія значенія критическихъ изгибающихъ моментовъ, а значитъ и наименьшія напряжения.

Изъ трехъ ранѣ испытанныхъ нами балокъ для дальнѣйшихъ опытовъ служила балка № 3, такъ какъ по расчету только для нея величина критическихъ напряженій оказалась меньше предѣла упругости желѣза.

Для закрѣпленія конца балки мы воспользовались машиной Amsler'a для изгиба балокъ сосредоточенными грузами.

<sup>1)</sup> Въ случаѣ балки на двухъ опорахъ закрѣпленіе концовъ должно быть устроено такимъ образомъ, чтобы сохранилась возможность свободного вращенія концевыхъ поперечныхъ сѣченій балки относительно ихъ главныхъ осей инерціи.

Чтобы при изгибѣ избѣжать мѣстныхъ деформаций, зажатый конецъ былъ усиленъ двумя желѣзными накладками плотно пригнанными къ полкамъ и стѣнкѣ двутавровой балки. Для



Черт. 26.

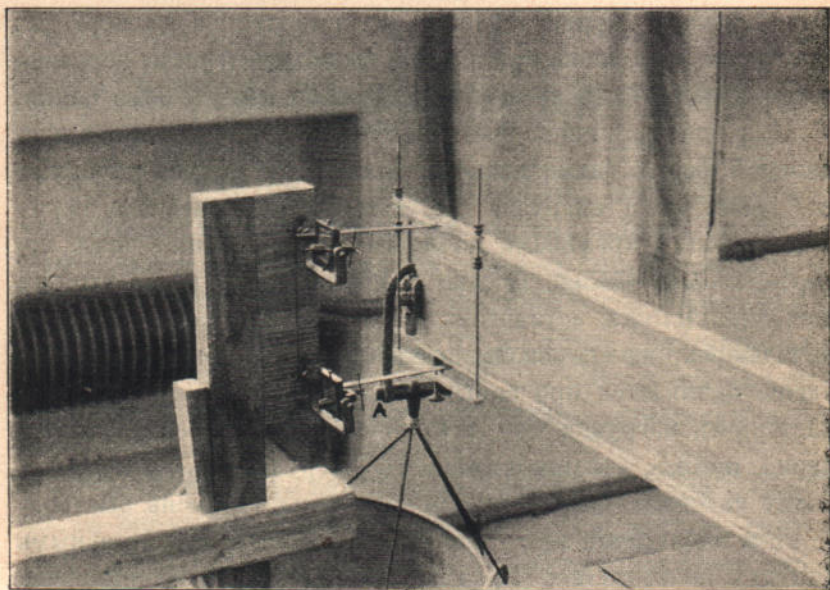
приложенія изгибающей нагрузки на свободномъ концѣ балки было сдѣлано приспособленіе, представленное на черт. 26. Благодаря ему, точка приложенія изгибающей силы довольно точно можетъ быть приведена къ совпаденію съ осью балки.

При исполнѣнн точной постановкѣ опыта, при идеально правильной формѣ балки изгибъ долженъ оставаться плоскимъ все время, пока нагрузка не достигла критическаго значенія. За этими предѣлами начинается искривленіе балки, которое, вообще говоря, быстро возрастаетъ съ возрастаніемъ нагрузки. Вліяніе неточности установки и нѣкоторой первоначальной кривизны оси балки сказывается въ томъ, что искривленіе начинается при самыхъ малыхъ нагрузкахъ. Съ возрастаніемъ нагрузки это искривленіе растетъ сначала медленно, потомъ, съ приближеніемъ нагрузки къ ея критическому значенію, возрастаніе кривизны идетъ очень быстро.

Для наблюденія этого явленія мы при предварительныхъ опытахъ пользовались зеркальнымъ приборомъ Баушингера. Расположеніе зеркалъ и способъ ихъ прикрѣпленія видѣны изъ приложенной фотографіи. Съ помощью зрительной трубы довольно точно можно опредѣлять горизонтальныя перемѣщенія верхняго и нижняго края концевой поперечнаго сѣченія балки, и по полученнымъ перемѣщеніямъ вычислять прогибъ балки въ горизонтальной плоскости и уголъ закручиванія. При дальнѣйшихъ опытахъ мы отка-

зались отъ этого способа измѣреній, такъ какъ оказалось, что даже незначительное треніе зеркальнаго прибора сказывается на величинѣ появляющихся искривленій. Чтобы избѣжать треній, мы воспользовались микроскопомъ съ микрометреннымъ винтомъ. Онъ даетъ возможность мѣрить прогибы балки съ точностью до 0,01 мм., и при этомъ конецъ балки остается совершенно свободнымъ отъ горизонтальныхъ усилій.

Общій ходъ испытанія былъ таковъ. Сначала, по выведеннымъ ранѣе формуламъ, выяснялась величина критической нагрузки. На чашку вѣсовъ, подвѣшенную къ серыгѣ А (см. фотогр.), устанавливалась нагрузка на 30—40 klg. меньше вычисленной. Дальнѣйшее нагруженіе производилось посте-



пенно и при этомъ дѣлались отсчеты по микроскопу или шкалѣ зеркальнаго прибора черезъ каждые два килограмма. Чтобы избѣжать толчковъ и сотрясеній, нагрузка производилась водой. Для этой цѣли на чашкѣ съ грузами устанавливался резервуаръ, въ который осторожно приливали воду по два килограмма. Въ нѣкоторыхъ случаяхъ, когда вѣсъ воды,

помѣщающейся въ резервуарѣ, оказывался недостаточнымъ, пользовались для нагрузки мелкой дробью.

Первые опыты были произведены при пролетѣ балки  $l = 113$  см., считая отъ плоскости закрѣпленія до точки приложенія изгибающей силы. Величина критической нагрузки вычислена по слѣдующимъ даннымъ

$$\frac{1}{V^2} = \frac{l^2}{h^2} \cdot \frac{2C}{D} = 60,8.$$

Коэффициентъ  $k$  опредѣляется по формулѣ

$$k \frac{4,013}{(1 - V)^2} = 5,28.$$

Значеніе критическаго изгибающаго момента будетъ

$$M_{кр.} = \frac{K \sqrt{B_2 C}}{l} = 16900 \text{ klg. см.}$$

Слѣдовательно величина критической изгибающей силы будетъ

$$P_{кр.} = \frac{16900}{113} = 150 \text{ klg.}$$

При взятыхъ нами размѣрахъ балки, этой нагрузкѣ будутъ соответствовать напряженія, величина которыхъ въ опасномъ сѣченіи не превосходитъ 1110 klg. на кв. см. Слѣдовательно явленіе искривленія будетъ происходить въ предѣлахъ упругости.

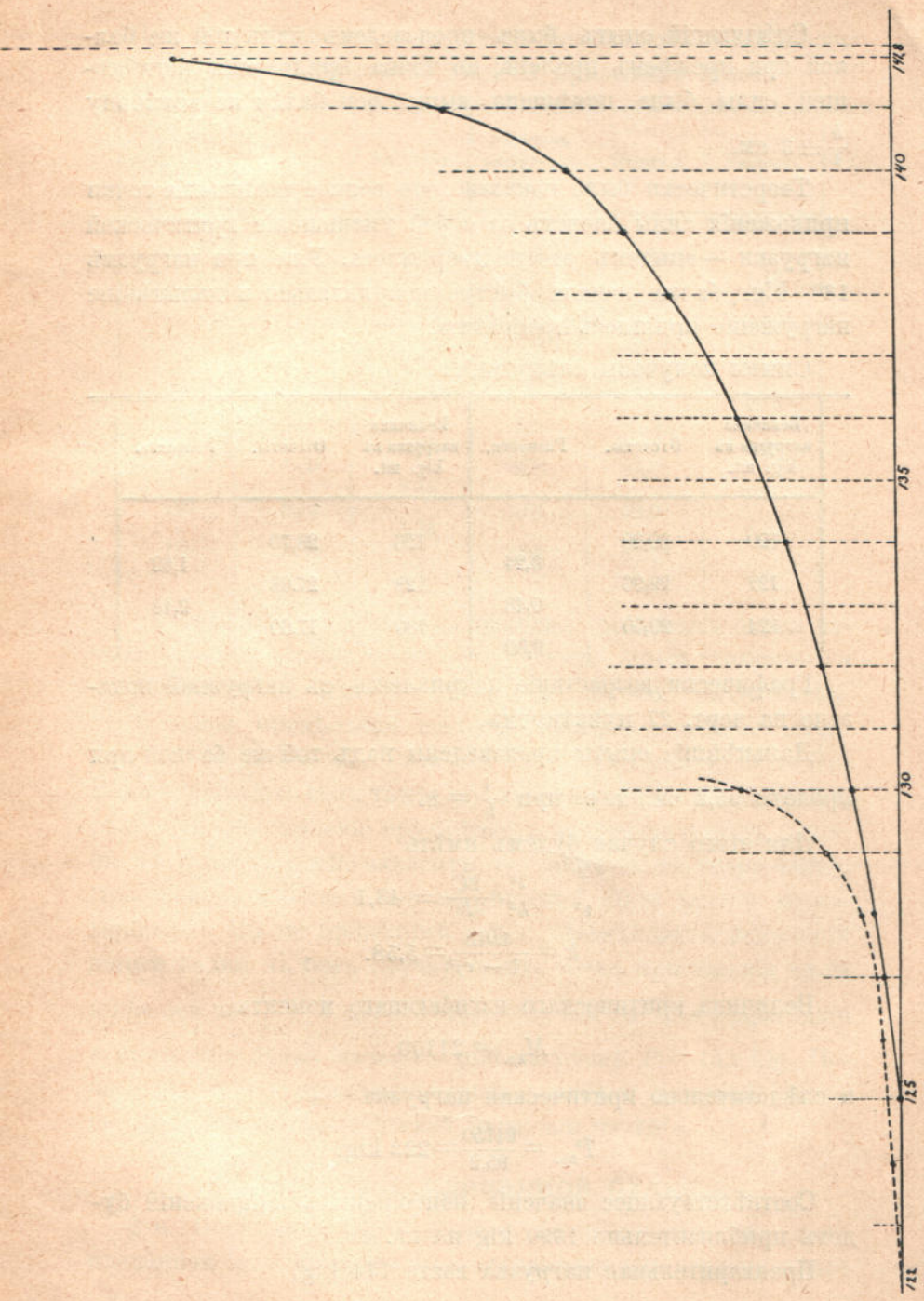
Раньше нежели приступить къ измѣреніямъ на чашку была положена предварительная нагрузка, которая вмѣстѣ съ вѣсомъ самой чашки и резервуара для воды составила 125 klg.

Дальнѣйшее нагруженіе производилось водой, измѣренія искривленій велись микроскопомъ, и полученные отсчеты приведены ниже.

Величина нагрузки въ klg.	Отчеты.	Разности.	
125	22	70	
126	21,30	1,40	
128	19,90	1,70	
130	18,20	2,20	
132	16,00	2,85	
134	13,15	3,85	
136	9,30	5,40	
138	3,90		приборъ переставленъ.
138	13,86	3,56	
139	10,30	4,62	
140	5,68		приборъ переставленъ.
140	14,35	9,09	
141	5,26		приборъ переставленъ.
141	18,40	22,68	
141,8	— 4		

Дальнѣйшее нагруженіе было прекращено, такъ какъ балка начала быстро искривляться. Результаты опыта представлены для большей наглядности графически на черт. 27 сплошной линіей.

По оси абциссъ отложены, нагрузки, а по оси ординатъ соотвѣтствующія имъ искривленія. Съ приближеніемъ нагрузки къ 142 klg. искривленіе идетъ очень быстро—дальнѣйшее нагруженіе невозможно. Дѣйствительная предѣльная нагрузка оказалась меньше вычисленной, и разность составляетъ около 5<sup>0</sup>/<sub>0</sub>.



Черт. 27.

Слѣдующій опытъ былъ произведенъ надъ той же балкой при прежнемъ пролетѣ; но точка приложенія изгибающей силы была помѣщена выше оси балки на величину  $\frac{h}{4} = 3$  см.

Теоретически было показано, что всякое повышение точки приложенія силы влечетъ за собой уменьшеніе критической нагрузки — опытомъ это подтвердилось. Уже при нагрузкѣ 130 klg. балка начала быстро искривляться и дальнѣйше нагруженіе пришлось прекратить.

Опыты получены слѣдующіе:

Величина нагрузки въ klg. mt.	Отсчеты.	Разности.	Величина нагрузки въ klg. mt.	Отсчеты.	Разности.
120	30,20		126	28,70	
		0,24			1,62
122	29,96		128	27,08	
		0,46			9,48
124	29,50		130	17,60	
		0,80			

Графически возрастаніе искривленія съ нагрузкой показано на черт. 27 пунктиромъ.

Дальнѣйшіе опыты произведены надъ той же балкой при пролетѣ 95,2 см., т. е. при  $\frac{l}{h} = 8$ .

Для этого случая будемъ имѣть

$$\frac{1}{v^2} = \frac{l^2}{h^2} \cdot \frac{2C}{D} = 43,1$$

$$h = \frac{4,013}{(1 - v)^2} = 5,58.$$

Величина критическаго изгибающаго момента

$$M_{кр.} = 21150,$$

и слѣдовательно критическая нагрузка

$$P_{кр.} = \frac{21150}{95,2} = 222 \text{ klg.}$$

Соотвѣтствующее значеніе наибольшихъ напряженій будутъ приблизительно 1390 klg на кв. см.

Предварительная нагрузка взята 174 klg,



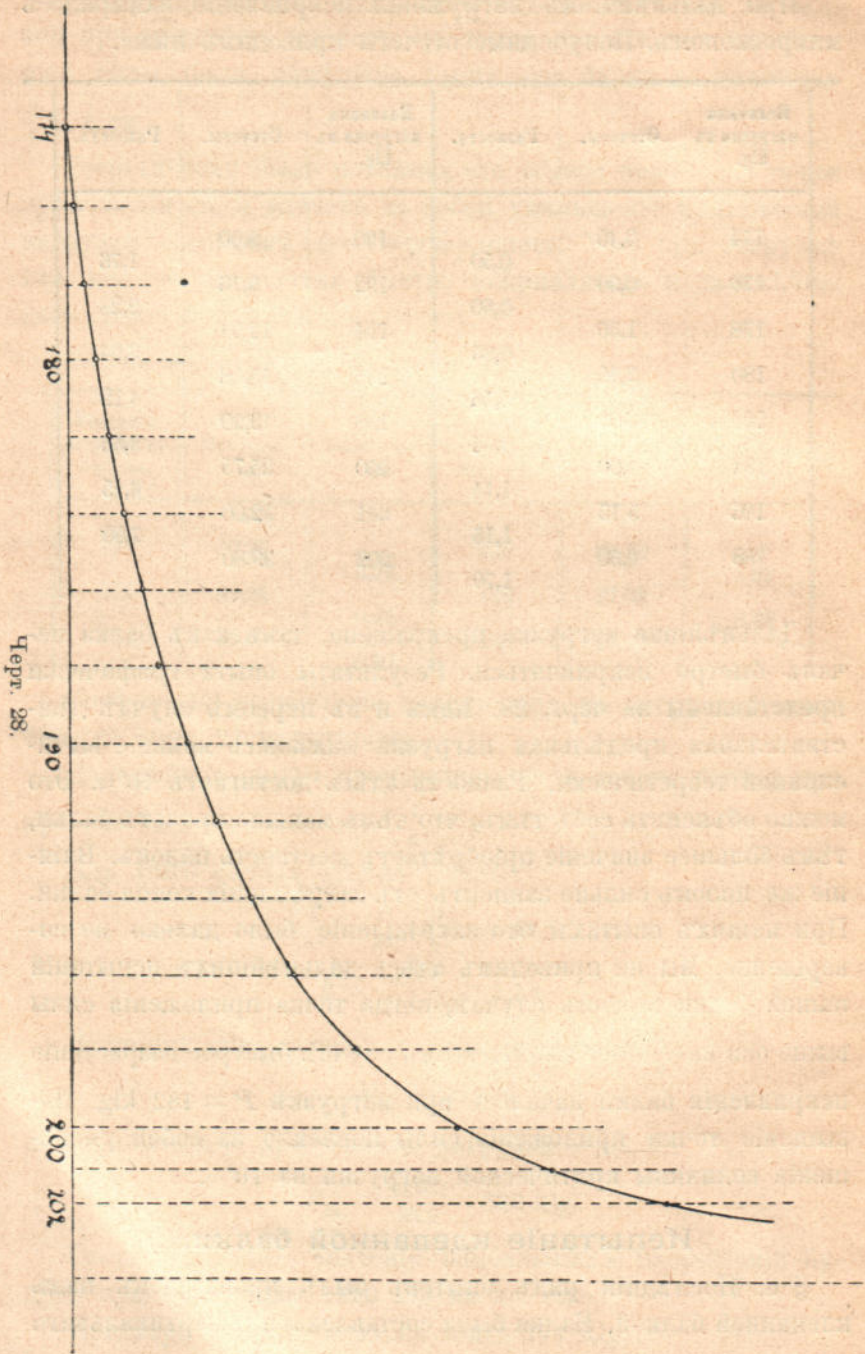
При дальнѣйшемъ нагруженіи искривленіе измѣрялось микроскопомъ. Полученные отсчеты приводимъ ниже.

Величина нагрузки въ klg.	Отсчеты.	Разности.	Величина нагрузки въ klg.	Отсчеты.	Разности.
174	0,40	0,50	190	8,00	1,76
176	0,90	0,60	192	9,76	2,28
178	1,50	0,80	194	12,04	3,04
180	2,30	0,76	196	15,08	4,12
182	3,06	0,94	198	19,20	6,55
184	4,00	1,15	200	25,75	6,25
186	5,15	1,15	201	32,00	7,80
188	6,30	1,70	202	39,80	

Дальнѣйшая нагрузка прекращена, такъ какъ балка начала быстро искривляться. Результаты опыта графически представлены на черт. 28. Какъ и въ первомъ случаѣ дѣйствительная предѣльная нагрузка оказалась меньше вычисленной теоретически. Разность здѣсь достигаетъ 10%. Это можно объяснить себѣ тѣмъ, что чѣмъ меньше пролетъ балки, тѣмъ большее значеніе пріобрѣтаетъ жесткость полокъ. Вліяніе же полокъ сильно зависитъ отъ закрѣпленія конца балки. При нашихъ опытахъ это закрѣпленіе было далеко не совершенно. Мы не приводимъ здѣсь дальнѣйшихъ испытаній нашей балки въ томъ случаѣ, когда точка приложенія силы выше оси на  $\frac{h}{4} = 3$  см. Въ этомъ случаѣ быстрое возрастаніе искривленія балки началось при нагрузкѣ  $P = 182$  klg. Повышеніе точки приложенія силы повлекло за собой уменьшеніе величины критической нагрузки на 10%.

### Испытаніе клепанной балки.

§ 6. Послѣдній рядъ опытовъ былъ произведенъ надъ клепанной балкой. Балка была составлена изъ вертикальнаго



листа  $180 \times 3,7$  mm. и четырех уголков  $20 \times 20 \times 3,7$  mm. Заклепки диаметром 6 mm. были разставлены в расстоянии 25 mm. центр от центра. Общая длина балки взята 2 mt. При такой длине скручиванье удобнѣе было производить, расположивши балку горизонтально. Одинъ конецъ балки зажимался, какъ и раньше, двумя винтами въ особой подушкѣ, а къ другому, перпендикулярно оси балки, прикрѣплялся горизонтальный рычагъ, служившій для приложенія скручивающей пары. Скручиванье производилось непосредственной нагрузкой. Ранѣе описаннымъ приспособленіемъ достигалась одновременность и равномерность передачи нагрузки на двѣ нити, прикрѣпленныя къ концамъ вышеупомянутаго рычага. Длина рычага взята 1 mt, и потому нагрузка въ 1 klg. даетъ скручивающую пару равную 0,5 klg. mt.

Уголъ закручиванья измѣрялся зеркальнымъ приборомъ. Для этого въ двухъ поперечныхъ сѣченіяхъ балки, отстоящихъ на разстояніи 80 см. одно отъ другого, были закрѣплены зеркала. Углы поворота выбранныхъ сѣченій определялись на основаніи отсчетовъ по вертикально поставленнымъ шкаламъ. Разстояніе отъ шкалъ до плоскости зеркалъ взято было равнымъ 150 см.

Величины скручивающихъ моментовъ въ klg. mt. и соотвѣтствующіе имъ отсчеты приводимъ ниже.

Скручивающіе моменты.	О Т С Ч Е Т Ы.			
	Зеркало 1-е.		Зеркало 2-е.	
0	215,5		341	
0,5	241,75	26,25	402,25	61,25
1,0	268	26,25	465	62,75
1,5	294,5	26,5	528	63
1,0	268,75	25,75	466,5	61,5
0,5	242	26,75	403	63,5
0	215,5	26,5	341	62

Вычисленная по этимъ даннымъ жесткость балки

$$C = \frac{Ml}{\Delta\varphi} = 333 \cdot 10^3 \text{ klg. см.}^2.$$

Замѣтимъ, что жесткость получилась несравненно меньше той, которую можно было бы ожидать на основаніи вычислений по приближенной формулѣ, приведенной въ § 3.

Для опредѣленія величины  $D$  мы подвергли балку изгибу въ плоскости перпендикулярной къ плоскости стѣнки. Устройство опоръ и расположеніе приборовъ не отличалось ничѣмъ отъ ранѣе описанной установки, и потому ограничимся приведеніемъ результатовъ.

Пролетъ балки взятъ равнымъ 160 см.

Шкалы были установлены въ такомъ разстояніи, что увеличеніе зеркальнаго прибора равно 500.

Зеркала 1-е и 2-е установлены по срединѣ пролета 3-е и 4-е у опоръ. Величины нагрузокъ въ klg, и полученные по шкаламъ отсчеты были слѣдующіе.

Величина нагрузки.	О Т С Ч Е Т Ы.					
	Зеркало 1.		Зеркало 2.		Зеркало 3.	Зеркало 4.
0	374,25		320,5		187	240
1	337,5	36,75	358	37,5	187	240
2	300,75	36,75	396	38	187	240
3	263,5	37,25	433,5	37,5	187	240
5	188,5	75	509	75,5	187,25	240,25
7	112,5	76	586	77	187,25	240,25
5	188	75,5	510	76	187,25	240,25
3	263	75	435	75	187	240
2	300,25	37,25	397	38	187	240
1	337,5	37,25	359	38	187	240
0	374,25	36,75	320,5	38,5	187	240

Вычисленная по этимъ даннымъ жесткость балки при изгибѣ

$$B_2 = 1140 \cdot 10^4 \text{ klg. см.}^2.$$

Вычитая изъ  $B_2$  жесткость стѣнки балки и дѣля разность пополамъ, получимъ величину

$$D = 565 \cdot 16^4 \text{ klg. см.}^2.$$

Опредѣливъ опытнымъ путемъ величины  $C$  и  $D$ , мы приступили къ изгибу балки въ плоскости ея наибольшей жесткости. Закрѣпленіе конца и способъ приложенія нагрузки остались прежніе. Пролетъ балки, считая отъ плоскости задѣлки до точки приложенія нагрузки, былъ взятъ равнымъ 180 см. Слѣдовательно

$$\frac{h}{l} = \frac{1}{10}$$

Для вычисленія величины критической нагрузки имѣемъ

$$\frac{1}{v^2} = \frac{l^2}{h^2} \cdot \frac{2C}{D} = 11,8.$$

Соотвѣтствующее значеніе коэффициента

$$k = 7,2,$$

И слѣдовательно величина критической нагрузки будетъ

$$P_{кр.} = \frac{K \cdot V \overline{B_2 C}}{l^2} = 433 \text{ klg.}$$

Этому соотвѣтствуютъ наибольшія напряженія въ опасномъ сѣченіи

$$R_{кр.} = \infty 1300 \text{ кв. см.}$$

Слѣдовательно явленіе искривленія плоской формы изгиба балки будетъ происходить въ предѣлахъ упругости. На балку была положена первоначальная нагрузка 388 klg. и при этомъ замѣтнаго искривленія не произошло. Дальнѣйшая нагрузка производилась постепенно и сопровождалась измѣреніемъ угла закручиванія концевое поперечнаго сѣченія балки.

Ниже мы приводимъ величины нагрузки въ klg. и соответствующія отсчеты, полученные съ помощью зеркальнаго прибора. Чтобы получить уголь закручиванія, нужно величину разности отсчетовъ дѣлать на 200.

Нагрузка.	Отсчеты.	Разности.
388	200	
398	186	14
405	158	28
410	105	53
412	Балка сразу сильно искривилась.	

Вторичный опытъ далъ такіе результаты

Нагрузка.	Отсчеты.	Разности.
388	228,5	
398	235,0	6,5
405	254,0	1,9
410	Балка сразу сильно искривилась.	

Въ первомъ опытѣ при 412 klg., во второмъ при 410 klg. начинается такое сильное искривленіе балки, что дальнѣйшая нагрузка становится невозможной. Полученная опытнымъ путемъ предѣльная нагрузка и въ этомъ случаѣ меньше вычисленной. Разность составляетъ приблизительно 5<sup>0</sup>/<sub>10</sub>.



